

การพัฒนาค่าเฉลี่อข้อกำหนดการผลิตสำหรับผลิตภัณฑ์ชิ้นรูปอัดโพลียีทีโนฟอย

นายภาณุวัฒน์ อนันตวุฒิ

วิทยานิพนธ์นี้เป็นส่วนหนึ่งของการศึกษาตามหลักสูตรปริญญาวิศวกรรมศาสตรมหาบัณฑิต  
สาขาวิชาวิศวกรรมอุตสาหการ ภาควิชาวิศวกรรมอุตสาหการ  
คณะวิศวกรรมศาสตร์ จุฬาลงกรณ์มหาวิทยาลัย  
ปีการศึกษา 2551  
ลิขสิทธิ์ของจุฬาลงกรณ์มหาวิทยาลัย

MANUFACTURING SPECIFICATION TOLERANCE DEVELOPMENT FOR  
POLYURETHANE FOAM COMPRESSION MOLDING PRODUCT

Mr.Phanuwat Anantawirun

A Thesis Submitted in Partial Fulfillment of the Requirements  
for the Degree of Master of Engineering Program in Industrial Engineering  
Department of Industrial Engineering  
Faculty of Engineering  
Chulalongkorn University  
Academic Year 2008  
Copyright of Chulalongkorn University

หัวข้อวิทยานิพนธ์

การพัฒนาค่าเสื่อมของน้ำมันดกการผลิตสำหรับผลิตภัณฑ์

ชีนรูปอัดโพลียูรีเทนโฟม

โดย

นายภาณุวรรณ์ อันนันตริฐพิทักษ์

สาขาวิชา

วิศวกรรมอุตสาหกรรม

อาจารย์ที่ปรึกษาวิทยานิพนธ์หลัก

ผู้ช่วยศาสตราจารย์ ดร.สมชาย พัฒนาเนตร

คณะกรรมการค่าเสื่อมของน้ำมันดกการผลิตสำหรับผลิตภัณฑ์ชีนรูปอัดโพลียูรีเทนโฟม  
หนึ่งของการศึกษาตามหลักสูตรปริญญามหาบัณฑิต

..... คณบดีคณะวิศวกรรมศาสตร์

(รองศาสตราจารย์ ดร.บุญสม เลิศหริรัญวงศ์)

คณะกรรมการสอบบัณฑิตวิทยานิพนธ์

..... ประธานกรรมการ

(รองศาสตราจารย์ดำรงค์ ทวีแสงสกุลไทย)

..... อาจารย์ที่ปรึกษาวิทยานิพนธ์

(ผู้ช่วยศาสตราจารย์ ดร.สมชาย พัฒนาเนตร)

..... กรรมการ

(รองศาสตราจารย์จริรพัฒ์ เงาประเสริฐวงศ์)

..... กรรมการภายนอกมหาวิทยาลัย

(ผู้ช่วยศาสตราจารย์ ดร.กาญจนานา กาญจนสุนทร)

งานวิจัยนี้มีวัตถุประสงค์เพื่อ (1) พัฒนาค่าเพื่อระยะห่างการอัดขึ้นรูปของแม่พิมพ์สำหรับผลิตภัณฑ์ผ้าหลังคา ซึ่งเป็นส่วนประกอบของการผลิตผ้าหลังคาด้วยกระบวนการตัวอย่าง (2) เพื่อลดของเสียโฟมแตกในกระบวนการผลิตผ้าหลังคา

โดยได้ศึกษางานวิจัยนี้เริ่มจาก (1) ศึกษาปัจจัยที่มีความสัมพันธ์กับกระบวนการอัดขึ้นรูปผ้าหลังคา (2) ศึกษาความสัมพันธ์ระหว่างความหนาชั้นงานผ้าหลังคาด้วยกระบวนการเสียโฟมแตก (3) ศึกษาความสัมพันธ์ระหว่างการอัดขึ้นรูปกับของเสียโฟมแตก (4) คำนวณหาระยะห่างการอัดขึ้นรูปที่สัมพันธ์กับความผันแปรของความหนาชั้นงานที่ได้ โดยใช้หลักการวิเคราะห์ด้วยเทคนิควิธี Root Sum of Square และ Dynamic Root Sum of Square (5) เปรียบเทียบของเสียโฟมแตกก่อนและหลังการปรับระยะห่างการอัดขึ้นรูปชิ้นงาน

จากการศึกษาพบว่า (1) ค่าเพื่อระยะห่างการอัดขึ้นรูปสำหรับชิ้นงานผ้าหลังคาด้วยหลังการศึกษาเท่ากับ  $3.545 \pm 0.231$  มิลลิเมตร ขณะที่ระยะห่างเดิมมีค่าเท่ากับ  $3.500 \pm 0.300$  มิลลิเมตร (2) กระบวนการอัดขึ้นรูปผ้าหลังคาด้วยการศึกษามีค่า Cp,Cpk เดิมเท่ากับ (0.86, 0.41) เพิ่มขึ้นเป็นค่า Cp,Cpk ในเมเท่ากับ (1.18, 1.07) และ (3) ปริมาณของเสียโฟมแตกลดลงจาก 3.54% เป็น 0.96% หรือคิดเป็นลดลงร้อยละ 72.88 หลังจากการปรับปรุง

ภาควิชา ...วิศวกรรมอุตสาหการ.....	ลายมือชื่อนิสิต.....
สาขาวิชา .....วิศวกรรมอุตสาหการ...	ลายมือชื่อ อ. ที่ปรึกษาวิทยานิพนธ์.....
ปีการศึกษา .....	2551.....

#4971507521: MAJOR INDUSTRIAL ENGINEERING

KEYWORDS: HEADLINING / TOP CEILING / COMPRESSION FOAM / TOLERANCE

STUDY/ SHIM THICKNESS/ STOPPER.

PHANUWAT ANANTAWIRUN: MANUFACTURING SPECIFICATION TOLERANCE DEVELOPMENT FOR POLYURETHANE FOAM COMPRESSION MOLDING PRODUCT.  
ADVISOR: ASST. PROF. DR. SOMCHAI PUAJINDANETR, Ph.D, 108 pp.

This research aimed (1) to improve the tolerance of compression molding for headlining manufacturer which is component part of the vehicle, (2) to reduce the defect of foam headlining crack.

The study started (1) to study the parameter related to compression molding, (2) to study the relationship between foam headlining thickness and crack problem. (3) to study compressive distance related with foam headlining thickness and crack, (4) to determine the mold compression distant allowance using the root sum of squares (RSS) and dynamic root sum of squares (DRSS), (5) to implement production and compare to previous study.

The result of study found that (1) the distance allowance of mold compression was  $3.545 \pm 0.235$  millimeter whereas the existing distance allowance was  $3.500 \pm 0.300$  millimeter and difference is  $0.045 \pm 0.065$  millimeter. (2) the process capabilities ( $C_p, C_{pk}$ ) of the foam headlining compression molding were improved from (0.86, 0.41) to (1.18, 1.07) respectively., and (3) the quantity of foam crack defect was reduced from 3.54% to 0.96% or was reduced by 72.88% after improvement.

Department ....Industrial Engineering..... Student's Signature.....

Field of Study.....Industrial Engineering..... Advisor's Signature.....

Academic Year .....2008.....

## กิตติกรรมประกาศ

ผู้เขียนขอกราบขอบพระคุณ ผู้ช่วยศาสตราจารย์ ดร.สมชาย พัวจินดาเนตร ซึ่งเป็นอาจารย์ที่ปรึกษาวิทยานิพนธ์เป็นอย่างสูงที่ได้กุณามให้ความรู้ คำแนะนำ แนวทางในการดำเนินการวิจัย ตลอดจนช่วยตรวจสอบและแก้ไขวิทยานิพนธ์ฉบับนี้จนสำเร็จลุล่วงด้วยดี และขอกราบขอบพระคุณคณะกรรมการสอบวิทยานิพนธ์ทุกท่าน ซึ่งประกอบด้วย รองศาสตราจารย์ ดำรงค์ ทวีแสงสกุลไทย รองศาสตราจารย์จิรพัฒน์ เงาประเสริฐวงศ์ และผู้ช่วยศาสตราจารย์ กาญจน์ กาญจนสุนทร ที่กุณามช่วยแนะนำและแก้ไขข้อบกพร่องของวิทยานิพนธ์ฉบับนี้จนสำเร็จ ขอกราบขอบพระคุณ มารดาและทุกคนในครอบครัวที่ช่วยเป็นกำลังใจและสนับสนุนความช่วยเหลือด้านการศึกษาแก่ผู้วิจัยเสมอมา ขอขอบพระคุณคณาจารย์ทุกท่านที่ได้ประสิทธิประสาทวิชาจนสามารถศึกษาและทำวิทยานิพนธ์จนสำเร็จ

ขอขอบคุณ บริษัท ชั้นมิท ไอโซเชียล อินดัสตรี จำกัด ที่ให้ความอนุเคราะห์ในการทำการวิจัย ตลอดจนชื่อทดลองที่เกี่ยวข้องต่างๆ ที่ใช้ในการทำวิทยานิพนธ์ฉบับนี้

ขอขอบคุณ เพื่อนๆ พี่ๆ น้องๆ รวมทั้งบุคคลอื่นๆ ที่ให้ความช่วยเหลือและเป็นกำลังใจแก่ผู้เขียนเสมอมา

## สารบัญ

	หน้า
บทคัดย่อภาษาไทย	๑
บทคัดย่อภาษาอังกฤษ	๑
กิตติกรรมประกาศ	๙
สารบัญ	๙
สารบัญตาราง	๖
สารบัญภาพ	๗
บทที่	
1 บทนำ	1
1.1 ที่มาและความสำคัญของปัญหา	1
1.2 วัตถุประสงค์ของงานวิจัย	2
1.3 ขอบเขตของงานวิจัย	2
1.4 ประโยชน์ที่คาดว่าได้รับ	2
1.5 ขั้นตอนการดำเนินงานวิจัย	2
1.6 ตารางแสดงขั้นตอนดำเนินงานวิจัย	4
2 ทฤษฎีและงานวิจัยที่เกี่ยวข้อง	5
2.1 ขอบเขตค่าเพื่อที่เหมาะสม	5
2.2 หลักการวิเคราะห์ค่าเพื่อ	6
2.2.1 วิธีทางสถิติ (Statistical Method)	6
2.2.2 วิธีการแบบ Worst Case Limits	8
2.3 ทฤษฎีประยุกต์ใช้ของทากุชิ	8
2.4 งานวิจัยที่เกี่ยวข้อง	9
3 การศึกษาปัญหาของงานกรณีศึกษา	12
3.1 ข้อมูลทั่วไปของโรงงาน	12
3.2 ผลิตภัณฑ์ของโรงงานตัวอย่าง	12
3.3 โครงสร้างวัตถุดิบประกอบผ้าหลังคา	14
3.4 กระบวนการผลิตผ้าหลังคาอยนต์	15

	หน้า
3.4.1 กระบวนการผลิตผ้าหลังคาทั้ง 4 ขั้นตอน แสดงเป็นแผนภูมิการไหล .....	16
3.4.2 รายละเอียดแต่ละกระบวนการผลิตผ้าหลังคา .....	17
3.5 สภาพปัญหาที่พบสำหรับกรณีศึกษาในงานตัวอย่าง .....	22
3.5.1 สภาพปัญหาทั่วไปที่เกี่ยวข้องกับกรณีศึกษาผ้าหลังคา .....	22
3.6 ศึกษาสาเหตุของปัญหาที่ทำให้เกิดข้อบกพร่องไฟฟ์แบบ .....	27
3.6.1 สาเหตุจากความดันอัดเครื่องจักร .....	27
3.6.2 สาเหตุจากการสึกหรอของแม่พิมพ์บริเวณสต็อกเปอร์ .....	28
3.6.3 สาเหตุจากการหักห้ามของแม่พิมพ์ .....	28
3.7 ผลกระทบของปัญหากรณีศึกษา .....	31
 4 วิธีการดำเนินงานวิจัยพัฒนาข้อกำหนดการผลิต .....	32
4.1 การจัดเตรียมเครื่องมือสำหรับการทดลอง .....	32
4.2 ศึกษาความดันอัดเครื่องจักรที่มีผลต่อความหนาชิ้นงาน .....	36
4.3 ศึกษาระยะการสึกหรอแม่พิมพ์ที่มีผลต่อความหนาชิ้นงาน .....	37
4.4 ศึกษาระยะห่างการอัดขึ้นรูปที่มีผลต่อความหนาชิ้นงาน .....	38
4.5 การหาระยะห่างการอัดขึ้นรูปผ้าหลังคา .....	40
4.5.1 การหาค่าเฉลี่ยความหนาชิ้นงานผ้าหลังคา .....	41
4.5.2 การสร้างความสัมพันธ์ระหว่างระยะห่างการอัดขึ้นรูปกับ ของเสียงไฟฟ์แบบ .....	41
4.5.3 การหาระยะห่างการอัดขึ้นรูปที่เหมาะสมกับชิ้นงานผ้าหลังคา .....	43
4.6 ศึกษาค่าเพื่อระยะห่างการอัดขึ้นรูปด้วยเทคนิคต่างๆ .....	46
4.6.1 รูปแบบคำนวนด้วยวิธีแบบ Root sum of squares .....	46
4.6.2 รูปแบบคำนวนด้วยวิธีการ Dynamic Root Sum of Squares .....	47
4.7 การสรุปของเสียงไฟฟ์แบบก่อนปรับปรุงเบรียบเทียบกับหลังการปรับปรุง .....	47
 5 สรุปผลการดำเนินงานวิจัย .....	50
5.1 ผลความสัมพันธ์ระหว่างความดันอัดเครื่องจักรที่มีผลต่อความหนาชิ้นงาน .....	50
5.2 ผลความสัมพันธ์ระหว่างจำนวนครั้งการอัดขึ้นรูปที่มีผลต่อความหนาชิ้นงาน .....	51
5.3 ผลความสัมพันธ์ระหว่างระยะห่างการอัดขึ้นรูปที่มีผลต่อความหนาชิ้นงาน .....	53
5.3.1 ผลความสัมพันธ์ระหว่างการอัดขึ้นรูปก่อนปรับปรุง .....	53

	หน้า
5.3.2 ผลความสัมพันธ์ระหว่างการอัดขึ้นรูปหลังปรับปูง	56
5.3.3 ผลการเปรียบเทียบระดับความรุนแรงไฟฟ์เตกก่อนและหลังปรับปูง	60
5.4 ผลการกำหนดค่าเพื่อระยะห่างการอัดขึ้นรูปชิ้นงานผ้าหลังคา	61
5.4.1 ผลของความหนาชิ้นงานโดยก่อนปรับปูง	61
5.4.2 ผลการสร้างความสัมพันธ์ระหว่างระยะห่างการอัดขึ้นรูปกับของเสียไฟฟ์เตก	63
5.4.3 ผลแสดงสัดส่วนของเสียไฟฟ์เตกก่อนปรับปูง	63
5.5 ผลการหาระยะห่างการอัดขึ้นรูปชิ้นงานที่เหมาะสมกับงานจริง	66
5.5.1 ผลการคำนวณระยะห่างการอัดขึ้นรูป	69
5.6 ผลการคำนวณหาระยะห่างการอัดขึ้นรูปโดยวิธีการแบบ RSS	71
5.6.1 ผลแสดงสัดส่วนของเสียไฟฟ์เตกหลังปรับปูง	75
5.7 ผลการประยุกต์ใช้วิธีการวิเคราะห์ค่าเพื่อแบบ DRSS	77
5.8 สรุปผลการเปรียบเทียบระยะห่างการอัดขึ้นรูปชิ้นงานก่อนและหลังการปรับปูง	78
5.8.1 ผลการปรับปูงความสามารถด้านศักยภาพของกระบวนการผลิตผ้าหลังคา	78
5.8.2 สรุปผลค่าเพื่อระยะห่างการอัดขึ้นรูปผ้าหลังคา	81
6 บทวิจารณ์และสรุปผลการวิจัย	82
6.1 บทวิจารณ์	81
6.2 สรุปผลโครงการวิจัย	84
6.3 ข้อเสนอแนะ	84
6.4 ข้อจำกัดของงานวิจัย	85
รายงานข้างอิง	87
ภาคผนวก	89
ภาคผนวก ก ค่าผลการทดสอบความสัมพันธ์แต่ละปัจจัยกับความหนาชิ้นงาน	89
ภาคผนวก ข รูปแบบตารางแสดงการบันทึกผลของเสียไฟฟ์เตก	96
ภาคผนวก ค ตารางแสดงสัดส่วนของเสียไฟฟ์เตกในแต่ละระยะห่างการอัดขึ้นรูป	100
ประวัติผู้เขียนวิทยานิพนธ์	108

## สารบัญตาราง

	หน้า
ตารางที่ 3.1 ข้อมูลแสดงจำนวนของเสียงผ้าหลังคาสำหรับรายน์ตัวอย่างรุ่น A	23
ตารางที่ 3.2 ค่าเพื่อความหนาชั้นงานทางลูกค้ากำหนด	26
ตารางที่ 3.3 รายละเอียดของสาเหตุแห่งปัจจัยที่ก่อให้เกิดปัญหาไฟฟ์เตก	30
ตารางที่ 4.1 รูปแบบการเก็บข้อมูลความดันเครื่องจักรที่มีผลต่อความหนาชั้นงาน	36
ตารางที่ 4.2 รูปแบบการเก็บข้อมูลระยะห่างการอัดขึ้นรูปที่มีผลต่อความหนาชั้นงาน	37
ตารางที่ 4.3 รูปแบบการเก็บข้อมูลระยะห่างการอัดขึ้นรูปที่มีผลต่อความหนาชั้นงาน	39
ตารางที่ 4.4 รูปแบบการเก็บข้อมูลระดับความรุนแรงไฟฟ์เตกที่มีผลต่อความหนาชั้นงาน	39
ตารางที่ 4.5 การเคลื่อนที่ของระยะห่างเฉลี่ย	43
ตารางที่ 4.6 รูปแบบการบันทึกข้อมูลของเสียงไฟฟ์เตก	44
ตารางที่ 4.7 รูปแบบการบันทึกความหนาชั้นงานเฉลี่ยที่มีผลต่อไฟฟ์เตกหลังปรับปัจจุบัน	45
ตารางที่ 4.8 รูปแบบค่าเพื่อระยะห่างการอัดขึ้นรูปก่อนและหลังปรับปัจจุบัน	46
ตารางที่ 4.9 รูปแบบการบันทึกความสามารถของกระบวนการเบร์ยบเทียบก่อน และหลังปรับปัจจุบัน	49
ตารางที่ 5.1 ผลข้อมูลความดันเครื่องจักรที่มีผลต่อความหนาชั้นงาน	50
ตารางที่ 5.2 ผลข้อมูลระยะการสึกหรอแม่พิมพ์ที่มีผลต่อความหนาชั้นงาน	52
ตารางที่ 5.3 ผลข้อมูลระยะห่างการอัดขึ้นรูปที่มีผลต่อความหนาชั้นงานก่อนปรับปัจจุบัน	53
ตารางที่ 5.4 ผลระดับความรุนแรงไฟฟ์เตกที่มีผลต่อความหนาชั้นงานก่อนปรับปัจจุบัน	55
ตารางที่ 5.5 ผลข้อมูลระยะห่างการอัดขึ้นรูปที่มีผลต่อความหนาชั้นงานหลังปรับปัจจุบัน	57
ตารางที่ 5.6 ผลระดับไฟฟ์เตกที่มีผลต่อความหนาชั้นงานหลังปรับปัจจุบัน	59
ตารางที่ 5.7 ผลสัดส่วนของเสียงไฟฟ์เตกก่อนปรับปัจจุบัน	64
ตารางที่ 5.8 ระยะห่างการอัดขึ้นรูปชั้นงานผ้าหลังคา	67
ตารางที่ 5.9 การบันทึกระยะห่างการอัดขึ้นรูปในระยะต่างๆ กับ ของเสียงไฟฟ์เตก	68
ตารางที่ 5.10 ผลข้อมูลความหนาชั้นงานหลังปรับปัจจุบัน	73
ตารางที่ 5.11 ผลสัดส่วนของเสียงไฟฟ์เตกหลังปรับปัจจุบัน	75
ตารางที่ 5.12 ผลการเบร์ยบเทียบข้อมูลความสามารถกระบวนการก่อนและ หลังปรับปัจจุบัน	79
ตารางที่ 5.13 ผลสรุปค่าเพื่อระยะห่างการอัดขึ้นรูปก่อนและหลังปรับปัจจุบัน	81

## สารบัญภาพ

	หน้า
รูปที่ 2.1 ความสัมพันธ์ระหว่างต้นทุนการผลิตกับค่าเสื่อม Groover, M. P. (2007) .....	5
รูปที่ 3.1 ผลิตภัณฑ์ประเภทเบาะนั่งและโครงสร้างของโรงงานตัวอย่าง .....	13
รูปที่ 3.2 ผลิตภัณฑ์ประเภทชิ้นงานที่ผ่านการตัดของโรงงานตัวอย่าง .....	13
รูปที่ 3.3 โครงสร้างวัตถุดิบผ้าหลังคาแต่ละชั้น .....	14
รูปที่ 3.4 กระบวนการผลิตผ้าหลังคาทั้ง 4 ขั้นตอน แสดงเป็นแผนภูมิการไหล .....	16
รูปที่ 3.5 การป้อนไฟมผ่านเครื่องจักร .....	17
รูปที่ 3.6 การรีดกาวลงบนแผ่นโพลียูรีเทนไฟม .....	18
รูปที่ 3.7 การจัดวางแผ่นกระดาษย่นกับแผ่นไฟเบอร์กลาส .....	18
รูปที่ 3.8 การฉีดพ่นละอองน้ำบนแผ่นโพลียูรีเทนไฟม .....	18
รูปที่ 3.9 การไปรยเส้นใยไฟเบอร์ลงบนแผ่นโพลียูรีเทนไฟม .....	19
รูปที่ 3.10 การประกอบ Covering Nonwoven ลงบนแผ่นโพลียูรีเทนไฟม .....	19
รูปที่ 3.11 การอัดขึ้นรูปชิ้นงานผ้าหลังคา .....	20
รูปที่ 3.12 ชิ้นงานผ้าหลังคาที่ผ่านกระบวนการอัดขึ้นรูป .....	20
รูปที่ 3.13 กการตรวจสอบ Fixture .....	21
รูปที่ 3.13 ช การตัดของเครื่องจักร .....	21
รูปที่ 3.14 ชิ้นงานผ้าหลังคาที่ผ่านกระบวนการอัดขึ้นรูป .....	21
รูปที่ 3.15 แผนภาพพาเรโตสำหรับจัดลำดับความสำคัญของข้อบกพร่อง .....	24
รูปที่ 3.16 ตำแหน่งไฟมแตกของชิ้นงานผ้าหลังคา .....	24
รูปที่ 3.17 ลักษณะข้อบกพร่องไฟมนิ่ม .....	25
รูปที่ 3.18 ลักษณะข้อบกพร่องการหด .....	25
รูปที่ 3.19 ตำแหน่งชิ้นงานที่เกิดข้อบกพร่องไฟมแตก .....	26
รูปที่ 3.20 สาเหตุความดันอัดขึ้นรูปที่ส่งผลต่อไฟมแตก .....	27
รูปที่ 3.21 การสึกหรอของแม่พิมพ์ที่ส่งผลต่อไฟมแตก .....	28
รูปที่ 3.22 สาเหตุระยะห่างการอัดขึ้นรูปที่มีผลต่อไฟมแตก .....	29
รูปที่ 4.1 เครื่องมือตราชุดความร้อนแม่พิมพ์ .....	33
รูปที่ 4.2 เครื่องมือวัดความหนาของแม่พิมพ์บริเวณสต็อกเปปอร์ .....	34
รูปที่ 4.3 เครื่องมือวัดความหนาชิ้นงานผ้าหลังคา .....	35
รูปที่ 4.4 ตำแหน่งการวัดความหนาชิ้นงานผ้าหลังคา ก่อนการทดลอง .....	36
รูปที่ 4.5 บริเวณการสึกหรอจากการอัดขึ้นรูปชิ้นงานผ้าหลังคา .....	37

	หน้า
รูปที่ 4.6 บริเวณการวัดความหนาของชิ้นงาน .....	38
รูปที่ 4.7 แผนภาพแนวคิดเกี่ยวกับหลักการศึกษาค่าเบี่ยงเบนผลิต .....	40
รูปที่ 4.8 ระยะห่างการอัดขึ้นรูปของแม่พิมพ์ .....	42
รูปที่ 4.9 การเปรียบเทียบลักษณะการอัดขึ้นรูปชิ้นงาน ก่อนและหลังปรับปรุง .....	48
รูปที่ 5.1 กราฟความสัมพันธ์ความดันเครื่องจักรที่มีผลต่อความหนาชิ้นงาน .....	51
รูปที่ 5.2 กราฟความสัมพันธ์จำนวนครั้งการอัดขึ้นรูปที่มีผลต่อความหนาชิ้นงาน .....	52
รูปที่ 5.3 ระดับไฟม์แทรกกับความหนาชิ้นงานเฉลี่ยแบบ Scatter Diagram ก่อนปรับปรุง .....	55
รูปที่ 5.4 ความสัมพันธ์ความรุนแรงไฟม์แทรกกับความหนาชิ้นงานเฉลี่ย ก่อนปรับปรุง .....	56
รูปที่ 5.5 ระดับไฟม์แทรกกับความหนาชิ้นงานเฉลี่ยแบบ Scatter Diagram หลังปรับปรุง .....	59
รูปที่ 5.6 ความสัมพันธ์ความรุนแรงไฟม์แทรกกับความหนาชิ้นงานเฉลี่ย หลังปรับปรุง .....	60
รูปที่ 5.7 ผลการเปรียบเทียบระดับความรุนแรงไฟม์แทรกกับความหนาชิ้นงานเฉลี่ย .....	60
รูปที่ 5.8 กราฟแสดง Normal Probability Test .....	61
รูปที่ 5.9 แผนภูมิ Histogram ความหนาชิ้นงานผ้าหลังคาก่อนปรับปรุง .....	62
รูปที่ 5.10 ความผิดปกติของกระบวนการก่อนปรับปรุง .....	66
รูปที่ 5.11 ความสัมพันธ์ระยะห่างการอัดขึ้นรูปกับสัดส่วนของเสียงไฟม์แทรก .....	71
รูปที่ 5.12 กราฟแสดงสัดส่วนของเสียงหลังปรับปรุง .....	77
รูปที่ 5.13 ความสามารถของกระบวนการผลิตก่อนปรับปรุง .....	80
รูปที่ 5.14 ความสามารถของกระบวนการผลิตหลังปรับปรุง .....	80

## บทที่ 1

### บทนำ

#### 1.1 ที่มาและความสำคัญของปัญหา

เนื่องด้วยอุตสาหกรรมผลิตชิ้นส่วนยานยนต์มีแนวโน้มการเจริญเติบโต จากการขยายฐานการผลิตไปยังประเทศต่างๆ โดยยังมีประเทศไทยเป็นศูนย์กลางการผลิตรถบรรทุกขนาด 1 ตัน ขนาดใหญ่ที่สุดในภูมิภาคเอเชียตะวันออกเฉียงใต้ ด้วยปัจจัยการแข่งขันที่ทวีความรุนแรงขึ้นนั้น ทำให้ผู้ผลิตคำนึงถึงต้นทุนที่ต่ำลงโดยให้ความสนใจด้านคุณภาพลดลง พับปัญหาคือ ผลิตภัณฑ์ผ้าหลังภารถยนต์เกิดข้อบกพร่องโฟมแทรก เกิดจากความผิดปกติของกระบวนการผลิต ได้แก่ ความหนาชั้นงานที่มีการเปลี่ยนแปลงไปจากข้อกำหนดของลูกค้า นิ่งของเสียงเกินกว่าระดับที่ยอมรับได้ อันเกิดจากความดันของเครื่องจักร ระยะการสักหรือของแม่พิมพ์ ระยะห่างการอัดขึ้นรูปชิ้นงาน จึงควรมีการกำหนดหรือหาวิธีสำหรับการลดความแปรปรวน เพื่อทำให้เกิดของเสียงจากกระบวนการอัดขึ้นรูปลดลง และค่าผื่นของการผลิตชิ้นงานผ้าหลังค่าใหม่ให้เกิดความเหมาะสมสมกับกระบวนการผลิตจริงมากสุด ทั้งนี้ถ้าการผลิตชิ้นงานไม่ได้คุณภาพ และไม่น่าเชื่อถือ อันมีผลกระทบต่อการสูญเสียเวลาและค่าใช้จ่ายในการผลิตชิ้นงานขึ้นมาทัดแทน ดังนั้นการพัฒนาค่าผื่นอย่างเหมาะสมจึงมีความสำคัญอย่างยิ่งสำหรับกับผู้ผลิตในอุตสาหกรรมไทย ผู้วิจัยจึงศึกษาหาแนวทางความเป็นไปได้ ขั้นตอน และวิธีการพัฒนาค่าผื่นที่เหมาะสม เพื่อเป็นพื้นฐานในการผลิตสำหรับอุตสาหกรรมชิ้นส่วนยานยนต์ประเภทผ้าหลังภารถยนต์

สำหรับการกระบวนการผลิตจึงควรมีการกำหนดค่าผื่นที่ได้จากการทดลองมาควบคุมการผลิต เพื่อไม่ให้เกินกว่าข้อกำหนดของลูกค้า สามารถดำเนินการปฏิบัติได้หลากหลายรูปแบบเพื่อพัฒนาค่าผื่นโดยใช้เทคนิคทางสถิติแบบ Root Sum of Squares (RSS) หรือ Dynamic root Sum of Squares (DRSS) หรือ Monte Carlo Simulation เป็นต้น

งานวิจัยการพัฒนาค่าผื่นข้อกำหนดการผลิตชิ้นงานผ้าหลังคันี้ ไม่ได้มีการใช้อย่างแพร่หลาย สำหรับวงการผลิตชิ้นส่วนยานยนต์ภายในประเทศ ซึ่งพนักงานทุกคนควรตระหนักรักษากันเกี่ยวกับแนวทางการแก้ปัญหาที่กระบวนการผลิต เพื่อเพิ่มความสามารถของกระบวนการผลิต จึงเกิดงานวิจัยนี้ขึ้น เพื่อคาดหวังว่าให้ผู้ที่สนใจนำมาประยุกต์ใช้กับลักษณะงานที่ใกล้เคียงกัน ของแต่ละกลุ่มอุตสาหกรรม ยานยนต์น่าจะได้อย่างเหมาะสม

## 1.2 วัตถุประสงค์ของการวิจัย

งานวิจัยนี้มีวัตถุประสงค์ดังนี้

1. พัฒนาค่าเพื่อระยะห่างการอัดขึ้นรูปผ้าหลังคาให้สมพันธ์กับข้อบกพร่องไฟมแทก
2. เพื่อลดของเสียไฟมแทกในกระบวนการผลิตผ้าหลังคาอยนต์

## 1.3 สมมติฐานและขอบเขตการวิจัย

งานวิจัยนี้ศึกษาค่าเพื่อระยะห่างการอัดขึ้นรูปชิ้นงานมีสมมติฐานและขอบเขตวิจัยดังนี้

1. สมมติฐานการทดลองโดยกำหนดให้คุณภาพวัสดุอัดขึ้นรูปชิ้นงานมีการควบคุมคงที่  $125 \pm 5^{\circ}\text{C}$  ก่อนการทดลองทุกครั้ง
2. สมมติฐานการทดลองโดยกำหนดให้ระยะเวลาการอัดขึ้นรูปชิ้นงานมีการควบคุมคงที่  $35 \pm 5$  วินาที ก่อนการทดลองทุกครั้ง
3. วิเคราะห์ข้อมูลระยะห่างการอัดขึ้นรูปชิ้นงานผ้าหลังคาสำหรับรายนต์รุ่น A
4. ศึกษาค่าเพื่อที่เหมาะสมของระยะห่างการอัดขึ้นรูปสำหรับงานผ้าหลังคาจากมีการทดสอบ
5. กำหนดค่าเพื่อระยะห่างการอัดขึ้นรูปที่เหมาะสมกับข้อบกพร่องไฟมแทก
6. เปรียบเทียบค่าเพื่อที่ได้จากการวิธีการต่างๆ ดังนี้
  - 6.1 วิธีการเชิงสถิติแบบ Root Sum of Squares (RSS)
  - 6.2 วิธีการเชิงสถิติแบบ Dynamic Root Sum of Square (DRSS)

## 1.4 ประโยชน์ที่คาดว่าได้รับ

งานวิจัยนี้มีประโยชน์ที่คาดว่าจะได้รับดังนี้

1. เป็นแนวทางในการลดต้นทุนชิ้นงานผ้าหลังคา เพื่อนำไปเป็นกลยุทธ์แข่งขันในอุตสาหกรรมชิ้นส่วนยานยนต์
2. ลดความซ้ำซ้อนเสียเวลาจากการผลิตชิ้นงานทดสอบของเสื้อเดิมในกระบวนการผลิต
3. นำมาใช้เป็นหลักการควบคุมเพื่อลดของเสียไฟมแทกในกระบวนการผลิตกับรายนต์รุ่นอื่นๆ

## 1.5 ขั้นตอนการดำเนินงานวิจัย

งานวิจัยนี้มีขั้นตอนการดำเนินงานดังนี้

1. ศึกษาความเป็นไปได้ของงานวิจัย และเก็บรวบรวมข้อมูลข้อบกพร่อง ไฟล์แบบฟอร์มแบบฟอร์มแบบเบรี่ยบเที่ยบ กับความหนาชื่นงานผ้าหลังคาดจากอัตราชื่นรูป
2. สำรวจงานวิจัยอื่นๆ และศึกษาสภาพปัจจุบันของกระบวนการผลิตผ้าหลังคาด
3. ทดสอบระยะห่างการอัดชื่นรูปชื่นงานผ้าหลังคาดตามหลักการค่าเฉลี่ย 3 ซิกมา
4. ศึกษาความสัมพันธ์ระหว่างระยะห่างการอัดชื่นรูปชื่นงานผ้าหลังคาดและข้อบกพร่อง ไฟล์แบบฟอร์มแบบเบรี่ยบเที่ยบ
5. นำผลจากการศึกษาที่ได้ไปทดลองระยะห่างการอัดชื่นรูป กับงานจริงด้วยหลักการ RSS
6. ติดตามผลการทดลองค่าเพื่อระยะห่างการอัดชื่นรูปผ้าหลังคาดแต่ละระยะห่างที่กำหนดชื่นเบรี่ยบเที่ยบ กับสัดส่วนข้อบกพร่อง ไฟล์แบบฟอร์มแบบเบรี่ยบเที่ยบ
7. สรุปผลการวิจัย พร้อมข้อเสนอแนะ
8. จัดทำรูปเล่มวิทยานิพนธ์

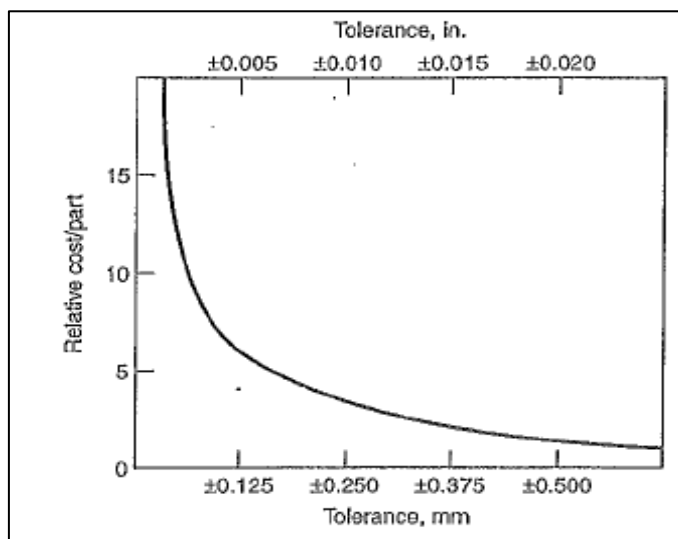
## 1.6 ตารางแสดงขั้นตอนดำเนินงานวิจัย

ลำดับ	ขั้นตอนการดำเนินงาน	2007		2008										
		ช.ค	ม.ค	ก.พ	มี.ค	เม.ย	พ.ค	มิ.ย	ก.ค	ส.ค	ก.ย	ต.ค	พ.ย	ธ.ค
1	ศึกษาความเป็นไปได้ของนวัตกรรมและรวมรวมข้อมูลข้อ นักพร่องโภมແດກເປີບຍິນກັບຄວາມໜາງໝົງຈຳນວນພ້າຫລັກ ຫລັງຈາກຮ່ວມມືນ	1-30												
2	สำรวจนวัตกรรมຝຶນຈຸນາແລະศึกษาສຸກພັບຈຸນັນຂອງกระบวนการ ຜະລິດພ້າຫລັກ			15-31										
3	ทดลองระบบห่างการອັດຫຼືນຽມປິນງານພ້າຫລັກຈາກການ ວິເຄາະທີ່ຫຼັກການ 3 ຂີກນໍາ				1-30									
4	ศึกษาความສົມພັນທີ່ຮ່ວມຮ່າງຮ່າງການອັດຫຼືນຽມປິນງານ ພ້າຫລັກແລະຂໍອັກພ່ອງໂຟມແດກ							1-14						
5	ນໍາພາກາຮົກຍາທີ່ໄດ້ປົກລອງຮ່າງການອັດຫຼືນຽມປິນງານ ຈິງດ້າຍຫລັກການ Root Sum of Squares								15-14					
6	ຕິດຕາມພາກາທົດລອງຄໍາເພື່ອຮ່າງຮ່າງການອັດຫຼືນຽມປິນງານ ພ້າຫລັກເປົບຍິນກັບສັດສ່ວນຂໍອັກພ່ອງໂຟມແດກ									15-30				
7	ສຽງພາກາວິຊາພ້ອມຂໍອເສັນອະນະ										1-15			
8	ขັດທໍາຽມເລີ່ມວິທານິພນີ້										15-30			

## บทที่ 2

### ทฤษฎีและงานวิจัยที่เกี่ยวข้อง

ค่าเพื่อ มีความสำคัญกับคุณภาพของชิ้นงาน การออกแบบทางวิศวกรรมมีการกำหนดขนาดและส่วนประกอบต่างๆ ภายใต้ความ精确 ชิ้งส่งผลต่อหน้าที่และสมรรถนะ ควรออกแบบค่าเพื่อให้อยู่ในเกณฑ์ที่เหมาะสม ซึ่งค่าเพื่อควบคุมมีผลต่อต้นทุนที่เกิดขึ้นซึ่งจะสัมพันธ์กับความสามารถของกระบวนการโดยความสัมพันธ์ระหว่างค่าเพื่อกับต้นทุนการผลิตนั้นจะแสดงดังรูปที่ 2.1 ดังจะเห็นได้ว่าค่าเพื่อที่ควบลังย่อมส่งผลต่อต้นทุนที่สูงขึ้น หากผลผลิตไม่ส่วนทำให้ขั้นตอนการดำเนินงานมากยิ่งขึ้น อาจต้องการข้อกำหนดหลากหลายประเทมากรขึ้น ในการออกแบบค่าเพื่อ และเครื่องจักรสำหรับการผลิต ควรต้องมีความเที่ยงตรง และมีราคาค่อนข้างสูงด้วยเช่นกัน



รูปที่ 2.1 แสดงความสัมพันธ์ระหว่างต้นทุนการผลิตกับค่าเพื่อ Groover, M. P. (2007)

#### 2.1 ขอบเขตค่าเพื่อที่เหมาะสม (Natural Tolerance Limits)

การออกแบบค่าเพื่อควรสอดคล้องกับความสามารถของกระบวนการ จุดมุ่งหมายที่จะ實現คือค่าเพื่อที่กำหนดสำหรับขนาดของผลิตภัณฑ์ เช่น  $\pm 0.025 \text{ mm}$ . ( $\pm 0.001 \text{ in.}$ ) เป็นต้น การกำหนดขนาดขึ้นอยู่กับความสามารถของกระบวนการที่มีระดับนัยสำคัญที่กว้างกว่าค่าเพื่อ ซึ่งค่าเพื่อที่กำหนดควรมีช่วงเปิดกว้างมากกว่าเดิม อาจส่งผลกระทบต่อของเสียที่เกิดขึ้น และการกำหนดค่าเพื่อที่เหมาะสมต้องขึ้นอยู่กับลักษณะของผลิตภัณฑ์ด้วย ซึ่งควรมีค่าเพื่อมากกว่าความสามารถของกระบวนการ โดยขอบเขตบน-ล่างที่กำหนดสำหรับผลิตภัณฑ์ ควรอยู่ในระดับ 99.73% บนพื้นฐานค่าเพื่อ กับระดับ 0.27% ที่อยู่นอกเหนือขอบเขต บน-ล่าง ซึ่งทั่วไปการเพิ่มค่าเพื่อจะช่วยลดเบอร์เท็นต์ของส่วนที่ขوبพร่อง

การออกแบบผลิตภัณฑ์ให้เหมาะสมในทางวิศวกรรมเพื่อให้ได้ค่าเบี่ยงเบนที่เหมาะสมกับแต่ละผลิตภัณฑ์ ควรคำนึงถึงความสัมพันธ์กันระหว่างค่าเบี่ยงเบน กับขีดจำกัดบน-ล่าง ดังแสดงให้เห็นในสมการที่ 2.1

$$C_p = PCI = \frac{T}{6\sigma} \quad \dots\dots\dots (2.1)$$

เมื่อ  $PCI$  = ดัชนีวัดความสามารถของกระบวนการ (Process Capability Index)

$T$  = ระยะเบี่ยงเบน

$6\sigma$  = ขอบเขตค่าเบี่ยงเบนที่เหมาะสม

## 2.2 หลักการวิเคราะห์ค่าเบี่ยงเบน

แนวทางและทฤษฎีในการวิเคราะห์ค่าเบี่ยงเบนที่สำคัญคือคุณสมบัติทางกายภาพของวัสดุดิบมีด้วยกัน หลายหลายรูปแบบด้วยกัน แต่ที่นิยมใช้กันอย่างแพร่หลาย และน่าเชื่อถือ มีอยู่ 3 วิธีด้วยกัน

### 2.2.1 วิธีทางสถิติ (Statistical Method)

#### 1. วิธี Root Sum Square (RSS)

ในการวิเคราะห์ค่าเบี่ยงเบน (Tolerance) ด้วยวิธีทางสถิติ เป็นที่นิยมใช้กันเป็นส่วนใหญ่ เนื่องจากเป็นวิธีที่เป็นเหตุเป็นผล เพราะมีการเก็บข้อมูลความน่าจะเป็นทั้งหมดของค่าเบี่ยงเบนที่นิยมใช้กันมี ขั้นตอนทั้งหมดที่เกิดขึ้นภายใต้การกระจายข้อมูลแบบอร์มอล ซึ่งสมการพื้นฐานที่ใช้กันมีดังนี้

$$\sigma_{assy} = \left[ \sum \sigma_i^2 \right]^{1/2} \quad i = 1, 2, 3, \dots, n \quad \dots\dots\dots (2.2)$$

เมื่อ  $\sigma_{assy}$  คือ ค่าเบี่ยงเบนมาตรฐานประกอบ

$\sigma_i$  คือ ค่าเบี่ยงเบนมาตรฐานของชิ้นส่วนประกอบ

วิธีการ RSS ทำให้สามารถวิเคราะห์แต่ละชิ้นส่วน คำนึงถึงความสามารถในการผล (Process Capability,  $C_p$ ) ซึ่งทำให้การวิเคราะห์ค่าเบี่ยงเบน (Tolerance) มีความเป็นจริงมากที่สุด แต่

วิธีนี้มีจุดด้อย คือ ไม่ได้คำนึงถึงระยะเวลาของความสามารถในการผลิต (Short Term) สำหรับการประกอบชิ้นส่วนมีสมการดังนี้

$$\sigma_{Gap} = \sqrt{\left[ \frac{T_e}{3C_p} \right]^2 + \sum_{i=1}^m \left[ \frac{T_{p_i}}{3C_{p_i}} \right]^2} \quad \dots\dots\dots (2.3)$$

$i = 1, 2, 3, \dots\dots\dots n$

เมื่อ  $\sigma_{Gap}$  คือ ค่าเบี่ยงเบนมาตรฐานของช่องว่างประกอบ

$T_e$  คือ ค่าเฉลี่ยของชิ้นงานส่วนหลัก

$T_{p_i}$  คือ ค่าเฉลี่ยเริ่มต้น

## 2. วิธี Dynamic Root Sum of Square

การวิเคราะห์ค่าเฉลี่ยแบบ DRSS เป็นการวิเคราะห์ทางสถิติ เช่นเดียวกับ RSS แต่มีความแตกต่างกันตรงที่วิธี DRSS ขึ้นอยู่กับความสามารถในการผลิตระยะยาว (Long Term Process Capability,  $C_{pk}$ ) ซึ่งถูกเลื่อนค่าเฉลี่ยออกไป 1.5 เท่าของค่าเบี่ยงเบนมาตรฐาน ( $1.5\sigma$ ) ดังสมการด้านล่างนี้

$$\sigma_{Gap} = \sqrt{\left[ \frac{T_e}{3C_{pk}} \right]^2 + \sum_{i=1}^m \left[ \frac{T_{p_i}}{3C_{pk_i}} \right]^2} \quad \dots\dots\dots (2.4)$$

$i = 1, 2, 3, \dots\dots\dots n$

เมื่อ  $\sigma_{Gap}$  คือ ค่าเบี่ยงเบนมาตรฐานของช่องว่างประกอบ

$T_e$  ค่าเฉลี่ยของชิ้นงานส่วนหลัก

$T_{p_i}$  ค่าเฉลี่ยเริ่มต้น

### 2.2.2. วิธีการแบบ Worst Case Limits

วิธีนี้เป็นการวิเคราะห์ซึ่งเกิดขึ้นจากการคำนวณค่าเพื่อที่ประกอบกันในแต่ละชิ้นส่วน เป็นส่วนต่างเป็นการวิเคราะห์ในเชิงป้องกันและเป็นที่นิยมใช้กันมานานสำหรับค่าเพื่อของส่วนประกอบแต่ละชิ้นจะถูกกำหนดขอบเขตที่ยอมรับได้ที่บันและล่าง ซึ่งเป็นค่าจำกัดสูงสุดหรือต่ำสุดเท่านั้นซึ่งสมการประกอบมีดังนี้

$$WC_{\max} = \sum (N_{pi} + T_{pi}) \quad i = 1, 2, 3, \dots, n \quad \text{----- (2.6)}$$

$$WC_{\min} = \sum (N_{pi} - T_{pi}) \quad i = 1, 2, 3, \dots, n \quad \text{----- (2.7)}$$

เมื่อ  $N_{pi}$  คือ ขนาดกลางหรือขนาดเบ้าหมาย

$T_{pi}$  คือ ค่าเพื่อเริ่มต้น

$$T_{WC} = \sum T_i \quad i = 1, 2, 3, \dots, n \quad \text{----- (2.8)}$$

เมื่อ  $T_{WC}$  คือ ค่าเพื่อประกอบที่ได้มาจากการวิธี Worst Case

$T_i$  คือ ค่าเพื่อของชิ้นส่วนประกอบ

การออกแบบทางวิศวกรรมควรจะทราบถึงความสัมพันธ์ถึงแม้ว่าความสัมพันธ์ที่ให้กับการออกแบบค่าเพื่อปัจจัยส่วนของต้นทุนและส่วนอื่นที่ใช้กับกระบวนการผลิตในรูปแบบของการกำหนดค่าเพื่อที่กว้างซึ่งไม่คุ้มค่ากับการนำผลิตภัณฑ์ไปใช้ประโยชน์จริง

### 2.3 ทฤษฎีประยุกต์ใช้ของทางกฎหมาย

นิยามของทาง ทางกฎหมาย กล่าวว่า “ต้นทุนผลิตภัณฑ์ที่สูญเสียจากเวลาที่ผลิตภัณฑ์ถูกปล่อยเพื่อส่งมอบ” เป็นความสูญเสียที่เกิดขึ้นจาก ต้นทุนการดำเนินงาน ของเดียวจากการผลิต การซ่อมบำรุงรักษา และค่าใช้จ่ายการซ่อมแซม ความไม่พอดีของลูกค้า การได้รับบาดเจ็บจากการออกแบบที่ผิดพลาด และอื่นๆ ส่วนข้อบกพร่องของผลิตภัณฑ์จะแสดงให้พบก่อนส่งมอบสินค้า โดยของเดียวที่เกิดขึ้นจะได้มาจากเศษที่เหลือใช้ ข้อบกพร่องต่างๆ ของผลิตภัณฑ์ สิ่งเหล่านี้จะเกิดเป็นต้นทุนการผลิตทั้งสิ้น หรือมีต้นทุนที่เกิดขึ้นเนื่องจากชิ้นงานไม่ได้คุณภาพ ความสูญเสียที่เกิดขึ้นส่วนหนึ่งมาจาก การกำหนดค่าเพื่อที่ตั้งไว้ไม่เหมาะสม ถึงแม้คุณสมบัติของวัสดุจะมีขนาดไม่ได้ตามที่ออกแบบไว้แล้ว จะไม่ส่งผลกระทบใดๆ เมื่อมีการบริการเปลี่ยนให้มากกว่าเดิม ในความสูญเสียที่สัมพันธ์กันโดยทั่วไป มีส่วนของขนาดชิ้นงานเข้ามา

เกี่ยวข้อง เมื่อขนาดมีการเปลี่ยนแปลงไปจากค่าเป้าหมายที่ตั้งไว้ ทำให้เกิดความสูญเสียที่เพิ่มขึ้น ตามหลักการของ Loss Function แสดงเป็นสมการดังนี้ Groover, M. P. (2007)

$$L(x) = k (x-N)^2 \quad \text{----- (2.9)}$$

เมื่อ  $L(x)$  = ค่าความสูญเสีย (Loss Function)

$k$  = ค่าคงที่ของสัดส่วนระหว่างค่าความสูญเสียที่ยอมรับได้

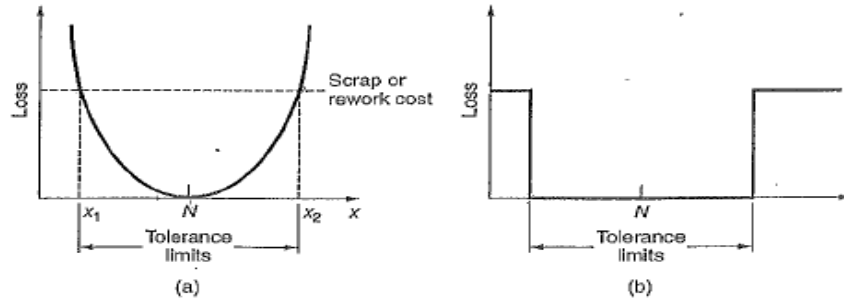
กำลังสองของระยะจากจุดจำกัดถึงค่าเฉลี่อเป้าหมาย

$x$  = ค่าเฉลี่อ (Tolerance)

$N$  = ค่าเฉลี่อเป้าหมาย (Nominal Tolerance)

$(x_2-N)$  = ค่าความสูญเสียที่ยอมรับได้

$-(x_1-N)$  = ระยะจากจุดจำกัดถึงค่าเฉลี่อเป้าหมาย



ก) แสดงค่าเฉลี่อแบบสมการกำลังสอง

ข) แสดงขอบเขตค่าเฉลี่อที่ยอมรับได้

## 2.4 งานวิจัยที่เกี่ยวข้อง

หนึ่งในความสำนึกร่วมกันของความสามารถในการผลิตเชิงวิศวกรรม คือ พัฒนาหลักการออกแบบผลิตภัณฑ์ให้นำเข้าสู่อุตสาหกรรม เป็นที่ยอมรับ ขณะที่กระบวนการผลิตที่เหมาะสมขึ้นอยู่กับการกำหนดค่าเฉลี่อเชิงสถิติ สำหรับการพยากรณ์ผลลัพธ์ต่อค่าเฉลี่อที่กำหนดขึ้นระหว่างดำเนินการประกอบ วัตถุประสงค์ คือ การยอมรับปัญหาสำหรับการผลิต ขณะเดียวกันมีการบำรุงรักษา โดยได้รับความน่าเชื่อถือ นั่นเป็นส่วนที่ช่วยผลักดันไปด้วยกัน Koenig, D.T. (1987)

ค่าเพื่อที่กำหนดแล้วนั้นเป็นชิ้นส่วนสมบูรณ์ ที่มีการออกแบบได้อย่างต่อเนื่อง การวิเคราะห์ค่าความเด่น และความเครียดถูกกำหนดขึ้นตามขนาดและรูปว่าง ค่าเพื่อถูกใช้อย่างแน่นอนหลังจากผลิตชิ้นส่วนอื่นอย่างเหมาะสมที่ขนาด รูปว่าง โดยส่วนมากการกำหนดค่าเพื่อในชิ้นควรหลีกเลี่ยง กำหนดค่าเพื่อที่กว้าง ควรกำหนดให้เล็กกว่าชิ้นส่วนที่นำไปใช้ร่วมกัน ซึ่งสัมพันธ์กับส่วนการออกแบบค่าเพื่อ ในระหว่างการออกแบบค่าเพื่อ เพื่อให้เกิดความสมบูรณ์ โดยมีการตัดสินใจหารดับที่ยอมรับได้ของชิ้นส่วนนั้น และปัญหาที่สำคัญเลย คือการกำหนดค่าเพื่อในด้านที่มีผลกระทบน้อยที่สุดเหมาะสมกับงาน และผลิตภัณฑ์ควรมีคุณภาพดี โดยเป้าหมายควรคำนึงถึงต้นทุนการผลิตต่อหน่วยที่เหมาะสม อายุการใช้งาน(ผู้บริโภค, บริการ, ลักษณะ) และคุณภาพที่สูงเสียจะน้อยลง William, Y. F. (1995)

การออกแบบค่าเพื่อของผลิตภัณฑ์ให้เกิดประสิทธิภาพมากสุดนั้นควรคำนึงความสูงเสียด้านคุณภาพ ที่กล่าวถึงคือ ข้อบกพร่องที่ทุกคนรับรู้เกี่ยวกับการสื่อสาร ซึ่งเป็นแนวความคิดที่ควรใช้ 2 ภาษา ในบริษัทนั่น คือ ภาษาด้านการเงิน และภาษาที่เกี่ยวข้องทุกสิ่งทุกอย่าง ภาษากองเงิน เช่น กำไร ความสูงเสียต่างๆ หมายความว่า กับการจัดการระดับสูง และ ภาษากองลงที่คิด เช่น ความแปรปรวน และอื่นๆ หมายความว่า กับการจัดการระดับต่ำ กับการจัดการระดับกลางเป็น แบบสองภาษาเป็นการเชื่อมโยงความสื่อสารสองระดับ คือระดับกลางกับระดับบนให้บรรลุผลสำเร็จ การลดความสูงเสียด้านคุณภาพทาง ดร.ทากูชิได้นิยามหลักการ คือ ความสูงเสียเชิงเศรษฐศาสตร์สามารถลดลงได้โดยการลดความแปรปรวนในกระบวนการผลิต และลดความแปรปรวนด้านต้นทุน ความสูงเสียเกิดขึ้นนั้น อยู่ที่ความสามารถในการผลิตไม่ตรงตามมาตรฐานค่าที่ตั้งไว้ เนื่องจากคุณลักษณะของกระบวนการผลิตไม่มีเสถียรภาพ การผลิตที่นิยมกัน คิดว่าถ้าคำนึงถึงการกำหนดขนาดภายนอก ไม่เหมาะสมกับส่วนต่างที่อยู่ภายใน แต่ถ้ามีการกำหนดให้ทุกส่วนทั้งภายในและภายนอก เหมาะสมกัน ควรมีการกำหนดเส้นขอบเขตในระบบสามารถที่ปั่นบอกถึงการตัดสินใจได้ง่าย Messina, W. S. (1991)

ภายหลังมีการออกแบบค่าเพื่อที่กำหนด ควรมีการควบคุมอย่างต่อเนื่องด้วยวิธีทางสถิติ โดยอาศัยหลักการ SPC (Statistical Process Control) สำหรับควบคุมความแปรปรวนที่เกิดขึ้นภายในกระบวนการผลิตและพัฒนาคุณภาพ สามารถแบ่งออกได้เป็น 3 ทางด้วยกัน Doty, L.A. (1990)

1. จัดเตรียมเป็นรูปของแต่ละสถานะในกระบวนการผลิตและปรับปรุงคุณภาพอยู่ตลอดเวลา
2. จัดเตรียมข้อมูลสำหรับแก้ไขของสาเหตุที่เกิดขึ้น และปรับปรุงคุณภาพของกระบวนการผลิตผ้าหลังค่าให้ดีขึ้น
3. ตัวชี้วัดความสามารถของกระบวนการ อะไรมีสาเหตุที่แท้จริงของกระบวนการผลิตที่ควรนำไปแก้ไขให้เหมาะสมและมีการจัดกิจกรรมปรับปรุงกระบวนการอย่างสม่ำเสมอหลังจาก

กระบวนการอยู่ในสภาพปัจจุบันซึ่งการออกแบบการกำหนดค่าเพื่อมีการศึกษาและวิจัยกันอย่างต่อเนื่อง เพื่อให้ได้ค่าค่าเพื่อที่ยอมรับได้ และค่าเพื่อที่ยอมรับไม่ได้ โดยมีตัวอย่างงานวิจัยที่เกี่ยวกับค่าเพื่อซึ่งใช้เทคนิคสำหรับหากาที่เหมาะสม ดังนี้

พิวัฒน์ เนาวรัตน์กุลชัย (2545) งานวิจัยสำหรับศึกษาหาค่าความหนาเฉลี่ยและค่าเบี่ยงเบนมาตรฐานของหัวอ่านเขียน และแผ่นガฟที่ใช้ในการผลิต จากนั้นศึกษาหาความสัมพันธ์ระหว่างระยะประกอบชิ้นงานกับของเสียโดยอาศัยแనวความคิด Loss Function เพื่อทำการทดลองประกอบที่เหมาะสม สำหรับการทำงานจริง จัดสรุค่าเพื่อและขนาดสำหรับออกแบบเครื่องมือ และวิเคราะห์ค่าเพื่อด้วยเทคนิควิธี Worst Case Limit เทคนิควิธีทางสถิติ ได้แก่ วิธี Root Sum of Squares (RSS) และวิธี Dynamic Sum of Squares (DRSS) และเทคนิควิธี Monte Carlo Simulation ด้วยโปรแกรมช่วยคอมพิวเตอร์ "Crystal Ball" หลังจากนั้นทำการสร้างแบบจำลองปัญหาเลียนแบบงานจริง และวิเคราะห์ความแตกต่างระหว่างจำลองปัญหากับงานจริง ผลการวิจัยพบว่าการจัดสรุค่าเพื่อและขนาดสำหรับชิ้นส่วนของเครื่องมือในกระบวนการเชื่อมติด เมื่อนำมาคำนวณต่างๆ มาประกอบกันจะได้ระยะประกอบใหม่เท่ากับ  $0.01270 \pm 0.0294$  นิ้ว ซึ่งแตกต่างจากระยะประกอบเก่าเท่ากับ  $0.01000 \pm 0.00330$  นิ้ว ผลต่างเท่ากับ  $0.00270 \pm 0.00036$  นิ้ว ทำให้ค่าเพื่อและขนาดที่ถูกออกแบบใหม่ ทำให้สามารถลดของเสียลงได้ถึง 82%

รณัชัย ศิริโภสุน്ധุล (2541) งานวิจัยนี้มีวัตถุประสงค์เพื่อศึกษาวิธีการหาค่าเพื่อที่เหมาะสมที่สุด ที่มีต้นทุนการประกอบต่ำที่สุดพร้อมทั้งเปรียบเทียบต้นทุนการประกอบของค่าเพื่อที่ออกแบบกับค่าเพื่อที่ทำการจัดสรรงานใหม่และวิเคราะห์ความไวในกรณีค่าเพื่อกรณีต้นทุนแปรผันเปลี่ยนแปลงและความไวในกรณีค่าเพื่อเปลี่ยนแปลงไปโดยการหาค่าเพื่อที่เหมาะสมที่สุดจากชิ้นส่วนเพลาและชิ้นส่วนประกอบเครื่องสูบ นำมันราียนต์ ใช้รูปแบบพังก์ชันต้นทุนค่าเพื่อในรูปแบบ Reciprocal และทำการจัดสรุค่าเพื่อด้วยวิธีลากกรานต์มัลติพลายแอร์

### บทที่ 3

#### การศึกษาปัญหาของโรงงานกรณีศึกษา

##### 3.1 ข้อมูลทั่วไปของโรงงาน

บริษัทกรณีศึกษา ได้เริ่มก่อตั้งขึ้นเมื่อปี พ.ศ. 2512 จากการเป็นร้านเล็กๆ 1 คูหา โดยในช่วงแรก จะรับบริการเรื่องการซ่อมแซมเบาะรถจักรยานยนต์และรถยนต์ ต่อมามีลูกค้ามากขึ้น ได้ขยายกิจการเป็น 3 คูหาและมีการขยายกิจกรรมตามรายละเอียดดังนี้

- ปี 2520 มีการแยกตัวไปทำธุรกิจเกี่ยวกับเบาะมองเตอร์ไซด์
- ปี 2529 มีการแยกตัวไปทำธุรกิจเกี่ยวกับงาน BODY ยานยนต์
- ปี 2531 ได้มีการผลิตชิ้นส่วน SEAT AND TRIMMING PART ส่งออกไปยังต่างประเทศ
- ปี 2533 ขยายกิจการอุปกรณ์เป็นบริษัทกรณีศึกษา (สาขาบางพลี)
- ปี 2534 SAS เปิดทำการโรงงานที่นิคมอุตสาหกรรมแหลมฉบัง
- ปี 2536 ขยายกิจการอุปกรณ์เป็นบริษัทกรณีศึกษา (สาขาทั่วโลก) ปัจจุบันเป็นสำนักงานใหญ่
- ปี 2545 ขยายกิจการอุปกรณ์เป็นบริษัทในเครือกว่า 10 สาขา
- ปี 2549 ขยายกิจการไปต่างประเทศ ได้แก่ เวียดนาม จีนและอินเดีย

บริษัทฯ ได้ดำเนินการทางธุรกิจเกี่ยวกับอุตสาหกรรมยานยนต์ โดยผลิตชิ้นส่วนยานยนต์ เช่น DOORTRIM, SUNVISOR, INSULATOR HOOD, INSULATOR DASH, SEAT, FENDER, FLOOR MAT, FLOOR CARPET, HEADLINING, TRUNK LID, TRUNK SIDE ฯลฯ โดยมีลูกค้าคือ TOYOTA, NISSAN, MITSUBISHI, HONDA, FORD, MAZDA, ISUZU, HINO เป็นต้น

##### 3.2 ผลิตภัณฑ์ของโรงงานตัวอย่าง

บริษัทฯ มีผลิตภัณฑ์หลักส่วนใหญ่เป็นชิ้นส่วนภายในรถยนต์จำแนกออกเป็น 2 ประเภทหลักๆ คือ

1. ประเภทเบาะที่นั่ง และโครงเบาะรถยนต์ (Seat & Frames) เช่น Foam, Covering, Frame, Mechanism, Plastic Part
2. ประเภทชิ้นงานภายในรถยนต์แบบมีการตัด (Trimming) เช่น Insulation, Overhead, Floor Carpet, Exterior

ผลิตภัณฑ์ของบริษัทจะเน้นการผลิตชิ้นส่วนภายในรถยนต์แต่ละประเภทก่อนนำมาประกอบเข้าด้วยกันกับโครงสร้างรถยนต์ดังแสดงในรูปที่ 3.1

Covering	Frame	Foam	Mechanism	Plastic part
<ul style="list-style-type: none"> <li>• Leather covering</li> <li>• PVC covering</li> <li>• Fabric covering</li> </ul> 	<ul style="list-style-type: none"> <li>• Back Frame</li> <li>• Cushion frame</li> <li>• Armrest frame</li> <li>• Headrest frame</li> </ul> 	<ul style="list-style-type: none"> <li>• Pad FR/RR back</li> <li>• Pad cushion</li> <li>• Pad armrest</li> <li>• Pad headrest</li> </ul> 	<ul style="list-style-type: none"> <li>• Slide and Track</li> <li>• Recliner</li> <li>• Locking</li> <li>• Height Adjuster</li> </ul> 	<ul style="list-style-type: none"> <li>• Recline cover</li> <li>• Slide knob</li> <li>• Cover seat</li> </ul> 

รูปที่ 3.1 ผลิตภัณฑ์ประเภทเบาะนั่งและโครงสร้างของโรงงานตัวอย่าง

ส่วนใหญ่ผลิตภัณฑ์ที่เป็นรายได้หลักให้แก่บริษัทฯจะเน้นหันไปกับชิ้นส่วนรถยนต์ประเภทบุรุษขนาดไม่เกิน 1 ตัน ที่ประกอบด้วยส่วนหลักๆ ดังแสดงในรูปที่ 3.2

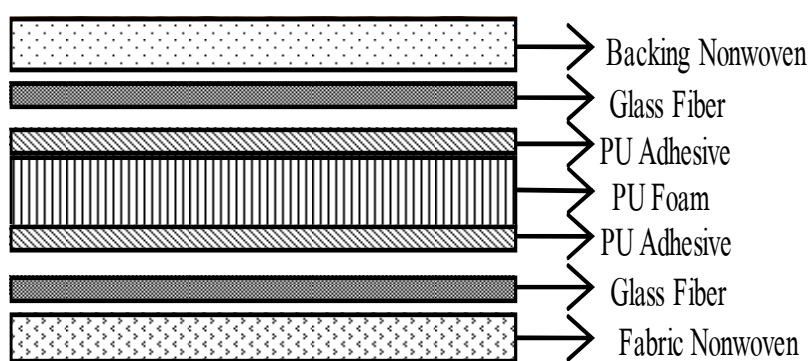
Insulation	Overhead	Floor	Interior	Exterior
<ul style="list-style-type: none"> <li>• Insulation Dash (Inner / Outer)</li> <li>• Insulator Hood</li> <li>• Insulator Floor</li> <li>• Insulator Roof</li> <li>• Heat Shield</li> </ul> 	<ul style="list-style-type: none"> <li>• Headliner</li> <li>• Sun visor</li> <li>• Grip Handle</li> <li>• Coat Hook</li> <li>• Console Roof</li> </ul> 	<ul style="list-style-type: none"> <li>• Floor mat</li> <li>• Floor carpet           <ul style="list-style-type: none"> <li>- Felt backing</li> <li>- Foam backing</li> </ul> </li> </ul> 	<ul style="list-style-type: none"> <li>• Door Trim</li> <li>• Parcel shelf</li> <li>• Lid passenger</li> <li>• Trim Back panel (upper / lower)</li> <li>• Opening trim</li> <li>• Wood Printing</li> </ul> 	<ul style="list-style-type: none"> <li>• Shield splash</li> <li>• Under cover</li> <li>• Rod hood support</li> <li>• Battery Tray</li> <li>• Lid spare tire</li> <li>• Trim trunk</li> <li>• Mud guard</li> </ul> 

รูปที่ 3.2 ผลิตภัณฑ์ประเภทชิ้นงานที่ผ่านการตัดของโรงงานตัวอย่าง

### 3.3 โครงสร้างวัตถุดิบประกอบผ้าหลังคา (Headlining Structure)

ผ้าหลังคามีส่วนประกอบของวัสดุแต่ละชั้นต่างๆดังนี้

- (1) Backing Nonwoven ลักษณะเป็นผ้ากระดาษหรือฟิล์ม Polyethylene (PE) ทำหน้าที่สำหรับป้องกันเนื้อการหลุดผ่านชั้นของ Nonwoven ติดปฏิเวณแม่พิมพ์ขณะอัดขึ้นรูปชิ้นงาน
  - (2) Glass Fiber ลักษณะเป็นม้วนสีขาวคล้ายกับม้วนเชือกฟาง (Fiber Roving) ส่วนอีกแบบหนึ่งเป็นลักษณะคล้ายแผ่นตาข่ายสีขาว (Fiber Sheet) ทำหน้าที่เสริมความแข็งแรงของชิ้นงานผ้าหลังคาในกระบวนการการอัดขึ้นรูปชิ้นงาน
  - (3) Polyurethane Adhesive ลักษณะเป็นกาวประเทท Polyurethane (PU) ใช้น้ำเป็นตัวเร่งปฏิกิริยาทำให้การเกิดการแข็งตัวก่อนผ่านกระบวนการอัดขึ้นรูปผ้าหลังคา โดยทั่วไป Polyurethane Foam (PU Foam) ทำหน้าที่เป็นประสานแต่ละชั้นของวัตถุดิบให้ยึดติดกันอย่างแน่นหนาแน่น
  - (4) Polyurethane Foam ลักษณะเป็นแผ่นคล้ายกับแผ่นนมปั้ง ทำหน้าที่เป็นแกนกลางสำหรับขั้นรูปผ้าหลังคาระยนต์
  - (5) Fabric Nonwoven ลักษณะเป็นผ้ากระดาษ (Fabric) ผ่านการถักให้ได้ตามลวดลายที่ต้องการ ทำหน้าที่ปักคลุมส่วนบนสุดของชิ้นงานผ้าหลังคา
- ผ้าหลังคามีการแสดงโครงสร้างในแต่ละชั้นดังรูปที่ 3.3



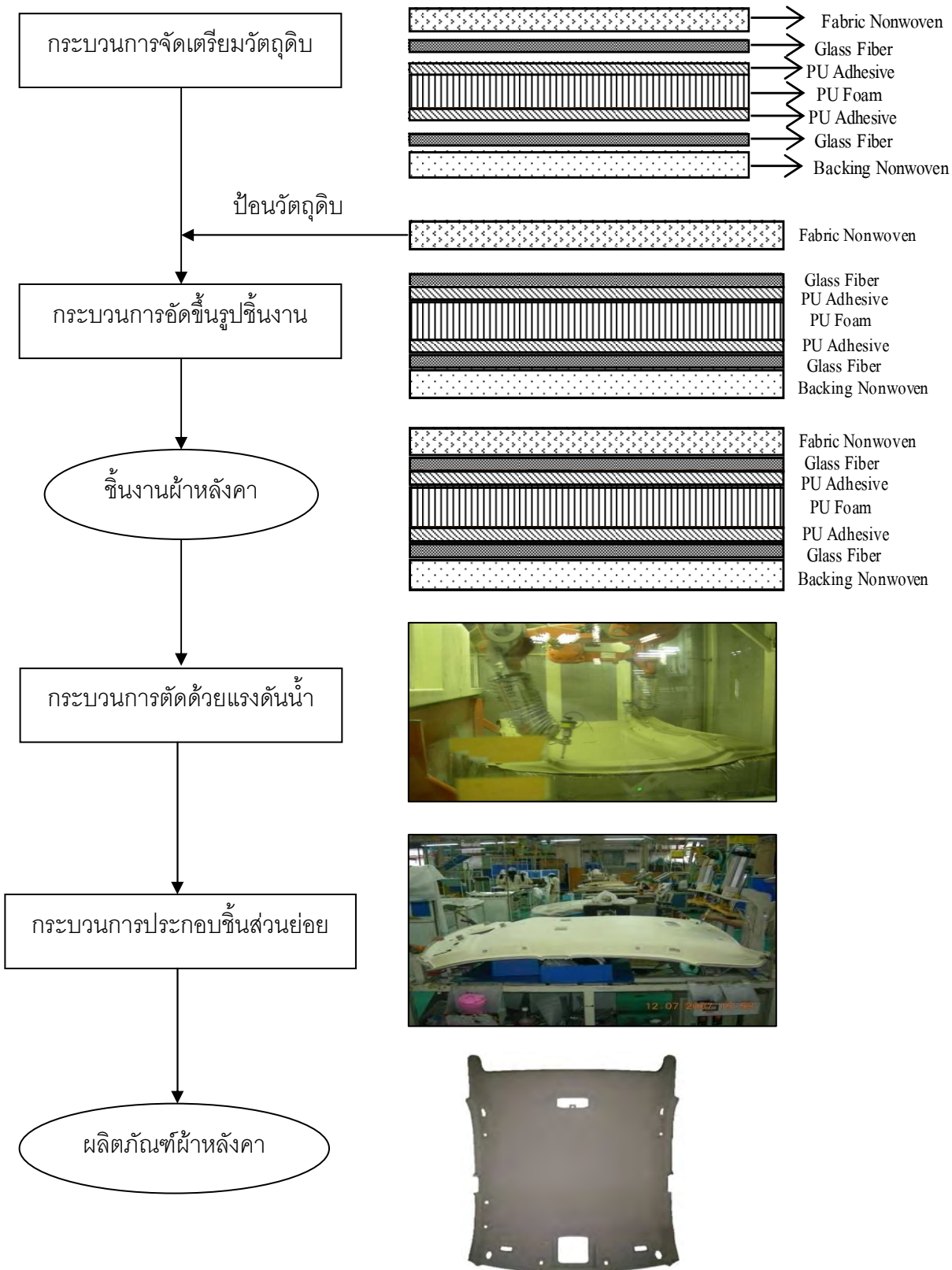
รูปที่ 3.3 โครงสร้างวัตถุดิบผ้าหลังคາแต่ละชั้น

### 3.4 กระบวนการผลิตผ้าหลังคารถยนต์

ปัจจุบันทางโรงงานตัวอย่างมีกระบวนการผลิตผ้าหลังคา ซึ่งเป็นส่วนหนึ่งสำหรับประกอบรถยนต์รุ่นต่างๆ หน้าที่การทำงานของผ้าหลังคารถยนต์ คือ ใช้สำหรับกันเสียงที่เข้าสู่ห้องโดยสาร และกันความร้อนที่แผ่เข้าบริเวณภายในห้องโดยสาร มีกรรมวิธีการผลิต แบ่งออกเป็น 4 ส่วน ดังนี้คือ

1. กระบวนการจัดเตรียมวัสดุผ้าหลังคา (Material Preparation) กระบวนการจัดเตรียมวัสดุเป็นการนำวัตถุดิบจากสถานที่จัดเก็บไปวางอยู่ในแต่ละสถานีเพื่อพร้อมดำเนินการในการอัดขึ้นรูปผ้าหลังคา
2. กระบวนการอัดขึ้นรูปชิ้นงาน (Forming Process) กระบวนการอัดขึ้นรูปชิ้นงานโดยการใช้ความร้อนที่อุณหภูมิเท่ากับ  $135 \pm 5^{\circ}\text{C}$  ความดันการอัดขึ้นรูปผ้าหลังคา เท่ากับ  $125 \pm 5$  บาร์ ระยะเวลาการขัดขึ้นรูป เท่ากับ  $35 \pm 5$  วินาทีต่อครั้งการอัดขึ้นรูป
3. กระบวนการตัดด้วยแรงดันน้ำ (Water Jet Process) กระบวนการนี้ คือการนำชิ้นงานผ้าหลังคาที่ผ่านการอัดขึ้นรูปไปตัดให้ได้ขนาดตามต้องการ โดยใช้เครื่องจักรแรงดันน้ำตัดชิ้นงานผ้าหลังคาเพื่อทำให้ไม่เกิดซ่องว่างระหว่างการประกอบชิ้นงานอื่นๆ น้อยที่สุด (Less Assembly Gap)
4. กระบวนการประกอบชิ้นส่วน (Component Parts Process) กระบวนการนี้ คือการนำชิ้นงานผ้าหลังคาที่ผ่านกระบวนการตัดด้วยแรงดันน้ำมาประกอบกับโฟมชิ้นเล็กๆ (Pad Foam), Backing Nonwoven สีขาว และพลาสติกปะปา Polypropylene (PE) เพื่อเสริมความแข็งแรงและลดเสียงรบกวน ขั้นเกิดจากสาเหตุการเสียดสีของผ้าหลังคา กับโครงเหล็กของหลังคารถยนต์

3.4.1 กระบวนการผลิตผ้าหลังคาทั้ง 4 ขั้นตอน และเป็นแผนภูมิการไหลได้ดังในรูปที่ 3.4



### 3.4.2 รายละเอียดแต่ละกระบวนการผลิตผ้าหลังคา จำแนกได้ 4 ขั้นตอน

- 1.กระบวนการการจัดเตรียมวัสดุดิบ
- 2.กระบวนการการอัดขึ้นรูปชิ้นงานผ้าหลังคา
- 3.กระบวนการการตัดด้วยแร้งดันน้ำ
- 4.กระบวนการการประกอบชิ้นส่วนย่อย

#### 1) กระบวนการการจัดเตรียมวัสดุดิบ

การจัดเตรียมวัสดุดิบในแต่ละสถานีของกระบวนการอัดขึ้นรูปผ้าหลังคา ประกอบด้วยวัสดุใน การผลิต ได้แก่ PU Foam, PU Adhesive, Fiber Glass, Fabric Nonwoven, Backing Nonwoven วัสดุต่างๆจะเตรียมอยู่ในแต่ละสถานี เพื่อง่ายและสะดวกต่อการผลิต

#### 2) กระบวนการการอัดขึ้นรูปผ้าหลังคา จำแนกได้เป็น 9 ขั้นตอน ดังนี้

(2.1) ป้อนวัสดุดิบโพลียูรีเทนโฟม (PU Foam) ที่มีลักษณะเป็นแผ่นๆสีเหลือง เข้าไปยัง สายพานลำเลียงดังแสดงในรูปที่ 3.5



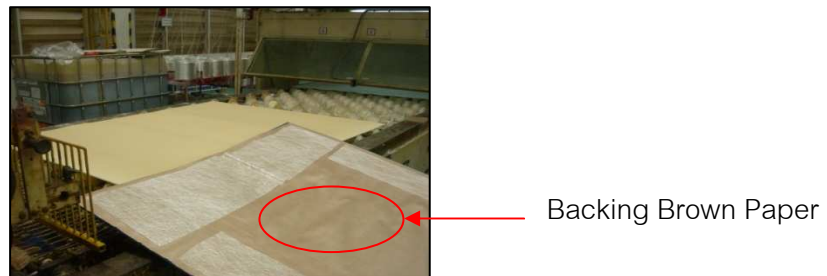
รูปที่ 3.5 การป้อนโฟมผ่านเครื่องจักร

(2.2) สายพานลำเลียงนำแผ่นโพลียูรีเทนโฟมผ่านเข้าสู่ ลูกกลิ้งกาว (Roller Machine) สำหรับรีดกาวบริเวณผิวด้านบน และ ด้านล่างของแผ่นโพลียูรีเทนโฟม ดังแสดงในรูปที่ 3.6



รูปที่ 3.6 การวัดความกว้างบันแ芬โพลียูรีเทนโฟม

(2.3) ปั๊มน้ำตقطุบ Backing Brown Paper พิรุณ์ม่เสริมด้วยไฟเบอร์กลาสชนิดแผ่นได้  
ขอบทั้งสี่ด้านของ Backing โดยสายพานลำเลียง PU Foam Sheet จะผ่านเข้ากระบวนการก่อน  
ต่อจากนั้นจึงนำวัตقطุบ Backing Brown Paper ผ่านสายพานลำเลียงต่อจากวัตقطุบ PU Foam  
ดังแสดงในรูปที่ 3.7



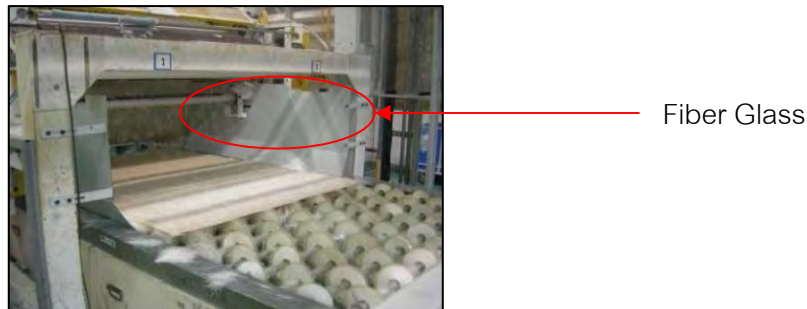
รูปที่ 3.7 การจัดวางแผ่นกระดาษย่นกับแผ่นไฟเบอร์กลาส

(2.4) เครื่องจักรฉีดพ่นละอองน้ำลงบนแผ่นโพลียูรีเทนโฟม (PU Foam Sheet) และ  
Backing Brown Paper ขณะที่ชิ้นงานกำลังเคลื่อนที่อยู่บนสายพานลำเลียง ดังแสดงในรูปที่ 3.8



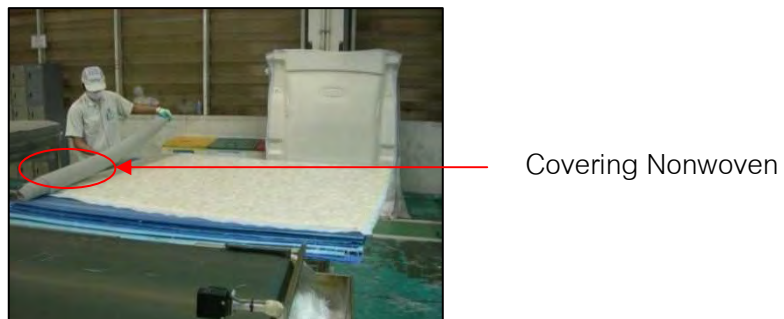
รูปที่ 3.8 การฉีดพ่นละอองน้ำบนแผ่นโพลียูรีเทนโฟม

(2.5) ป้ายไฟเบอร์กลาส (Fiber Glass) ที่มีลักษณะเป็นเส้นเล็กๆ ความยาวประมาณ 60 เซนติเมตร (โดยผ่านกระบวนการการตัดให้มีเส้นที่เล็กลง) ลงบนวัสดุดิบ PU Foam Sheet และ Backing Brown Paper ขณะที่ชิ้นงานกำลังเคลื่อนที่อยู่บนสายพานลำเลียง ดังแสดงในรูปที่ 3.9



รูปที่ 3.9 การป้ายเส้นไฟเบอร์ลงบนแผ่นโพลียูรีเทนโฟม

(2.6) นำแผ่นโพลียูรีเทนโฟม (PU Foam Sheet) และ Backing Brown Paper ซึ่งเคลื่อนที่ผ่านสายพานพานลำเลียงออกมายังก๊อกมาไปประกอบเข้าด้วยกันกับผ้ากำมะหยี่ (Covering Nonwoven) ซึ่งจัดเตรียมไว้บริเวณด้านท้ายของกระบวนการอัดขึ้นรูปผ้าหลังคา ดังแสดงในรูปที่ 3.10



รูปที่ 3.10 การประกอบ Covering Nonwoven ลงบนแผ่นโพลียูรีเทนโฟม

(2.7) นำชิ้นงานที่ผ่านกระบวนการแต่ละสถานี เข้าไปยังแม่พิมพ์สำหรับอัดขึ้นรูปชิ้นงานผ้าหลังด้วยความร้อนประมาณ  $135 \pm 5$  องศา และระยะเวลา  $35 \pm 5$  วินาที ดังแสดงในรูปที่ 3.11



รูปที่ 3.11 การอัดขึ้นรูปชิ้นงานผ้าหลังคา

(2.8) นำชิ้นงานผ้าหลังคาออกจากการแม่พิมพ์ จากนั้นจะถูกตรวจสอบจากฝ่ายควบคุมคุณภาพก่อนจัดเก็บลงชั้นวาง (Rack) ดังแสดงในรูปที่ 3.12

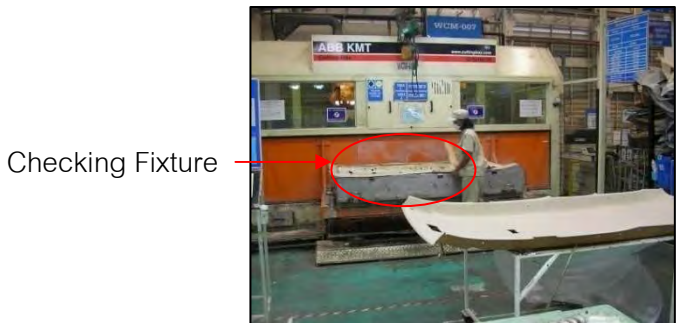


รูปที่ 3.12 ชิ้นงานผ้าหลังคาที่ผ่านกระบวนการอัดขึ้นรูป

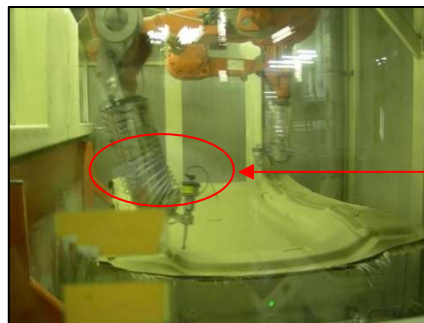
(2.9) บรรจุผ้าหลังคาใส่ชั้นเก็บชิ้นงาน (Rack) เพื่อให้ผ้าหลังคาอย่างความร้อนเพื่อทำให้ชิ้นงานก่อน ผ่านกระบวนการตัดด้วยแรงดันน้ำ

3) ชั้นตอนกระบวนการตัดชิ้นงานด้วยแรงดันน้ำ มีเพียง 1 ชั้นตอน ดังนี้

(3.1) พนักงานนำชิ้นงานผ้าหลังคา วางไว้ที่โมลด์ตรวจสอบ (Checking Fixture) ของรุ่นที่ต้องการตัด ก่อนจะนำเข้าเครื่องตัดด้วยแรงดันน้ำ (Water-Jet Machine) เพื่อตัดชิ้นงานให้ได้ขนาดตามต้องการ ดังแสดงในรูปที่ 3.13 (ก), 3.13 (ข)



Checking Fixture



Cutting Machine

รูปที่ 3.13 (ก) การวางแผนงานบน C/F

รูปที่ 3.13 (ข) การตัดของเครื่องจักร

#### 4) กระบวนการประกอบชิ้นส่วนย่อย

(4.1) นำชิ้นงานประกอบชิ้นส่วนย่อย (Component Parts) ได้แก่พลาสติก Clip Foam และ Clip Plastic ของแต่ละรุ่นเข้าไปตรวจสอบกับ Checking Fixture เพื่อความถูกต้อง ดังแสดงในรูปที่ 3.14



Component Parts

รูปที่ 3.14 ชิ้นงานผ้าหลังคาน้ำหนักที่ผ่านกระบวนการอัดขึ้นรูป

(4.2) นำเครื่องเป่ามาทำความสะอาดด้วยชิ้นงานผ้าหลังคาก่อนบรรจุใส่ถุงพลาสติก

(4.3) ตรวจสอบความสะอาดของชิ้นงานทุกครั้งก่อนบรรจุลงในถุงพลาสติก

### 3.5 สภาพปัจ្យหาที่พบสำหรับกรณีศึกษาโรงงานตัวอย่าง

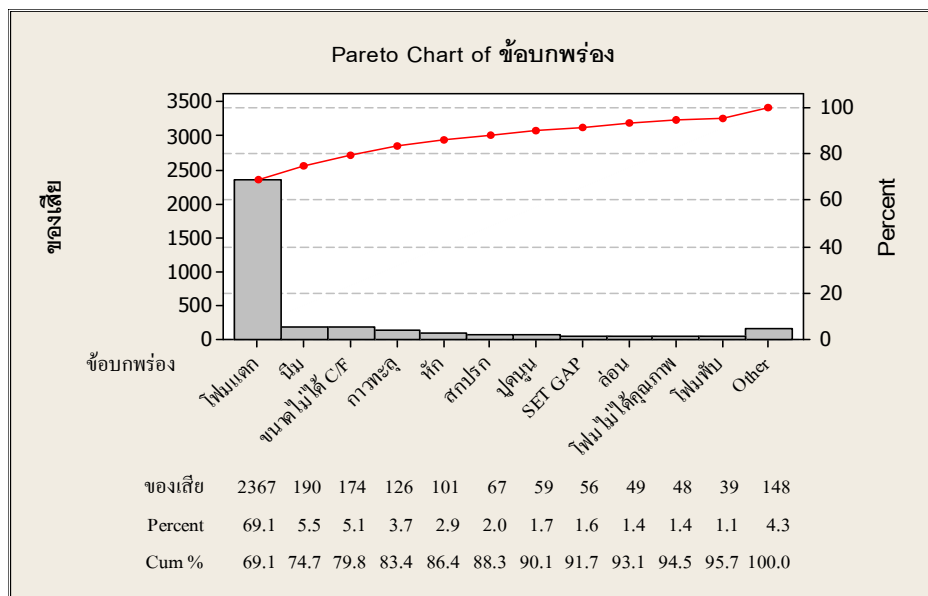
#### 3.5.1 สภาพปัจ្យหาทั่วไปที่ข้องเกี่ยวกับกรณีศึกษา

สภาพปัจ្យหาที่เกี่ยวข้องกับกรณีศึกษาได้ดำเนินการเก็บรวบรวมข้อมูลกระบวนการผลิตอัดขี้นรูปซึ่งมีความสอดคล้องกับปัจ្យหาข้อบกพร่องไฟมแตกของโรงงานตัวอย่างที่เข้าไปศึกษา จากกระบวนการฯอัดขี้นรูปผ้าหลังคาพบว่ามีปัจ្យหาจากข้อบกพร่องต่างๆ มากมาย เช่น ข้อบกพร่องไฟมแตก ข้อบกพร่องไฟมนิม ข้อบกพร่องการหด ขนาดไม่ได้ขนาดตาม C/F (Checking Fixture) เป็นต้น แสดงในตารางที่ 3.1

จากการรวมข้อมูลของเสียกระบวนการผลิตผ้าหลังคาของโรงงานตัวอย่าง แล้วนำไปวิเคราะห์ ตามหลักการพาราเรโตสำหรับจัดลำดับความสำคัญของปัจ្យหาที่เกิดขึ้น และหาแนวทางการแก้ไขต่อไปแสดงในรูปที่ 3.14

ตารางที่ 3.1 ข้อมูลจำนวนของเสียฝ้าหลังคาสำหรับภายนอกตัวอย่าง รุ่น A

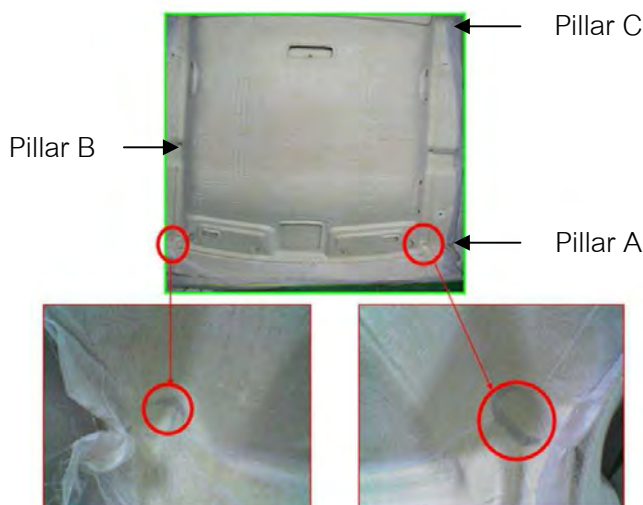
ข้อบกพร่อง / เดือน	ม.ค.	ก.พ.	มี.ค.	เม.ย.	พ.ค.	มิ.ย.	ก.ค.	ส.ค.	รวม	เปอร์เซ็นต์	กระบวนการ
โฟมแท็ก	279	353	598	191	383	158	151	254	2367	9.94	อัดขี้นรูป
ขนาดไม่ได้ C/F	6	9	6	16	45	45	14	33	174	0.73	ตัดด้วยเรงดันน้ำ
นิ่ม	17	2	5	70	56	10	23	7	190	0.8	อัดขี้นรูป
กาวทະลุ	4	5	-	15	3	35	39	25	126	0.53	อัดขี้นรูป
หัก	5	4	6	2	24	31	19	10	101	0.42	อัดขี้นรูป
ปูดบุน	9	2	4	14	8	9	8	5	59	0.25	อัดขี้นรูป
สะปรก	11	10	6	6	8	6	13	7	67	0.28	ประกอบชิ้นส่วนเบื้องต้น
SET GAP	10	14	7	6	5	9	2	3	56	0.24	อัดขี้นรูป
ล่อน	3	9	4	8	3	4	7	11	49	0.21	อัดขี้นรูป
โฟมไม่ได้คุณภาพ	-	48	-	-	-	-	-	-	48	0.2	จัดเตรียมวัสดุดีบ
เป็นจีบ	2	3	-	5	-	4	11	6	31	0.13	อัดขี้นรูป
กระดาษพับ	6	1	3	6	-	2	11	6	35	0.15	อัดขี้นรูป
โฟมพับ	5	8	3	10	6	4	1	2	39	0.16	อัดขี้นรูป
แก๊ซโซล Mold	-	6	-	-	-	-	-	13	19	0.08	อัดขี้นรูป
ขุบ	3	8	7	-	9	-	1	3	31	0.13	อัดขี้นรูป
เปยกัน้ำ	-	-	-	-	-	32	-	-	32	0.13	ตัดด้วยเรงดันน้ำ
รวมจำนวนของเสีย (1)	360	482	649	349	550	349	300	385	3,424	14.38	
จำนวนชิ้นงานผลิต (2)	2,354	3,190	4,161	2,897	2,478	3,510	2,773	2,460	17,202		
เปอร์เซ็นต์ของเสีย(1)/(2) PPM	152,931	151,097	155,972	120,469	221,953	99,430	108,186	156,504	199,047		



รูปที่ 3.15 แผนภูมิ Pareto สำหรับจัดลำดับความสำคัญของข้อบกพร่อง

จากรูปที่ 3.15 เห็นได้ว่าข้อบกพร่องต่างๆ ได้ถูกจัดลำดับความสำคัญ โดยอันดับหนึ่ง ข้อบกพร่อง ของโฟมแตกเกิดขึ้นถึง 69.1% และอันดับสอง ข้อบกพร่อง โฟมนิ่มเกิดขึ้น 5.5% และอันดับสาม ข้อบกพร่อง ขนาดไม่ได้ C/F เกิดขึ้น 5.1% และอันดับสี่ ข้อบกพร่อง กาวหลุด เกิดขึ้น 3.7% โดยแสดงรายละเอียดดังนี้

1. โฟมแตก ข้อบกพร่องที่เกิดขึ้นกับกระบวนการอัดขึ้นรูปผ้าหลังคา คือ การอัดขึ้นรูปชิ้นงานผ้าหลังคา หลังจากผ่านกระบวนการเกิดโฟมแตกขึ้นบริเวณมุมชิ้นงานผ้าหลังคาทั้งสองด้าน (บริเวณ Pillar A) ดังแสดงตามรูปที่ 3.16



รูปที่ 3.16 ตำแหน่งของชิ้นงานผ้าหลังคา

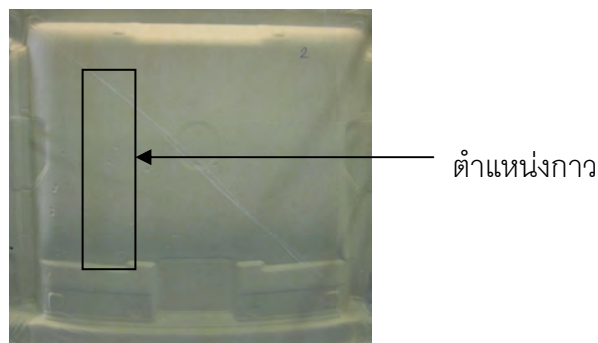
2. ชิ้นงานนิ่ม ข้อบกพร่องเกิดขึ้นกับกระบวนการอัดขึ้นรูปผ้าหลังคา คือ ชิ้นงานที่เตรียมพร้อมสำหรับเข้าผลิตในกระบวนการผลิตนั้น ค่าความแข็งของแผ่นโฟมทั่วทั้งแผ่นไม่ผ่านมาตรฐานที่ทางโรงงานกำหนด คือ  $38 \pm 0.3$  CSNumber หรือ สามารถเดาล์คอมในการผลิตไม่คงที่ เช่น อุณหภูมิของกระบวนการอัดขึ้นรูป ระยะเวลาการอัดขึ้นรูปชิ้นงาน เป็นต้น หรืออีกนัยหนึ่ง คือ การเก็บแผ่นโฟมไว้ในสถานที่ไม่เหมาะสมส่งผลต่อโครงสร้างทางกายภาพที่เปลี่ยนแปลงไป ไม่สามารถนำเข้ากระบวนการตัดด้วยแรงดันน้ำต่อไปได้ ดังแสดงในรูปที่ 3.17



รูปที่ 3.17 ลักษณะข้อบกพร่องโฟมนิ่ม

3. ขนาดไม่ได้ตามแม่พิมพ์ (Checking Fixture) ข้อบกพร่องเกิดกับกระบวนการตัดด้วยแรงดันน้ำ สัมพันธ์กับการออกแบบแม่พิมพ์ (Mould Design) โดยตำแหน่งจับยึดชิ้นงานเพื่อตรวจสอบ (Datum Point) เกิดการเคลื่อนตัวออกจากจุดกำหนด (Datum Line) ซึ่งกระทบต่อการตัดชิ้นงานที่คลาดเคลื่อน

4. การทะลุ ข้อบกพร่องเกิดขึ้นกับกระบวนการอัดขึ้นรูปผ้าหลังคา คือ ชิ้นงานที่ผ่านกระบวนการอัดขึ้นรูปแล้ว เกิดการทะลุจากชั้นผิวของชิ้นงานด้านในซึ่ม หรือทะลุออกมาก ส่งผลต่อชิ้นงาน โดยมีสามารถที่จะนำกลับไปใช้งานต่อได้ ดังแสดงในรูปที่ 3.18



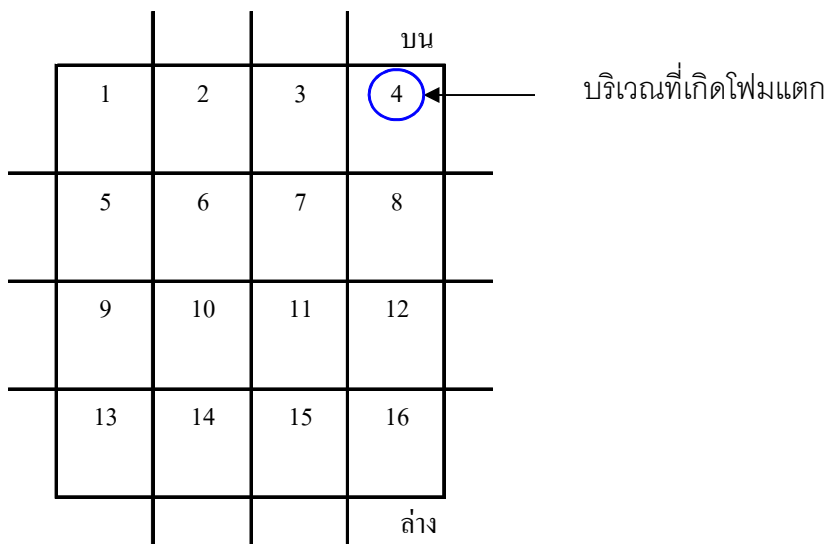
รูปที่ 3.18 ลักษณะข้อบกพร่องการทะลุ

ข้อบกพร่องทั้ง 4 หัวข้อที่สรุปมาข้างต้น มีประเด็นสำคัญลักษณะค่าเพื่อข้อกำหนดการผลิตสำหรับผลิตภัณฑ์ผ้าหลังคา ได้แก่ ข้อบกพร่องไฟมแตกเป็นหัวข้อหลัก อันเนื่องจากข้อบกพร่องอื่นๆ ส่วนใหญ่ไม่ได้เกิดขึ้นจากการกระบวนการอัดขี้นรูปโพลียูรีเทนไฟม พิจารณาจากแผนภาพพาเรโตเกิดปริมาณของเดียไฟมแตก ประมาณ 9.94% ปัญหาข้อบกพร่องดังกล่าวนี้ สามารถดำเนินการตามหลักการพัฒนาค่าเพื่อข้อกำหนดผลิตภัณฑ์ขี้นรูปอัดให้เหมาะสมสุด จากการผลิตผ้าหลังคาในกระบวนการอัดขี้นรูป มีเกณฑ์การพิจารณาค่าเพื่อข้อกำหนดการขี้นรูปอัดโพลียูรีเทนไฟม การเปรียบเทียบข้อมูลการอัดขี้นรูปของทางลูกค้ากำหนด กับข้อมูลด้านความหนาชั้นงานในตำแหน่งที่เกิดข้อบกพร่อง ซึ่งผู้ผลิตผ้าหลังภาณุณต้ม การแสดงความหนาชั้นงานผ้าหลังคา ก่อนการปรับปรุง นำข้อมูลเดิมมาเป็นพื้นฐานสำหรับการพัฒนาค่าเพื่อข้อกำหนดการผลิตขึ้นใหม่ ดังแสดงในตารางที่ 3.2

รุ่น	ด้านหน้า (มิลลิเมตร)		ด้านหลัง (มิลลิเมตร)		ค่าเพื่อ (มิลลิเมตร)
	ตำแหน่ง 1	ตำแหน่ง 4	ตำแหน่ง 13	ตำแหน่ง 16	
A	3.5		3.5		±0.3

ตารางที่ 3.2 ค่าเพื่อความหนาชั้นงานทางลูกค้ากำหนด

จากข้อกำหนดในตารางที่ 3.2 นั้น มีการระบุถึงตำแหน่งที่เกิดข้อบกพร่องไฟมแตกบ่อยครั้ง เพื่อให้ข้อมูลที่เก็บบันทึกมีความน่าเชื่อถือ ได้มีระบุตำแหน่งให้ทราบถึงการศึกษาข้อบกพร่องไฟมแตกในรายนั้นๆ รุ่น A กรณีศึกษาในโรงงานตัวอย่าง เพื่อเป็นแก่ไขปัญหาที่ตรวจพบประสังค์ ดังแสดงในรูปที่ 3.19



รูปที่ 3.19 ตำแหน่งที่เกิดข้อบกพร่องไฟมแตกสำหรับรายนั้นที่ศึกษา

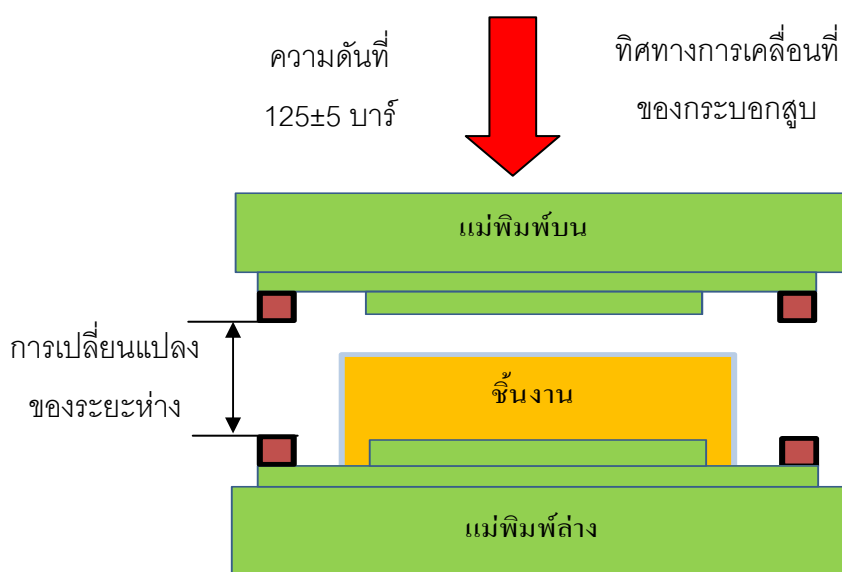
### 3.6 ศึกษาสาเหตุของปัญหาที่ทำให้เกิดข้อบกพร่องโฟมแทก

จากการจัดลำดับแผนภูมิพาราโตข้อบกพร่องโฟมแทกที่เกิดขึ้นมีทั้งหมด 69 เบอร์เซ็นต์ ซึ่งอยู่ในกระบวนการอัดขึ้นรูปชิ้นงานเป็นส่วนใหญ่ จึงได้มีการศึกษาถึงสาเหตุที่เกิดขึ้น ดังนี้

การศึกษาปัจจัยที่เกี่ยวข้องกับข้อบกพร่องโฟมแทกนั้น นำข้อมูลที่ได้รับการบันทึกจากโรงงานตัวอย่างมาดำเนินการวิเคราะห์ ได้แก่ ข้อมูลความดันเครื่องจักร ระยะการสักหรือแม่พิมพ์บีเวลสต็อก เปอร์ และระยะห่างการอัดขึ้นรูปชิ้นงานผ้าหลังคา สามารถศึกษาว่าปัจจัยทั้งหมดส่งผลต่อการเกิดของเสียโฟมแทกมากน้อยเพียงใด โดยมีการแบ่งปัจจัยที่เป็นสาเหตุได้ดังนี้

#### 3.6.1 สาเหตุจากความดันอัดของเครื่องจักร

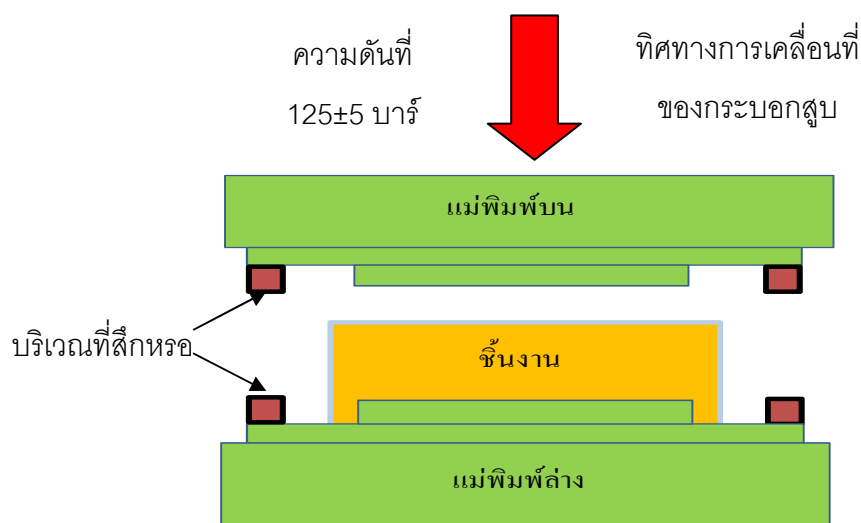
จากการผลิตชิ้นงานผ้าหลังคาในแต่ละรุ่นจะมีการปรับตั้งความดันอัดขึ้นรูปที่แตกต่างกันไปขึ้นอยู่กับลักษณะแม่พิมพ์หรือชิ้นงาน ซึ่งจากการศึกษาข้อมูลความสัมพันธ์ระหว่างความดันอัดเครื่องจักรกับความหนาชิ้นงาน โดยศึกษาถึงความดันอัดเครื่องจักรที่ปรับเปลี่ยนมีผลต่อการแตกของโฟมผ้าหลังคามากน้อยแค่ไหน ค่ามาตรฐานความดันเครื่องจักรที่กำหนดจากทางโรงงานตัวอย่าง เท่ากับ  $125\pm5$  บาร์ ดังแสดงในรูปที่ 3.20



รูปที่ 3.20 สาเหตุความดันอัดขึ้นรูปที่ส่งผลต่อโฟมแทก

### 3.6.2 สาเหตุจากการสึกหรอของแม่พิมพ์บิวेनสต็อปเบอร์

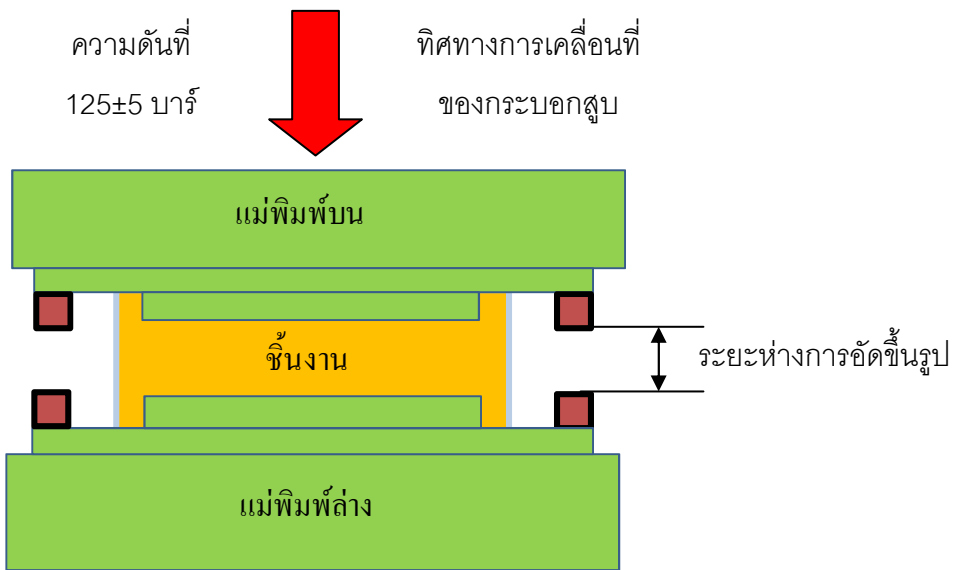
ข้อมูลความสัมพันธ์ระหว่างระยะเวลาการสึกหรอของสต็อปเบอร์กับจำนวนครั้งสะสมการอัดขึ้นรูป เป็นการศึกษาถึงระยะเวลาการสึกหรอของสต็อปเบอร์ มีผลต่อการแตกของโฟมผ้าหลังมากน้อยแค่ไหน โดยค่ามาตรฐานจำนวนครั้งการอัดขึ้นรูปมาตรฐานที่มีการทดลองจากโรงงานตัวอย่างเท่ากับ 2,000 ครั้งต่อปรับแต่งแม่พิมพ์บิวेनสต็อปเบอร์ (ซึ่งไม่มีการปรับเปลี่ยนหรือปรับปรุงแม่พิมพ์) การสึกหรอของแม่พิมพ์จากการอัดขึ้นรูปบ่อยครั้งบิวेनสต็อปเบอร์ทั้งด้านบนและด้านล่างนั้น ดังแสดงในรูปที่ 3.21 มีผลต่อระยะเวลาการอัดขึ้นรูปผ้าหลังค่าที่เปลี่ยนแปลงไป และส่งผลกระทบโดยตรงต่อข้อบกพร่องโฟมแตก



รูปที่ 3.21 สาเหตุการสึกหรอของแม่พิมพ์ที่ส่งผลต่อเสียโฟมแตก

### 3.6.3 สาเหตุจากระยะห่างการอัดขึ้นรูปชิ้นงาน

จากระบวนการอัดขึ้นรูปมีส่วนเกี่ยวข้องกับสาเหตุการเกิดโฟมแตกมากสุด อันเนื่องจากเป็นการอัดขึ้นรูป (Headlining Forming) เพื่อให้ได้ผลิตภัณฑ์ผ้าหลังค่า ซึ่งการผลิตผ้าหลังค่าให้ได้ตามขนาดที่ลูกค้ากำหนดนั้นควรมีการกำหนดระยะห่างที่เหมาะสม เพื่อการระบุการผลิตได้ผ้าหลังค่าที่มีคุณภาพ การศึกษาสาเหตุได้ข้อมูลความสัมพันธ์ระหว่างระยะเวลาการอัดขึ้นรูปกับความหนาชิ้นงานผ้าหลังค่า เป็นการพิจารณาความหนาชิ้นงาน ซึ่งมีผลกระทบต่อข้อบกพร่องโฟมแตกมากน้อยเพียงใด มีมาตรฐานความหนาชิ้นงานกำหนด เท่ากับ  $3.5 \pm 0.3$  มิลลิเมตร ดังแสดงในรูปที่ 3.22



รูปที่ 3.22 สาเหตุระยะห่างการอัดขึ้นรูปที่ส่งผลต่อโฟมแทก

จากรูปที่ 3.22 ระยะห่างการอัดขึ้นรูปจะมีแนวโน้มไปในทิศทางบวก (ระยะห่างการอัดขึ้นรูปกว้างขึ้น) หรือทิศทางลบ (ระยะห่างการอัดขึ้นรูปแคบลง) นั้นมีโอกาสที่ทำให้เกิดของเสียได้เสมอ การบีบบอกร้าวว่าโฟมแทกมากหรือน้อยเพียงใด ความมีการทดลองเพื่อหาข้อสรุปของสาเหตุนี้ซึ่งจะกล่าวในบทถัดไป

จากการระบุสาเหตุของปัญหาพบว่าแต่ละปัจจัยที่ทำให้เกิดข้อบกพร่องโฟมแทก ซึ่งไม่สามารถทำการทดลองปัจจัยทั้งหมดได้แต่อย่างไรก็ได้ ปัจจัยอันเป็นสาเหตุทำให้เกิดของเสียนั้น สามารถจำแนกได้เป็น 2 ประเภท คือ

1. ปัจจัยที่ได้ควบคุม
2. ปัจจัยที่ไม่ได้ควบคุม

จากการพิจารณาปัจจัยต่างๆแล้วพบว่า ปัจจัยค่าไฟฟาระยะห่างการอัดขึ้นรูปชิ้นงานซึ่งสอดคล้องกับของเสียโฟมแทก หลังจากผ่านกระบวนการอัดขึ้นรูปแล้วนั้น เกิดเป็นปัจจัยเดียวที่ไม่ได้ควบคุมเนื่องจากไม่ได้เคยทำการวิเคราะห์หาความสัมพันธ์ระหว่างการอัดขึ้นรูปที่เหมาะสม กับของเสียโฟมแทกอย่างจริงจังมาก่อน ซึ่งเป็นปัจจัยที่ส่งผลกระทบโดยตรง ดังนั้นจึงให้ความสำคัญ และเป็นที่มาของงานวิจัยนี้

สำหรับปัจจัยที่ได้นำมาควบคุมแล้ว และไม่ได้เลือกมาทำการวิจัยในครั้งนี้สรุปได้ดังนี้

### ตารางที่ 3.3 รายละเอียดของสาเหตุแห่งปัจจัยที่ก่อให้เกิดปัญหาไฟมแตก

ปัจจัย	ตัวแปรต้น	ตัวแปรตาม	ควบคุมได้	ควบคุมไม่ได้
1.ความดันอัดเครื่องจักร	ความดันอัดเครื่องจักร	ความหนาชี้นงานหลังจากอัดขึ้นรูป	อุณหภูมิสำหรับทดลองเท่ากับ $135\pm5$ °C ระยะเวลาการอัดขึ้นรูปสำหรับทดลอง เท่ากับ $35\pm5$ วินาที	ความหนาชี้นงานหลังจากการปั๊บ ความดันขึ้นเรื่อยๆ เพื่อคุณภาพเนื่องสำหรับกำหนดค่าเพื่อระยะห่างการอัดขึ้นรูป
2.ระยะการสีกหรอ	ระยะการสีกหรอแม่พิมพ์บริเวณสต็อกเบอร์	ความหนาชี้นงานหลังจากอัดขึ้นรูป	อุณหภูมิสำหรับทดลองเท่ากับ $135\pm5$ °C ระยะเวลาการอัดขึ้นรูปสำหรับทดลอง เท่ากับ $35\pm5$ วินาที ความดันอัดขึ้นรูปสำหรับทดลอง เท่ากับ $125\pm5$ บาร์	ความหนาชี้นงานหลังจากการอัดขึ้นรูปไปเรื่อยๆ เพื่อคุณภาพเนื่องระยะการสีกหรอสำหรับกำหนดค่าเพื่อระยะห่างการอัดขึ้นรูป
3.ระยะห่างการอัดขึ้นรูป	ระยะห่างระหว่างแม่พิมพ์	ความหนาชี้นงานหลังจากอัดขึ้นรูป	อุณหภูมิสำหรับทดลองเท่ากับ $135\pm5$ °C ระยะเวลาการอัดขึ้นรูปสำหรับทดลอง เท่ากับ $35\pm5$ วินาที ความดันอัดสำหรับทดลอง เท่ากับ $125\pm5$ บาร์	ความหนาชี้นงานหลังจากได้มีการอัดขึ้นรูป และนำไปกำหนดค่าเพื่อระยะห่างการอัดขึ้นรูปที่เหมาะสม

			จำนวนครั้งสะสมในการอัดขึ้นรูปที่ 4,000 ครั้งต่อการนำร่องวิเคราะห์ประเมิน	
--	--	--	--	--

### 3.7 ผลกระทบของปัญหากรณีศึกษา

1. สูญเสียเวลาในการปฏิบัติงานของพนักงานในไลน์การผลิต สำหรับการมาปฏิบัติงานโดยครั้ง เพื่อทดสอบของเดียวกันจากข้อบกพร่องต่างๆ เช่น ข้อบกพร่องไฟฟ้า ไฟฟ้าเปลี่ยนค่า เป็นต้น

2. เกิดค่าใช้จ่ายสำหรับผลิตงานชั่วคราวเพื่อมาทดสอบส่วนที่เกิดข้อบกพร่องไฟฟ้าแต่ไฟฟ้านิ่ม กาวหด และอื่นๆ ที่มีผลกระทบต่อการพัฒนาค่าเพื่อข้อกำหนดขึ้นรูปอัดโพลียูรีเทนไฟฟ้าที่เหมาะสมโดยส่วนใหญ่ค่าใช้จ่ายที่เพิ่มขึ้น มาจาก 3. ส่วนหลักๆ คือ ค่าแรง ค่าวัสดุและค่าใช้จ่ายต่างๆ เช่น ค่าน้ำ ค่าไฟ ค่าวัสดุและเปลือง เป็นต้น

3. ไม่สามารถดำเนินการส่งชิ้นงานแผ่นโพลียูรีเทนไฟฟ้าสำหรับกลุ่มตัวอย่าง (Sample size) ที่เกิดผลกระทบข้อบกพร่องไฟฟ้าไฟฟ้า ไฟฟ้านิ่ม กาวหด ข้อบกพร่องอื่นๆ กลับคืน (Claim) ไปยังผู้ผลิตชิ้นงานแผ่นโพลียูรีเทนไฟฟ้าได้ เนื่องจากผ่านกระบวนการอัดขึ้นรูปแล้ว และความรุนแรงเกิดขึ้นมาก จนไม่สามารถนำกลับมาปรับปรุงได้ (Rework) ทำให้เกิดค่าใช้จ่ายในการจัดเก็บหรือขนส่งเพื่อไปทำลาย

4. ส่งมอบสินค้าผ้าหลังคาไปยังลูกค้าไม่ทันกำหนด เนื่องจากมีวัสดุไม่เพียงพอ กับกำลังการผลิตผ้าหลังคา ซึ่งต้องมีการจ่ายวัสดุจากพัสดุเข้าไปทดสอบของที่เสียที่เกิดขึ้นในกระบวนการ

## บทที่ 4

### วิธีการดำเนินงานวิจัยพัฒนาข้อกำหนดการผลิต

การพัฒนาค่าเพื่อข้อกำหนดการขึ้นรูปอัดโพลียูเรเทนโฟมให้เหมาะสมกับกระบวนการผลิตผ้าหลังคานั้นจำเป็นต้องเก็บข้อมูลพื้นฐาน อันประกอบด้วย ปัจจัยที่เกิดขึ้นกับกระบวนการอัดขึ้นรูปโพลียูเรเทนโฟม ได้แก่ ระยะห่างการอัดขึ้นรูป ความดันเครื่องจักร ระยะการสึกหรอของสต็อกเปอร์ และความหนาของชิ้นงานโฟม ซึ่งจะสัมพันธ์กับระยะห่างการอัดขึ้นรูปชิ้นงานผ้าหลังค้า โดยปกติระยะการอัดขึ้นรูปที่ไม่เหมาะสมส่งผลต่อของเสียในกระบวนการผลิต การสร้างความสัมพันธ์ระหว่างระยะห่างการอัดขึ้นรูปกับของเสียโฟมแตก ความสัมพันธ์ ระหว่างความดันเครื่องจักรกับของเสียโฟมแตก และ ความสัมพันธ์ระหว่างระยะการสึกหรอแม่พิมพ์ เพื่อให้การอัดขึ้นรูปผ้าหลังคานั้นเกิดคุณภาพดีที่สุดเมื่อเปรียบเทียบกับความหนาชิ้นงานผ้าหลังค้า ดังนั้นระยะการอัดขึ้นรูปชิ้นงานที่เหมาะสมมีระดับความรุนแรงของเสียที่ยอมรับได้ มีการปรับปรุงแม่พิมพ์หรืออุปกรณ์เสริมเข้ามาเพื่อสนับสนุนการทดลองนี้ พร้อมนำเทคนิควิเคราะห์ค่าเพื่อด้วยใช้เทคนิควิธีการต่างๆ เช่น รูปแบบทางสถิติ (Statistics) แบบ Root Sum Square(RSS) หรือ Dynamic Root Sum Square (DRSS) ซึ่งวิธีการเหล่านี้สามารถทำนายของเสียที่เกิดขึ้นได้ โดยมีการพัฒนาค่าเพื่อข้อกำหนดการผลิตที่ยอมรับได้จากการทดลองในแต่ละวิธี ทั้งยังมีการปรับแต่งบริเวณแม่พิมพ์ใหม่ เพื่อให้เกิดการยอมรับในการพัฒนาค่าเพื่อข้อกำหนดการผลิต โดยการกำหนดระยะการอัดขึ้นรูปใหม่นั้น ความมีการวิเคราะห์ถึงปัจจัยดังกล่าวมาข้างต้นให้ครอบคลุม ทำการปรับแต่งบริเวณแม่พิมพ์ ควบคู่กับการจัดทำแบบจำลองระยะห่างการอัดขึ้นรูปในระดับต่างๆ เพื่อให้สามารถกำหนดค่าเพื่อสำหรับการทดลองปฏิบัติจริง และเก็บผลการทดลอง หลังจากนั้นจึงทำการสรุปผลแบบจำลองปัญหา กับของเสียข้อบกพร่องโฟมแตก โดยพิจารณาการปฏิบัติงานจริงและผลการทดลองจากของเสียเดิมเปรียบเทียบกับของเสียใหม่

#### 4.1 การจัดเตรียมเครื่องมือสำหรับการทดลอง

##### 1. แม่พิมพ์

การจัดเตรียมแม่พิมพ์เพื่อใช้สำหรับการทดลองมีขั้นตอนดังนี้

1. ทำความสะอาดแม่พิมพ์ก่อนล่วงหน้าการทดลอง 1 วัน เพื่อทำความสะอาดคราบกาวซึ่งติดบริเวณผิวของแม่พิมพ์ให้สะอาดก่อนดำเนินการผลิต

2. จัดเก็บแม่พิมพ์ในห้องเก็บชิ้นส่วนอุปกรณ์ ป้องกันฝุ่นและอันตรายจากการปฏิบัติงานในส่วนอื่นๆ

3. การติดตั้งแม่พิมพ์ด้านบน และด้านล่างเข้ากับเครื่องกดขนาด 1,600 ตัน มีคุบคุมปัจจัยแวดล้อม ดังนี้

- อุณหภูมิแม่พิมพ์ควบคุมความร้อน  $135 \pm 5$  °C
- ระยะเวลากดขึ้นรูป  $35 \pm 5$  วินาที (ควบคุมจากนาฬิกาจับเวลา)
- ความดันมีการควบคุม 120-130 บาร์ แต่เนื่องจากความดันการอัดขึ้นงานม

ผลกระทบต่อการอัดขึ้นรูป มีการทดลองเพื่อหาข้อมูลความดันเหมาะสมสำหรับการนำมาปฏิบัติ

4. นำเครื่องมือสำหรับตรวจวัดความร้อนของแม่พิมพ์ก่อนการผลิต เพื่อลดผลกระทบในกระบวนการผลิต ซึ่งมีผลจากการขยายตัวของแม่พิมพ์และขึ้นงาน ดังแสดงในรูปที่ 4.1



รูปที่ 4.1 เครื่องมือตรวจวัดความร้อนแม่พิมพ์

5. ตรวจสอบคุณสมบัติของวัสดุแม่พิมพ์ก่อนการทดลอง เพื่อยืนยันความถูกต้องสำหรับอุปกรณ์ที่นำมาใช้ทดลอง และข้อมูลที่ถูกเก็บรวบรวมมีความน่าเชื่อถือเพียงพอ จากคุณสมบัติแม่พิมพ์ตรวจสอบได้จากใบ Certificate จากโรงงานตัวอย่าง

## คุณสมบัติทั่วไปของ $\text{Al}_2\text{O}_3$

1. ความต้านทานการสึกกร่อนสูง (High Wear Resistance)

2. ความแข็งแรงสูง (High Strength)

3. การนำไฟฟ้าดี (Good Electrical Conductivity)

4. จุดหลอมละลายสูง (High Melting Point)

Density	=	4250-4300	$\text{Kg/m}^3$
Vickers Hardness at 20°C	=	2000-2200	Gpa
Young's Modulus	=	400-490	Gpa
Transverse rupture stress	=	1100	Mpa
Coefficient of thermal expansion	=	7.5-8.0	$10^{-6}/\text{K}$
Thermal Conductivity	=	17	$\text{W/m.K}$
Electrical Resistivity	=	90	$10^{-6} \text{ ohm.m}$
Average grain size	=	1-3	Micron
Bending Strength: 3 point bending	=	780	Mpa
Bending Strength: 4 point bending	=	785	Mpa
Fracture Toughness: $K_{1c}$	=	4-4.5	$\text{Mpa.m}^{1/2}$

2. เครื่องวัดความหนาของแผ่นเหล็กของ หรือ Stopper เพื่อเป็นการป้องกัน  
วัสดุที่ผิดขนาดออกจาก การทดลอง ก่อนนำมาทดลองจริง      เครื่องมือที่นำมาใช้วัดความหนาจะมีความ  
ละเอียดของเครื่องมือวัดที่จุดทศนิยม 2 ตำแหน่ง ดังแสดงในรูปที่ 4.2



รูป 4.2 เครื่องมือวัดความหนาของแม่พิมพ์บริเวณสต็อกเปอร์

3. ไดโอดเกจวัดความหนาของชิ้นงาน (Thickness Gage) เริ่มวัดหลังจากชิ้นงานผ่านการอัดขึ้นรูป ชิ้นงาน เครื่องมือที่ใช้วัดความหนามีความละเอียด  $\pm 0.05$  มิลลิเมตร ดังแสดงในรูปที่ 4.3



รูปที่ 4.3 เครื่องมือวัดความหนาชิ้นงานผ้าหลังคา

การศึกษาปัจจัยที่เกี่ยวข้องกับข้อบกพร่องไฟมแตง โดยการนำข้อมูลที่ได้รับการบันทึกจากโรงงานตัวอย่างมาดำเนินการศึกษา ได้แก่ ความดันเครื่องจักรอัดขึ้นรูปชิ้นงาน ระยะการสักหรือแม่พิมพ์บริเวณสต็อปเปอร์ และระยะห่างการอัดขึ้นรูป ว่าปัจจัยใดส่งผลต่อของเสียไฟมแตงได้บ้าง

#### -ปัจจัยความดันอัดของเครื่องจักรที่ผลต่อความหนาชิ้นงาน

ศึกษาความสัมพันธ์ระหว่างความดันอัดเครื่องจักรกับระยะเวลาการอัดขึ้นรูป เป็นการศึกษาระยะเวลาการอัดขึ้นรูปชิ้นงาน ที่มีผลต่อการไฟมแตงมากน้อยแค่ไหน มาตรฐานความดันเครื่องจักรที่กำหนดจากทางโรงงานตัวอย่าง เท่ากับ  $125 \pm 5$  บาร์

#### -ปัจจัยระยะการสักหรือของแม่พิมพ์ที่มีผลต่อความหนาชิ้นงาน

ศึกษาความสัมพันธ์ระหว่างระยะการสักหรือของสต็อปเปอร์กับจำนวนครั้งที่สามารถอัดขึ้นรูป เป็นการศึกษาระยะ การสักหรือของแม่พิมพ์บริเวณสต็อปเปอร์ มีผลต่อการแตกของไฟมผ้าหลังคามากน้อยแค่ไหน

#### -ปัจจัยระยะห่างการอัดขึ้นรูปที่มีผลต่อความหนาชิ้นงาน

ศึกษาความสัมพันธ์ระหว่างระยะห่างการอัดขึ้นรูปที่มีผลต่อความหนาชิ้นงานและของเสียไฟมแตง ว่ามีผลกระทบมากน้อยเพียงใด โดยมาตรฐานความหนาชิ้นงานที่ลูกค้ากำหนด เท่ากับ  $3.5 \pm 0.3$  มิลลิเมตร

#### 4.2 ศึกษาความดันอัดเครื่องจักรที่มีผลต่อความหนาชิ้นงาน

1. เก็บรวมชิ้นงานจำนวน 30 ตัวอย่าง จากการปรับความดันตั้งแต่ 120 – 130 บาร์ โดยการกำหนดค่าคงที่ของอุณหภูมิการผลิตที่  $135 \pm 5^{\circ}\text{C}$  และระยะเวลาการอัดชิ้นรูป  $35 \pm 5$  วินาที
2. นำเครื่องมือไดโอดเกจวัดความหนาชิ้นงานบริเวณที่เกิดฟองแตกจำนวน 30 ตัวอย่าง ทุกระยะความดันอัดเครื่องจักรตั้งแต่ 120-130 บาร์ ดังแสดงในรูปที่ 4.4



รูปที่ 4.4 ตำแหน่งการวัดความหนาชิ้นงานผ้าหลังคา

3. บันทึกค่าความหนาชิ้นงานเฉลี่ยที่มีผลต่อความดันเครื่องจักร ลงในตารางที่ 4.1

ความดันเครื่องจักร	ความหนาชิ้นงาน
(บาร์)	(มิลลิเมตร)
120	
121	
122	
123	
124	
125	
126	
127	
128	
129	
130	

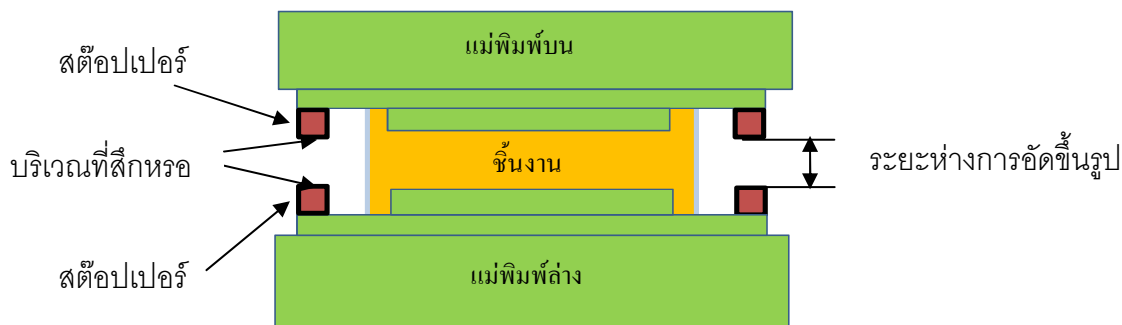
ตารางที่ 4.1 รูปแบบการเก็บข้อมูลความดันเครื่องจักรที่มีผลต่อความหนาชิ้นงาน

4. ข้อมูลในตารางที่ 4.1 นำไปปริเคราะห์ด้วยกราฟเพื่อดูความสัมพันธ์ระหว่างความดันเครื่องจักรกับความหนาเฉลี่ยของชิ้นงานผ้าหลังคาง

5. กำหนดเป็นเกณฑ์ในการปรับตั้งความดันเครื่องจักร ก่อนมีการทดลองเพื่อหาระยะห่างการขัดขึ้นรูปผ้าหลังคาง

#### 4.3 ศึกษากระบวนการสีกหรอแม่พิมพ์ที่มีผลต่อความหนาชิ้นงาน

1. เก็บรวบรวมข้อมูลจำนวนครั้งการอัดขึ้นรูปสะสมจากกระบวนการผลิตจริง มีการตั้งขอบเขตจำนวนครั้งสะสมตั้งแต่ 500 – 5000 ครั้ง แสดงในตารางการเก็บข้อมูลจำนวนครั้งสะสมการอัดขึ้นรูปกับระยะเวลาการสีกหรอแม่พิมพ์ ดังแสดงในรูปที่ 4.5



รูปที่ 4.5 แสดงบริเวณการสีกหรอจากการอัดขึ้นรูปชิ้นงานหลังคาง

#### 2. บันทึกค่ากระบวนการสีกหรอที่ผลต่อความหนาเฉลี่ยชิ้นงาน ดังแสดงในตารางที่ 4.2

จำนวนครั้งสะสม	ระยะเวลาสีกหรอ	ความหนาชิ้นงานเฉลี่ย
คำระบุอัดขึ้นรูป(ครั้ง)	(มิลลิเมตร)	(มิลลิเมตร)
500		
1000		
1500		
2000		
2500		
3000		
3500		
4000		
4500		
5000		

ตารางที่ 4.2 รูปแบบการเก็บข้อมูลกระบวนการสีกหรอที่มีผลต่อความหนาชิ้นงาน

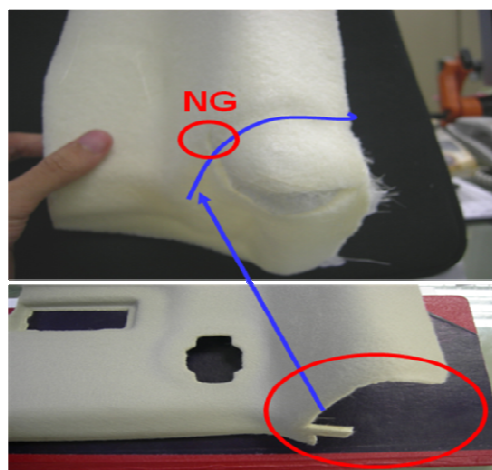
3. วิเคราะห์ข้อมูลด้วยกราฟเพื่อดูความสัมพันธ์ระหว่างจำนวนครั้งการอัดขึ้นรูปที่มีผลกระทบต่อ  
กระบวนการสีกหรอแม่พิมพ์กับความหนาชิ้นงานผ้าหลังคา

4. กำหนดเกณฑ์การบ่ำງุ้งรักษาด้วยการปรับเปลี่ยนรัศม เพื่อยืดอายุการใช้งานของแม่พิมพ์ (ระยะ  
การสีกหรอที่มีการบ่ำງุ้งรักษามีจำนวนครั้งสะสมการอัดขึ้นรูปที่ 2,000 ครั้ง)

#### 4.4 ศึกษาระยะห่างการอัดขึ้นรูปที่มีผลต่อความหนาชิ้นงาน

1. เก็บรวบรวมข้อมูลความหนาชิ้นงานที่เกิดข้อบกพร่องไฟมแต่กจากกลุ่มตัวอย่าง 50 กลุ่มตัวอย่าง  
แบบสุ่ม โดยการเลือกเฉพาะชิ้นงานที่เกิดไฟมแต่กเท่านั้นไม่แต่ละกลุ่ม

2. นำไดอะลเกจวัดความหนาชิ้นงานในบริเวณที่เกิดข้อบกพร่องไฟมแต่กในแต่ละกลุ่มตัวอย่าง  
จำนวนทั้งหมด 3 ครั้ง ดังแสดงในรูปที่ 4.6 (โดยอ้างอิงการวัดจากตำแหน่งที่เกิดบ่ออยครั้ง คือ ด้านขวาของ  
ชิ้นงานผ้าหลังคา)



รูปที่ 4.6 บริเวณการวัดความหนาของชิ้นงาน

3. บันทึกค่าระยะห่างการอัดขึ้นรูปชิ้นงานที่ผลต่อความหนาชิ้นงาน ดังแสดงในตารางที่ 4.3

กลุ่มตัวอย่างที่	จำนวนชิ้นงาน (ชิ้น)	ความหนาชิ้นงานเฉลี่ย (มิลลิเมตร)	ของเสียไฟมแทก (ชิ้น)
1	100		
2	100		
3	100		
4	100		
5	100		
⋮	100		
⋮	100		
⋮	100		
49	100		
50	100		

ตารางที่ 4.3 การเก็บข้อมูลระยะห่างการอัดขึ้นรูปที่มีผลต่อความหนาชิ้นงาน

4.นำข้อมูลจากตารางที่ 4.3 มาวิเคราะห์ด้วยกราฟ Scatter Diagram เพื่อจัดลำดับความรุนแรงของเสียไฟมแทก

5.บันทึกข้อมูลระดับความรุนแรงไฟมแทกที่มีผลต่อความหนาชิ้นงานเฉลี่ย ดังแสดงในตารางที่ 4.4

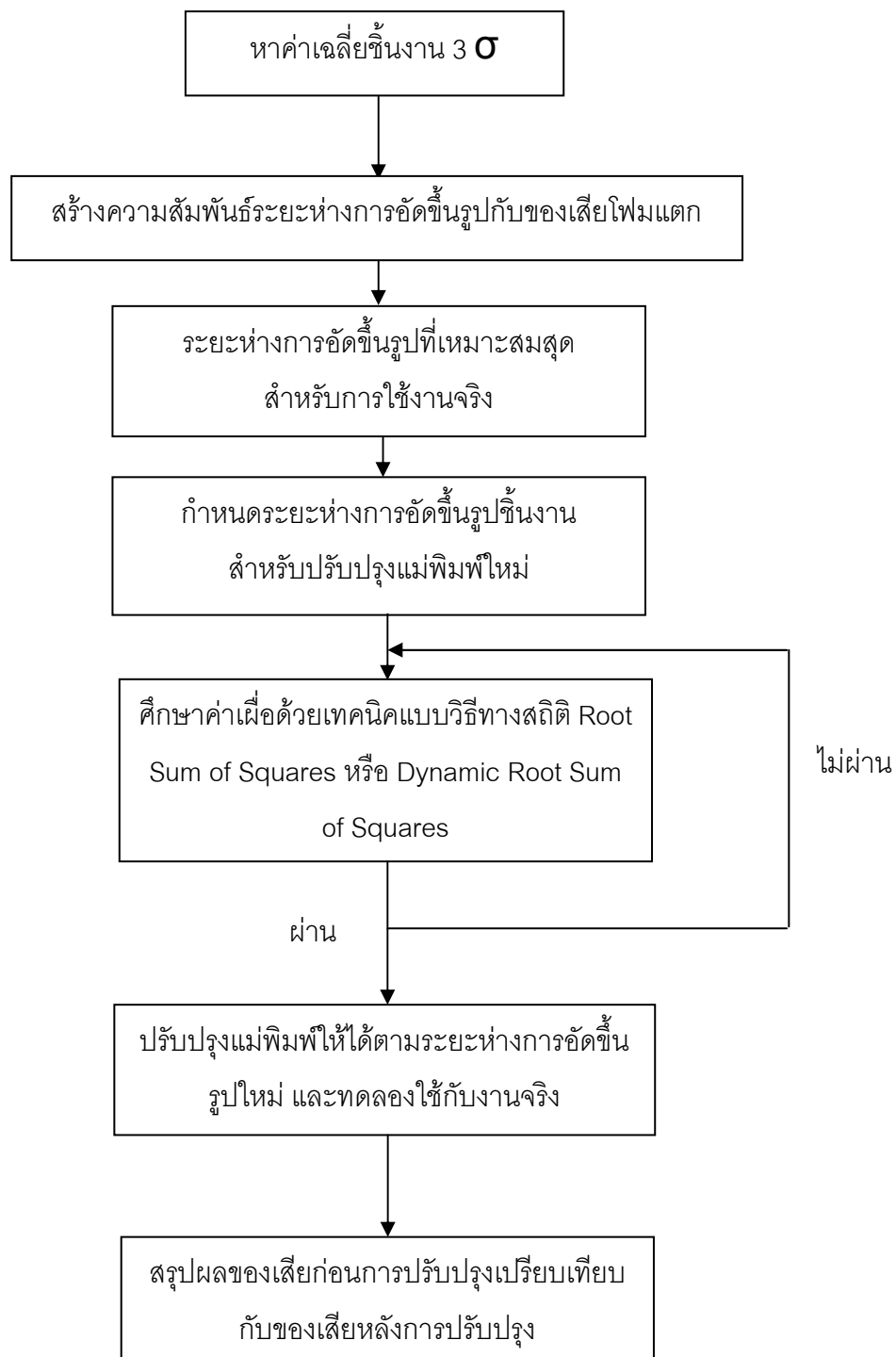
ระดับการแตกของชิ้นงาน	จำนวนไฟมแทก (ชิ้น)	ความหนาชิ้นงานเฉลี่ย (มิลลิเมตร)
ระดับ 1	0-2	
ระดับ 2	3-5	
ระดับ 3	6-9	
ระดับ 4	10-12	

ตารางที่ 4.4 รูปแบบการเก็บข้อมูลระดับความรุนแรงไฟมแทกที่มีผลต่อความหนาชิ้นงาน

6.เปรียบเทียบผลระดับความรุนแรงไฟมแทกระหว่างก่อนปรับปรุงและหลังการปรับปรุง

#### 4.5 การหาค่าเพื่อระบุห่างการอัดขึ้นรูปสำหรับลังค่า

การดำเนินการวิจัยเพื่อนำสู่การศึกษาเพื่อหาแนวทางแก้ปัญหาได้อย่างเป็นระบบ  
โดยปฏิบัติตามแต่ละลำดับขั้นตอนที่กำหนด ดังแสดงในรูปที่ 4.7



รูปที่ 4.7 แผนภาพแนวคิดเกี่ยวกับหลักการศึกษาค่าเพื่อการผลิต

#### 4.5.1 การหาค่าเฉลี่ยความหนาชิ้นงานผ้าหลังคา

สำหรับการหาค่าความหนาชิ้นงานเฉลี่ย แบ่งออกเป็น 5 ขั้นตอน ดังนี้

1. นำข้อมูลความหนาชิ้นงานก่อนการทดลองที่เกิดจากของเสียพิมแทกจำนวน 50 กลุ่มตัวอย่าง มาหาค่าความหนาชิ้นงานเฉลี่ย ความหนาชิ้นงานจะสัมพันธ์กับระยะห่างการอัดขึ้นรูป
2. หาค่าเบี่ยงเบนมาตรฐานความหนาชิ้นงานหลังผ่านการอัดขึ้นรูป ( $\sigma_T$ ) คำนวณโดยโปรแกรม Minitab 15

3.นำข้อมูลจากโปรแกรม Minitab 15 ไปทดสอบการกระจายตัวข้อมูลความหนาชิ้นงานผ้าหลังคา เป็นแบบการแจกแจงปกติหรือไม่

- 4.นำข้อมูลไปคำนวณหาค่าเฉลี่ย  $3\sigma$  โดยใช้สูตร ดังนี้

$$FG = \text{Average Thickness} \pm 3\sigma_{\text{Gap}}$$

ระยะห่างการอัดขึ้นรูปชิ้นงานกว้างสุด (FG.max) = Average Thickness +  $3\sigma_{\text{Gap}}$

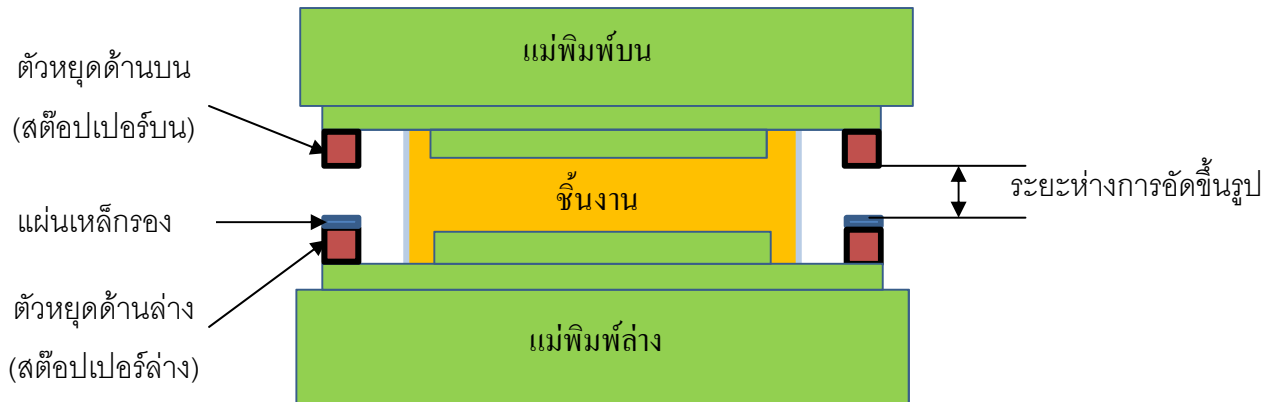
ระยะห่างการอัดขึ้นรูปชิ้นงานกลาง (FG.min) = Average Thickness

ระยะห่างการอัดขึ้นรูปชิ้นงานแคบสุด (FG.min) = Average Thickness -  $3\sigma_{\text{Gap}}$

5.กำหนดระยะห่างการอัดขึ้นรูปผ้าหลังคาจากการคำนวณใน ข้อ4 เพื่อนำไปทดลองกับการปฏิบัติงานจริง

#### 4.5.2 การสร้างความสัมพันธ์ระหว่างระยะห่างการอัดขึ้นรูปกับของเสียพิมแทก

ในการประกอบแม่พิมพ์เพื่ออัดขึ้นรูปชิ้นงาน ดังแสดงในรูปที่ 4.8 จำเป็นต้องกำหนดระยะการกดอัดชิ้นงานที่เหมาะสม ดังนั้นระยะห่างกดอัดเพื่อขึ้นรูปชิ้นงานผ้าหลังคาส่างผลต่อกระทบของเสียพิมแทก เรายังเรียกระยะนี้ว่า “ระยะห่างการอัดขึ้นรูปชิ้นงาน” (Forming Gap Piece: FG)



รูปที่ 4.8 ระยะห่างการอัดขึ้นรูปของแม่พิมพ์

สำหรับการหาความสัมพันธ์ระยะห่างการอัดขึ้นรูปกับของเสียฟอยม์แตก แบ่งออกเป็น 4 ขั้นตอน

1. นำค่าเฉลี่ยความหนาชิ้นงาน  $3\sigma$  จัดระดับการเพิ่มระยะห่างการการอัดขึ้นรูปจากแคบสุด ไปยัง มากสุด โดยพิจารณาจากการเพิ่มทีละน้อย หน่วยเป็นเปอร์เซ็นต์ (ขึ้นอยู่กับความเหมาะสมในแต่ละอันตรภาคชั้น)

2. คำนวณการหาอันตรภาคชั้นในแต่ละระยะการอัดขึ้นรูป จากสูตร

$$\text{ระยะห่างที่ปรับเพิ่มแต่ละอันตรภาคชั้น} = \pm (\text{ระยะห่างการอัดขึ้นรูปกว้างสุด} - \text{ระยะห่างการอัดขึ้นรูปกลาง} \times 100)/(\text{ระยะห่างการอัดขึ้นรูปค่ากลาง}) \dots \text{สมการ 4.1}$$

$$\text{ระยะห่างการอัดขึ้นรูปแต่ละอันตรภาคชั้น} = \text{ระยะห่างการอัดขึ้นรูปค่ากลาง} + \text{ระยะห่างที่ปรับเพิ่มแต่ละอันตรภาคชั้น} (\text{หน่วยเป็นเปอร์เซ็นต์})$$

3. บันทึกอันตรภาคชั้นของระยะห่างการอัดขึ้นรูปจากการคำนวณ ดังแสดงในตารางที่ 4.5

การเคลื่อนที่ของระยะห่างเฉลี่ย	ระยะห่างการอัดขึ้นรูป หน่วยเป็นมิลลิเมตร
3.342+ ขั้นที่ 4 + ระยะห่างปรับเพิ่มขั้นที่ 5 (%)	
3.342+ ขั้นที่ 3 + ระยะห่างปรับเพิ่มขั้นที่ 4 (%)	
3.342+ ขั้นที่ 2 + ระยะห่างปรับเพิ่มขั้นที่ 3 (%)	
3.342+ ขั้นที่ 1 + ระยะห่างปรับเพิ่มขั้นที่ 2 (%)	
3.342+ ขั้นที่ 0 + ระยะห่างปรับเพิ่มขั้นที่ 1 (%)	
3.342+ระยะห่างปรับเพิ่มขั้น 0 (%)	
3.342- ขั้นที่ 0 - ระยะห่างปรับเพิ่มขั้นที่ 1 (%)	
3.342- ขั้นที่ 1 - ระยะห่างปรับเพิ่มขั้นที่ 2 (%)	
3.342- ขั้นที่ 2 - ระยะห่างปรับเพิ่มขั้นที่ 3 (%)	
3.342- ขั้นที่ 3 - ระยะห่างปรับเพิ่มขั้นที่ 4 (%)	
3.342- ขั้นที่ 4 - ระยะห่างปรับเพิ่มขั้นที่ 5 (%)	

ตารางที่ 4.5 การเคลื่อนที่ของระยะห่างเฉลี่ย

#### 4. นำเป็นหลักเกณฑ์เพื่อใช้สำหรับทดลองกับกระบวนการผลิตจริง

##### 4.5.3 การหาระยะห่างการอัดขึ้นรูปที่เหมาะสมกับชิ้นงานผ้าหลังค่า

ระยะห่างการอัดขึ้นรูปเหมาะสมสมสุด จำเป็นต้องหาข้อมูลของเสียก่อนการปรับปูรุ่ง ที่ได้จากการอัดขึ้นรูปเดิม โดยมีการปรับแม่พิมพ์ให้มีความสัมพันธ์กับระยะห่างการอัดขึ้นรูปที่กำหนด ภายใต้สภาวะการทดลองของกลุ่มตัวอย่างที่เหมือนกัน จำนวนตัวอย่างเท่ากัน มีขั้นตอนการดำเนินการดังนี้

1. นำแม่พิมพ์ไปปรับแต่งระยะห่างการอัดขึ้นรูปก่อนการทดลองอัดขึ้นรูปชิ้นงานซึ่งทราบว่าโอกาสสำหรับระยะห่างการอัดขึ้นรูปชิ้นงานกว้างและแคบที่สุดจากหัวข้อ 4.3.2 กำหนดค่าระยะห่างการอัดขึ้นรูปโดยแบ่งตามอัตราการซั่นของระยะห่างการอัดขึ้นรูปที่เคลื่อนที่

2. นำแผ่นเหล็กรองมาตรฐานขนาดที่ต้องการปรับเพิ่มระยะการอัดขึ้นรูปจากค่ากลางขึ้นไปเป็นจำนวน 5 อัตราการซั่น ตามขนาดที่ปรับเพิ่มในตารางที่ 4.5 สำหรับในกรณีที่ปรับลดทำได้ 2 กราฟ

กรณีที่ 1 ปรับลดลงโดยการตั้งของเครื่องกดอัดขึ้นรูปซึ่งสามารถควบคุมได้ด้วยจากกว่าการเพิ่มแ芬เหล็กของ

กรณีที่ 2 ปรับแต่งแม่พิมพ์บริเวณสต็อกเปลือกโดยการขัดหรือเจียร์ในผิวด้านบนออกซึ่งได้ความเที่ยงตรงกว่ากรณีแรก

3. ติดตั้งแม่พิมพ์บน – ล่างเข้ากับเครื่องกดอัดขึ้นรูป (Forming Machine) และดันที่ได้จากการศึกษาความสัมพันธ์อยู่ระหว่างค่าความดันเท่าดับ 120-130 บาร์

4. ทำการอุ่นแม่พิมพ์ด้วยความร้อนด้วยอุณหภูมิ 130-140 องศาเซลเซียล วัดด้วยเกจวัดอุณหภูมิ

5. นำชิ้นงานผ้าหลังคาด่านกระบวนการอัดขึ้นรูปเป็นจำนวน 50 กลุ่มตัวอย่าง ในแต่ละอันตราชาคั้น เว้นแต่จะห่างการอัดขึ้นรูปที่มีค่าต่ำกว่า 3.2 มิลลิเมตร หรือ สูงกว่า 3.8 มิลลิเมตร ไม่นำมาพิจารณา เนื่องจากเกินข้อกำหนดทางลูกค้า

6. บันทึกผลจากการทำงานจริงในกระบวนการผลิตผ้าหลังคาด่าน เก็บข้อมูลอยู่ในรูปแบบของเสียงไฟฟ์แทก ดังแสดงในตารางที่ 4.6

ระยะเวลาอัดขึ้นรูป เท่ากับ ..... มิลลิเมตร

กลุ่มตัวอย่าง	ล็อต	จำนวนตัวอย่าง (ชิ้น)	จำนวนของเสียงไฟฟ์แทก (ชิ้น)	สัดส่วนของเสียงไฟฟ์แทก	PPM
1	15	100			
2	2	100			
3	5	100			
4	5	100			
5	11	100			
6	5	100			
7	4	100			
8	20	100			
9	15	100			
10	14	100			

ตารางที่ 4.6 รูปแบบการบันทึกข้อมูลของเสียงไฟฟ์แทก

7. นำชื่นงานสัดส่วนไฟมแตกจากกลุ่มตัวอย่างทั้งหมด 50 กลุ่มตัวอย่าง ในและอันตรภาค  
ชั้นมาวัดหาความหนาชื่นงานเฉลี่ยด้วยเครื่องวัดไดออลเกจ การเลือกกลุ่มตัวอย่างเพื่อวัดหาความ  
หนาเฉลี่ยชื่นงาน แต่ละระยะห่างการอัดขึ้นรูปที่เหมาะสมสมสุด

8. บันทึกความหนาชื่นงานเฉลี่ยในระยะห่างการอัดขึ้นรูปที่เหมาะสมสมสุด ทั้งหมด 50 กลุ่ม  
ตัวอย่าง แสดงในตารางที่ 4.7

กลุ่มตัวอย่างที่	จำนวนชื่นงาน (ชิ้น)	ความหนาชื่นงานเฉลี่ย (มิลลิเมตร)	ของเสียไฟมแตก (ชิ้น)
1	100		
2	100		
3	100		
4	100		
5	100		
⋮	100		
⋮	100		
⋮	100		
49	100		
50	100		

ตารางที่ 4.7 รูปแบบการบันทึกความหนาชื่นงานเฉลี่ยที่มีผลต่อไฟมแตกหลังปรับปรุง

9. นำข้อมูลความหนาชื่นงานเฉลี่ยไปคำนวณเพื่อให้ระยะห่างค่าเฉลี่ยการอัดขึ้นรูปที่  
เหมาะสม ด้วยวิธีแบบ Root Sum of Squares และ Dynamic Root Sum of Squares

## 4.6 ศึกษาค่าเพื่อระยะห่างการอัดขึ้นรูปด้วยเทคนิคต่างๆ

### 4.6.1 รูปแบบคำนวณด้วยวิธีแบบ Root sum of squares

การคำนวณระยะห่างการอัดขึ้นรูปด้วยวิธี Root Sum of Squares มีขั้นตอนการดำเนินงานดังนี้

1. เก็บรวบรวมข้อมูลความหนาชิ้นงานเฉลี่ยหลังการปรับปูงที่เกิดจากไฟฟ้า (ระยะห่างการอัดขึ้นรูปที่เหมาะสมสุดกว่าทุกระดับของระยะห่างการอัดขึ้นรูปผ้าหลังคา) จากจำนวนการทดลองทั้งหมด 50 กลุ่มตัวอย่าง

2. นำข้อมูลค่าเพื่อจุดสูงสุดและต่ำสุดของความหนาชิ้นงานเฉลี่ยหลังการปรับปูง มาคำนวณในสูตร RSS ดังแสดงในสมการที่ 4.2

$$\text{ค่าความแปรปรวน } (\sigma^2) = (\text{Tolerance}/3C_p)^2 \quad \text{สมการที่} ..... 4.2$$

เมื่อ  $C_p = 1$  สำหรับระยะห่างการอัดขึ้นรูปที่ยอมรับได้ที่  $\pm 3\sigma$

การคำนวณค่าเพื่อระยะห่างการอัดขึ้นรูป

$$\sigma_{\text{thickness}} = \sqrt{\sum(\text{Variance})}$$

$$\text{ค่าเพื่อระยะห่างการอัดขึ้นรูป} = \pm 3\sigma$$

3. บันทึกค่าเพื่อระยะห่างการอัดขึ้นรูปหลังปรับปูงเปรียบเทียบกับก่อนการปรับปูง ดังแสดงในตารางที่ 4.8

ระยะห่างการอัดขึ้นรูปเดิม			ระยะห่างการอัดขึ้นรูปใหม่		
ขนาดกลาง	ค่าเพื่อบน	ค่าเพื่อล่าง	ขนาดกลาง	ค่าเพื่อบน	ค่าเพื่อล่าง
มิลลิเมตร	มิลลิเมตร	มิลลิเมตร	มิลลิเมตร	มิลลิเมตร	มิลลิเมตร

ตารางที่ 4.8 รูปแบบค่าเพื่อระยะห่างการอัดขึ้นรูปก่อนและหลังปรับปูง

4. นำค่าเพื่อระยะห่างการอัดขึ้นรูปหลังการปรับปูรุ่งไปใช้ในกระบวนการผลิตจริงในโรงงานตัวอย่าง

#### 4.6.2 รูปแบบคำนวณด้วยวิธีการ Dynamic Root Sum of Squares

การคำนวณระยะห่างการอัดขึ้นรูปด้วยวิธี Root Sum of Squares มีขั้นตอนการดำเนินงานดังนี้

1. เก็บรวบรวมข้อมูลความหนาชิ้นงานเฉลี่ยหลังการปรับปูรุ่งที่เกิดจากโฟมแทก (ระยะห่างการอัดขึ้นรูปที่เหมาะสมสมสุดกว่าทุกระดับของระยะห่างการอัดขึ้นรูปผ้าหลังคา) จากจำนวนการทดลองทั้งหมด 50 กลุ่มตัวอย่าง

2. นำข้อมูลค่าเพื่อจุดสูงสุดและต่ำสุดของความหนาชิ้นงานเฉลี่ยหลังการปรับปูรุ่ง มาคำนวณในสูตร RSS ดังแสดงในสมการที่ 4.3

$$\text{ค่าความแปรปรวน } (\sigma^2) = (\text{Tolerance}/3C_{pk})^2 \quad \text{สมการที่} ..... 4.3$$

เมื่อ  $C_{pk} = 1.5$  สำหรับระยะห่างการอัดขึ้นรูปที่ยอมรับได้ที่  $\pm 3\sigma$

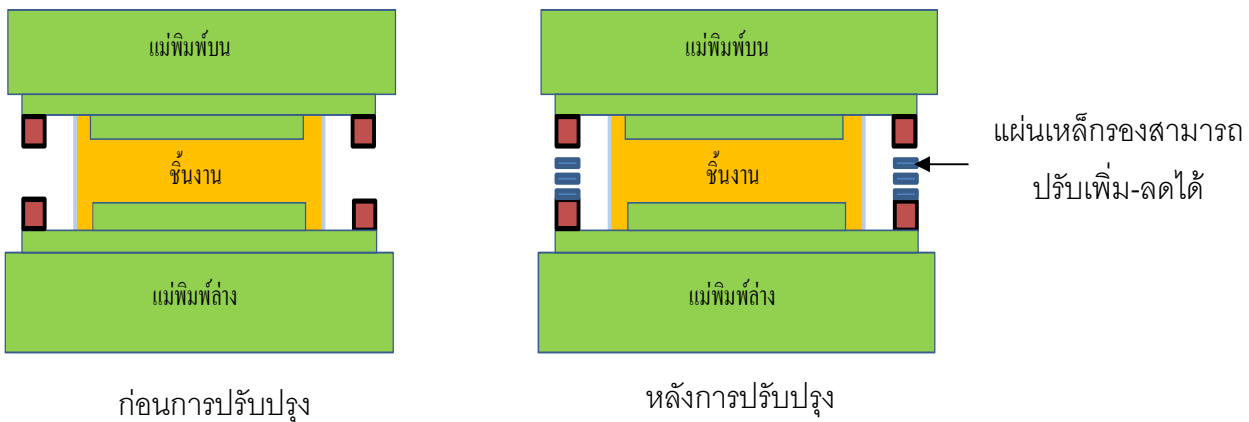
การคำนวณค่าเพื่อระยะห่างการอัดขึ้นรูป

$$\sigma_{\text{thickness}} = \sqrt{\sum(\text{Variance})}$$

$$\text{ค่าเพื่อระยะห่างการอัดขึ้นรูป} = \pm 3\sigma$$

#### 4.7 การสรุปของเสียงโฟมแทกก่อนปรับปูรุ่งเบรียบเทียบกับหลังการปรับปูรุ่ง

- ลักษณะการศึกษาค่าเฉลี่ยหลักการวิเคราะห์ โดยการเก็บข้อมูลในแต่ละ ตำแหน่ง ระหว่างความหนาเดิมที่มีแผ่นอลูมิเนียมรองบริเวณสต็อกเปื้อร์ด้านล่าง กับอีกลักษณะหนึ่งเป็นความหนาใหม่ที่มีแผ่นเหล็กรองบริเวณสต็อกเปื้อร์ด้านล่าง เช่นกัน แต่สามารถปรับเปลี่ยนค่าความเพื่อโดยปรับแต่ง แผ่นเหล็กมากขึ้น หรือน้อยลงขึ้นอยู่กับผลลัพธ์ของการทดลอง ดังแสดงในรูปที่ 4.9



รูปที่ 4.9 การเปรียบเทียบลักษณะการอัดขึ้นรูปชิ้นงาน ก่อน และ หลังการปรับปูน

-ลักษณะการพิจารณาดัชนีชี้วัดความสามารถของกระบวนการหลักการวิเคราะห์เพื่อสังเกต

ความสามารถของกระบวนการผลิต ทั่วไปของงานผลิตชิ้นส่วนรถยนต์จะอยู่ที่ค่าประมาณ  $3\sigma$  หรือ ดัชนีชี้วัดความสามารถของกระบวนการ ( $Cpk$ ) เท่ากับ 1.00 ซึ่งจะยอมรับได้ในกระบวนการผลิตชิ้นส่วนรถยนต์ ซึ่งจากการคำนวณค่า  $Cpk$  สามารถดำเนินการโดยบันทึกข้อมูลและประมวลผลโดยโปรแกรม Minitab15 แล้วมีการเปรียบเทียบกันระหว่างกราฟที่เกิดขึ้นด้วยความหนาเดิม และความหนาใหม่ กล่าวสรุปผลการ

-ลักษณะการพิจารณาความแปรปรวนของกระบวนการผลิต หลักการวิเคราะห์ เพื่อสังเกต

พบว่าโดยปกติค่าความแปรปรวนขึ้นอยู่กับระดับของเสียงไฟมแทกที่เปลี่ยนแปลงไปตามระยะการอัดขึ้นรูป มาตรฐานระยะการอัดขึ้นรูปจะมีค่าอยู่ที่  $3.5 \pm 0.3$  มิลลิเมตร ซึ่งก่อนการทดลองเกิดของเสียงเกินกว่าระดับที่ยอมรับได้ คือ 20,000 ชิ้นในล้านชิ้น ตามเป้าหมายคุณภาพที่โรงงานตัวอย่างกำหนดไว้ (Quality Target) ซึ่งโดยการบันทึกข้อมูลก่อนการทดลองที่ได้เกิดจากการประมวลผลในโปรแกรมสำเร็จรูป Minitab 15

จากข้อมูลมีการดำเนินการสรุปผลของเสียงไฟมแทกหลังการปรับปูนด้วยวิธีการดังนี้

1. นำข้อมูลค่าความหนาชิ้นงานเฉลี่ย ค่าเบี่ยงเบนมาตรฐาน ไปคำนวณหาความสามารถของกระบวนการโดยเปรียบเทียบกับค่าเพื่อความหนาชิ้นงานของลูกค้า เท่ากับ  $3.5 \pm 0.3$  มิลลิเมตร

2. นำข้อมูลที่ได้ไปคำนวณในโปรแกรม Minitab 15 เพื่อแสดงความสามารถด้านศักยภาพของกระบวนการ ( $C_p$ ) และ ความสามารถด้านสมรรถนะภาพของกระบวนการ หรือใช้สูตรคำนวณดังนี้

$$C_p = (USL - LSL)/6\sigma$$

เมื่อ  $USL =$  ขอบเขตบนสุดที่ยอมรับได้

$LSL =$  ขอบเขตต่ำสุดที่ยอมรับได้

3. บันทึกข้อมูลความสามารถของกระบวนการก่อนการปรับปรุงเบรียบเทียบกับหลังการปรับปรุง ดังแสดงในตารางที่ 4.9

หัวข้อ	ก่อนการปรับปรุง	หลังการปรับปรุง
$n$		
$\bar{x}$		
S.D within		
$C_p$		
$C_{pk}$		

ตารางที่ 4.9 รูปแบบการบันทึกความสามารถของกระบวนการเบรียบเทียบก่อนและหลังปรับปรุง

## บทที่ 5

### สรุปผลการดำเนินงานวิจัย

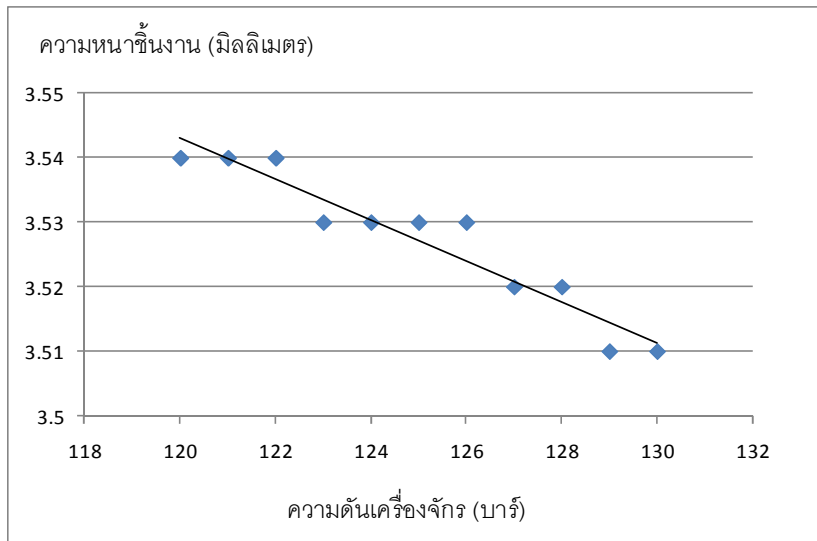
#### 5.1 ผลความสัมพันธ์ระหว่างความดันด้านเครื่องจักรที่มีผลต่อความหนาชี้นงาน

การเก็บรวบรวมข้อมูลเพื่อศึกษาหาความสัมพันธ์ระหว่างความดันเครื่องจักรกับความหนาชี้นงานผ้าหลังคา พบว่าความดันเครื่องจักรลดลงมีผลกระทบต่อความหนาชี้นงานที่เพิ่มขึ้น การกำหนดค่าความดันที่เหมาะสม ศึกษาจากจะห่างการอัดขึ้นรูปผลิตจริงเพื่อทำให้การทดลองผลิตชิ้นงานผ้าหลังคามีของเสียไฟมแตกน้อยที่สุด ดังแสดงในตารางที่ 5.1

ความดันเครื่องจักร (บาร์)	ความหนาชี้นงาน (มิลลิเมตร)
120	3.54
121	3.54
122	3.54
123	3.53
124	3.53
125	3.53
126	3.53
127	3.52
128	3.52
129	3.51
130	3.51

#### ตารางที่ 5.1 ผลข้อมูลระหว่างความดันเครื่องจักรที่มีผลต่อความหนาชี้นงาน

ผลดังแสดงในตารางที่ 5.1 นั้นเป็นข้อมูลที่ได้จากการบันทึกค่าจากการทดลองผลิตชิ้นงานในแต่ละความดันเครื่องจักร พบว่ามาตรวจสอบสำหรับความดันเครื่องจักรขณะอัดขึ้นรูปชิ้นงาน เท่ากับ  $125 \pm 5$  บาร์ ซึ่งแสดงค่าความหนาชี้นงานอยู่ในช่วงที่ไม่ส่งผลกระทบใดๆและต่อข้อบกพร่องไฟมแตก จึงบ่งบอกถึงการนำค่ามาตรวจสอบความดันมาประยุกต์ใช้กับการทดลองจริงและแสดงให้เห็นถึงความสัมพันธ์ระหว่างความดันอัดเครื่องจักรกับความหนาชี้นงาน ดังแสดงในรูปที่ 5.1



รูปที่ 5.1 กราฟความสัมพันธ์ความดันเครื่องจักรที่มีผลต่อความหนาชี้นงาน

จากรูปที่ 5.1 แสดงความสัมพันธ์ระหว่างความดันเครื่องจักรกับความหนาชี้นงาน พ布ว่าความดันในกระบวนการผลิตมีการเปลี่ยนแปลงตามลักษณะงาน ศึกษาจากข้อมูลความดันเครื่องจักรมีค่าเพิ่มขึ้น ส่งผลต่อความหนาชี้นงานลดลง และกระทบโดยตรงไปต่อข้อบกพร่องของแทก

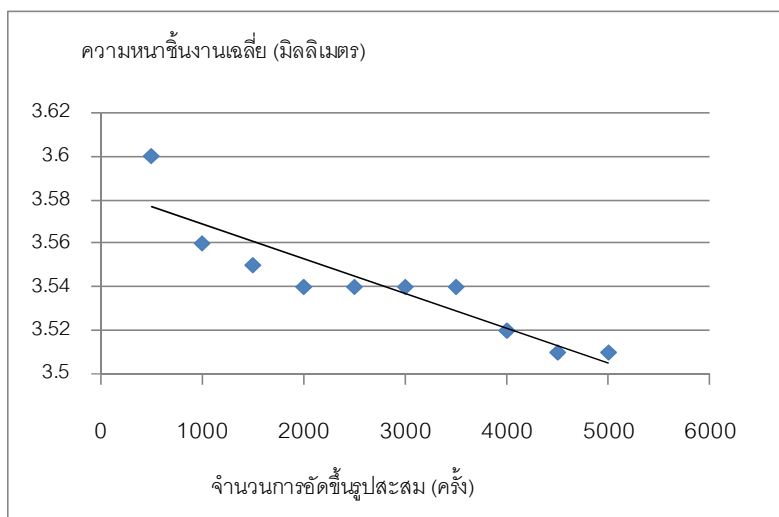
#### 5.2 ผลความสัมพันธ์ระหว่างจำนวนครั้งการอัดขึ้นรูปที่มีผลต่อความหนาชี้นงาน

การเก็บรวบรวมข้อมูลเพื่อศึกษาหาความสัมพันธ์ระหว่างระเบการสักหรอบริเวณสต็อปเปอร์กับความหนาชี้นงานผ้าหลังคา พบร่วมกับการสักหรอบแม่พิมพ์มากขึ้นเมื่อผลกระทบต่อความหนาชี้นงานที่ลดลง การกำหนดค่าระเบการสักหรือที่เหมาะสม ศึกษาจากจำนวนครั้งสะสมในการอัดขึ้นรูปผลิตจริงเพื่อทำให้การทดลองผลิตชิ้นงานผ้าหลังคา มีข้อเสียใหม่แตกต่างอย่างสุด ดังแสดงในตารางที่ 5.2

จำนวนครั้งสะสม สำหรับอัดขึ้นรูป(ครั้ง)	ระยะเวลาสีกหรอ (มิลลิเมตร)	ความหนาชิ้นงานเฉลี่ย (มิลลิเมตร)
500	-	3.6
1000	-	3.56
1500	-	3.55
2000	-	3.54
2500	-	3.54
3000	-	3.54
3500	-	3.54
4000	0.02	3.52
4500	0.03	3.51
5000	0.05	3.51

ตารางที่ 5.2 ผลข้อมูลระยะเวลาสีกหรอแม่พิมพ์ที่มีผลต่อความหนาชิ้นงาน

จากตารางที่ 5.2 ข้อมูลการบันทึกค่าระยะเวลาสีกหรอแม่พิมพ์บริเวณสต็อปเปอร์ พบว่ามาตรฐานระยะเวลาสีกหรอแม่พิมพ์ เท่ากับ 2,000 ครั้งต่อการซ่อมแซม การปรับเปลี่ยนวัสดุในการทดลองจากอุปกรณ์ เป็นหลักແเนน ระยะเวลาสีกหรอแม่พิมพ์ลดลงเมื่อผลกระทบต่อความหนาชิ้นงานที่เพิ่มขึ้น การปรับปรุงแม่พิมพ์ด้วยวิธีนี้ ทำให้ระยะเวลาสีกหรอเริ่มมีการซ่อมแซมแม่พิมพ์อยู่ที่ 4,000 ครั้งต่อการซ่อมแซม จะเห็นความสัมพันธ์ระหว่างระยะเวลาสีกหรอของสต็อปเปอร์กับความหนาชิ้นงาน ดังแสดงในรูปที่ 5.2



รูปที่ 5.2 กราฟความสัมพันธ์จำนวนครั้งการอัดขึ้นรูปที่มีผลต่อความหนาชิ้นงาน

จากรูปที่ 5.2 แสดงความสัมพันธ์ระหว่างระยะเวลาการสึกหรอของแม่พิมพ์บริเวณสต็อกไปร์กับความหนาชิ้นงาน พบร่วมกับการอัดสะสมที่เพิ่มขึ้นมีผลต่อความหนาชิ้นงานลดลง จากการเก็บข้อมูลเพื่อศึกษาดูด้วยมาส์มที่ควรเปลี่ยนสต็อกไปร์ทุก 4,000 ครั้งการอัดขึ้นรูป (ถ้าเริ่มมีการใช้วัสดุเป็นแผ่นเหล็กทัดแทนอลูมิเนียม)

### 5.3 ผลความสัมพันธ์ระหว่างระยะเวลาการอัดขึ้นรูปที่มีผลต่อความหนาชิ้นงาน

#### 5.3.1 ผลความสัมพันธ์ระหว่างระยะเวลาการอัดขึ้นรูปก่อนปรับปรุง

การนำข้อมูลซึ่งเก็บรวบรวมไว้มาวิเคราะห์ แล้วจึงนำมาหาความสัมพันธ์ระหว่างระยะเวลาการอัดขึ้นรูป ก่อนปรับปรุง ข้อมูลพิร่องไฟมีผลกับความหนาของชิ้นงานผ้าหลังคา กำหนดค่าที่ได้ทำการศึกษามีผลกระทบต่อข้อมูลพิร่องไฟแตกหรือไม่ จึงนำมากำหนดค่าที่เหมาะสมสำหรับปัจจัยที่มีส่วนเกี่ยวข้องกับการผลิต เพื่อนำไปใช้สำหรับทดลองผลิตชิ้นงานผ้าหลังคา โดยมีการเก็บบันทึกข้อมูลก่อนการทดลอง ดังแสดงในตารางที่ 5.3

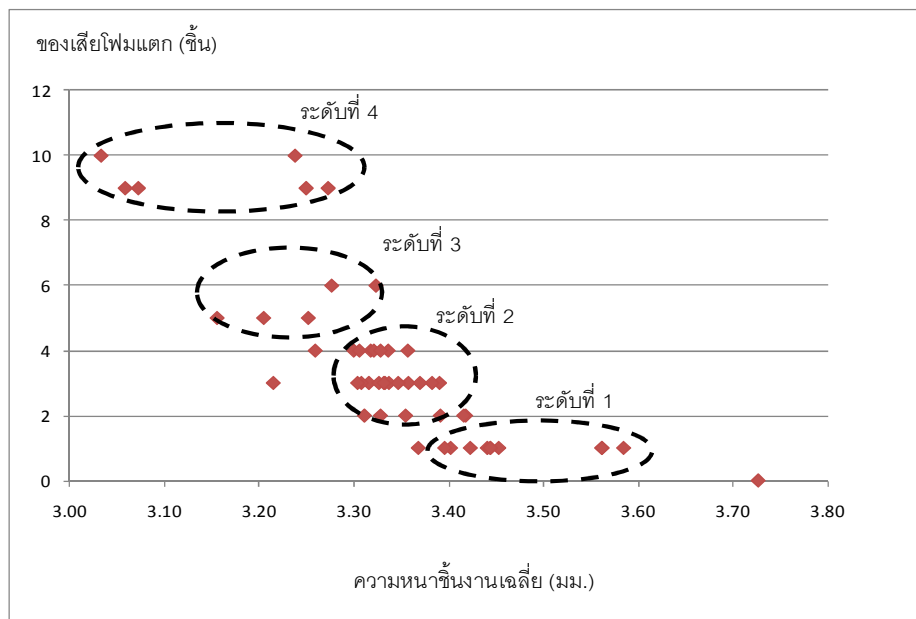
กลุ่มตัวอย่างที่	จำนวนชิ้นงาน (ชิ้น)	ความหนาชิ้นงานเฉลี่ย (มิลลิเมตร)	ของเสียไฟมีแตก (ชิ้น)
1	100	3.56	1
2	100	3.32	3
3	100	3.21	5
4	100	3.25	9
5	100	3.33	3
6	100	3.42	1
7	100	3.30	4
8	100	3.26	4
9	100	3.28	6
10	100	3.24	10
11	100	3.32	4
12	100	3.31	4
13	100	3.39	3
14	100	3.34	4
15	100	3.32	4

ตารางที่ 5.3 ผลข้อมูลระหว่างการอัดขึ้นรูปที่มีผลต่อความหนาชิ้นงานก่อนปรับปรุง

กลุ่มตัวอย่างที่	จำนวนชิ้นงาน (ชิ้น)	ความหนาชิ้นงานเฉลี่ย (มิลลิเมตร)	ของเสียพมแตก (ชิ้น)
16	100	3.44	1
17	100	3.44	1
18	100	3.25	5
19	100	3.32	6
20	100	3.16	5
21	100	3.42	2
22	100	3.36	4
23	100	3.33	2
24	100	3.31	2
25	100	3.38	3
26	100	3.31	3
27	100	3.33	4
28	100	3.56	1
29	100	3.42	2
30	100	3.34	3
31	100	3.33	3
32	100	3.33	3
33	100	3.30	3
34	100	3.06	9
35	100	3.40	1
36	100	3.45	1
37	100	3.73	0
38	100	3.03	10
39	100	3.40	1
40	100	3.35	2
41	100	3.22	3
42	100	3.39	2
43	100	3.27	9
44	100	3.44	1
45	100	3.36	3
46	100	3.35	3
47	100	3.37	1
48	100	3.07	9
49	100	3.37	3
50	100	3.59	1
Total	5000	3.34	177

ตารางที่ 5.3(ต่อ) แสดงผลข้อมูลระยะห่างการอัดขึ้นรูปที่มีผลต่อความหนาชิ้นงานก่อนปั้นปูรุ่ง

ข้อมูลความหนาชิ้นงานในตารางที่ 5.4 นำมาแสดงเป็นระดับความรุนแรงของเสียงไฟมแตกสามารถแบ่งได้ 4 ระดับ เห็นได้ว่าระดับความรุนแรงของเสียงไฟมแตกยิ่งมากขึ้น ความหนาชิ้นงานเฉลี่ยลดลง ตั้งแสดงในรูปที่ 5.3



รูปที่ 5.3 แสดงระดับไฟมแตกกับความหนาชิ้นงานเฉลี่ยแบบ Scatter Diagram ก่อนปรับปรุง

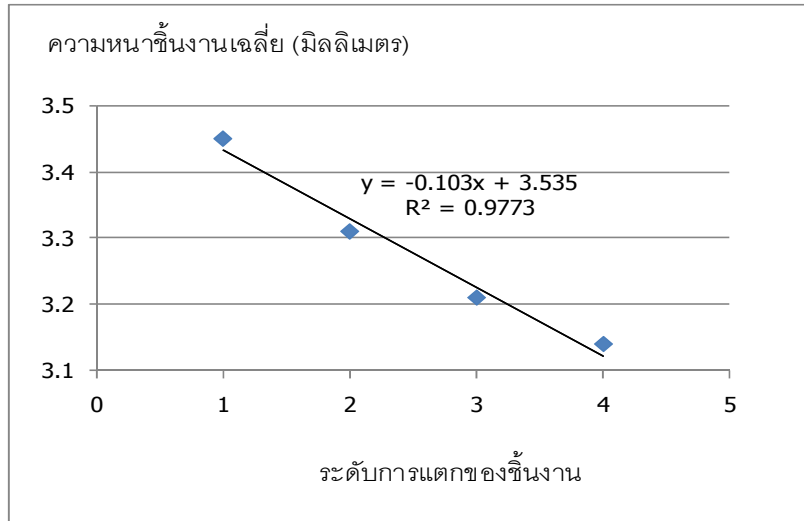
จากผลตารางที่ 5.4 สามารถนำมากำหนดเป็นระดับการแตกของชิ้นงานไฟม กับความหนาชิ้นงานเฉลี่ยแต่ละระดับก่อนการทดลอง ตั้งแสดงในตารางที่ 5.4

ระดับการแตกของชิ้นงาน	จำนวนไฟมแตก (ชิ้น)	ความหนาชิ้นงานเฉลี่ย (มิลลิเมตร)
ระดับ 1	0-2	3.45
ระดับ 2	3-5	3.31
ระดับ 3	6-9	3.21
ระดับ 4	10-12	3.14

ตารางที่ 5.4 แสดงผลระดับความรุนแรงไฟมแตกที่มีผลต่อความหนาชิ้นงานก่อนปรับปรุง

ผลดังแสดงในตารางที่ 5.4 นั้นเป็นข้อมูลที่ได้จากการบันทึกค่าจากการทดลองผลิตชิ้นงานในแต่ละระดับความรุนแรงไฟมแตก พบร่วมกับความรุนแรงไฟมแตกที่ยอมรับได้ คือไม่เกินกว่า 2 ชิ้นต่อถัง ต้องมีการแสดงค่าความหนาชิ้นงานอยู่ในช่วงที่ไม่ส่งผลกระทบรุนแรงต่อข้อบกพร่องไฟมแตก จึงบ่งบอกถึงการ

กำหนดระยะเวลาห่างการอัดขึ้นรูป เพื่อนำไปใช้กับการทดลองจริง ดังแสดงให้เห็นถึงความสัมพันธ์ระหว่างระดับการแตกของชิ้นงานกับความหนาชิ้นงานเฉลี่ย ดังแสดงในรูปที่ 5.4



รูปที่ 5.4 แสดงความสัมพันธ์ความรุนแรงไฟฟ์เมติกกับความหนาชิ้นงานเฉลี่ยก่อนการปรับปูรุ่ง

จากราฟความสัมพันธ์ความรุนแรงของไฟฟ์เมติกลดลง ความหนาชิ้นงานเฉลี่ยจะเพิ่มขึ้น ทำให้ทราบแนวโน้มสำหรับการพัฒนาค่าไฟฟ์เมติกทิศทางระยะเวลาห่างการอัดขึ้นรูปที่เพิ่มขึ้น

### 5.3.2 ข้อมูลความสัมพันธ์ระหว่างระยะเวลาห่างการอัดขึ้นรูปหลังปรับปูรุ่ง

การนำข้อมูลซึ่งเก็บรวมไว้มาวิเคราะห์ แล้วจึงนำมาหาความสัมพันธ์ระหว่างระดับข้อมูลพร่องไฟฟ์เมติกกับความหนาของชิ้นงานผ้าหลังคา กำหนดค่าที่ได้ทำการศึกษามีผลกรอบต่อข้อมูลพร่องไฟฟ์เมติก หรือไม่ จึงนำมากำหนดค่าที่เหมาะสมสำหรับปัจจัยที่มีส่วนเกี่ยวข้องกับการผลิต เพื่อนำไปใช้สำหรับทดลองผลิตชิ้นงานผ้าหลังคา โดยมีการเก็บบันทึกข้อมูลหลังการปรับปูรุ่ง ดังแสดงในตารางที่ 5.6

จากตารางที่ 5.5 ค่าระดับไฟฟ์เมติกกับความหนาชิ้นงานก่อนปรับปูรุ่ง นำมาวิเคราะห์สรุปเป็นกราฟแสดงความสัมพันธ์ระหว่างระดับไฟฟ์เมติกกับความหนาชิ้นงาน แสดงให้เห็นได้ว่า ความหนาชิ้นงานเพิ่มขึ้น ส่งผลกระทบต่อระดับของเสียงไฟฟ์เมติกลดลง ดังแสดงในรูปที่ 5.5

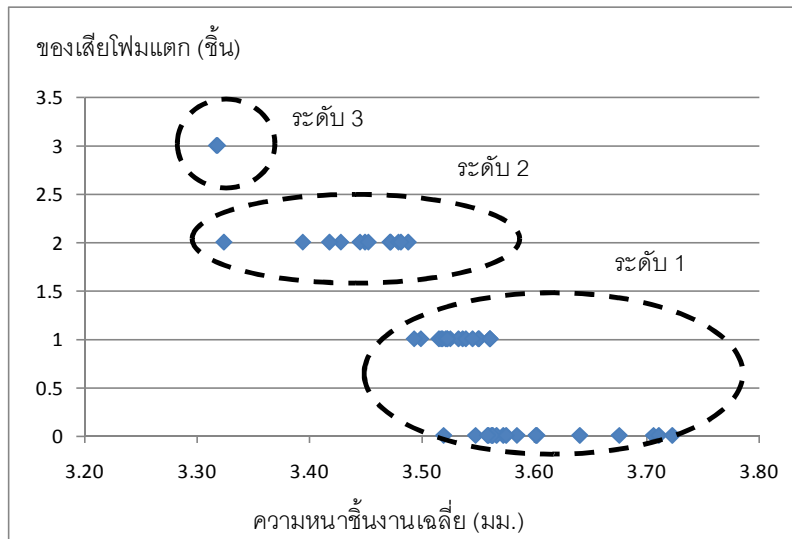
กลุ่มตัวอย่างที่	จำนวนชิ้นงาน (ชิ้น)	ความหนาชิ้นงานเฉลี่ย(มม.)	ของเสียไฟฟ์แทก (ชิ้น)
1	100	3.55	1
2	100	3.56	1
3	100	3.71	0
4	100	3.56	0
5	100	3.52	1
6	100	3.39	2
7	100	3.68	0
8	100	3.56	1
9	100	3.47	2
10	100	3.52	1
11	100	3.45	2
12	100	3.59	0
13	100	3.57	0
14	100	3.53	1
15	100	3.52	1
16	100	3.54	1
17	100	3.56	0
18	100	3.52	1
19	100	3.53	1
20	100	3.55	1
21	100	3.52	1
22	100	3.55	0
23	100	3.43	2
24	100	3.56	0
25	100	3.42	2

ตารางที่ 5.5 แสดงผลข้อมูลระยะห่างการอัดชิ้นรูปที่มีผลต่อความหนาชิ้นงานหลังปรับปรุง

กลุ่มตัวอย่างที่	จำนวนชิ้นงาน (ชิ้น)	ความหนาชิ้นงานเฉลี่ย(มม.)	ของเสียไฟฟ้าแตก (ชิ้น)
26	100	3.57	0
27	100	3.56	0
28	100	3.47	2
29	100	3.32	3
30	100	3.71	0
31	100	3.45	2
32	100	3.45	2
33	100	3.54	1
34	100	3.32	3
35	100	3.50	1
36	100	3.49	1
37	100	3.56	0
38	100	3.48	2
39	100	3.60	0
40	100	3.60	0
41	100	3.64	0
42	100	3.56	1
43	100	3.55	1
44	100	3.49	2
45	100	3.72	0
46	100	3.48	2
47	100	3.32	2
48	100	3.58	0
49	100	3.52	1
50	100	3.52	0
Total	5000	3.53	48

ตารางที่ 5.5(ต่อ) แสดงผลข้อมูลระยะห่างการอัดชิ้นรูปที่มีผลต่อกำลังไฟฟ้าชิ้นงานหลังปรับปรุง

ข้อมูลความหนาชิ้นงานในตารางที่ 5.6 นำมาแสดงเป็นระดับความจุนแรงของเสียงไฟมแทกสามารถแบ่งได้ 3 ระดับ เห็นได้ว่าระดับความจุนแรงของเสียงไฟมแทกยิ่งมากขึ้น ความหนาชิ้นงานเฉลี่ยลดลง ตั้งแสดงในรูปที่ 5.5



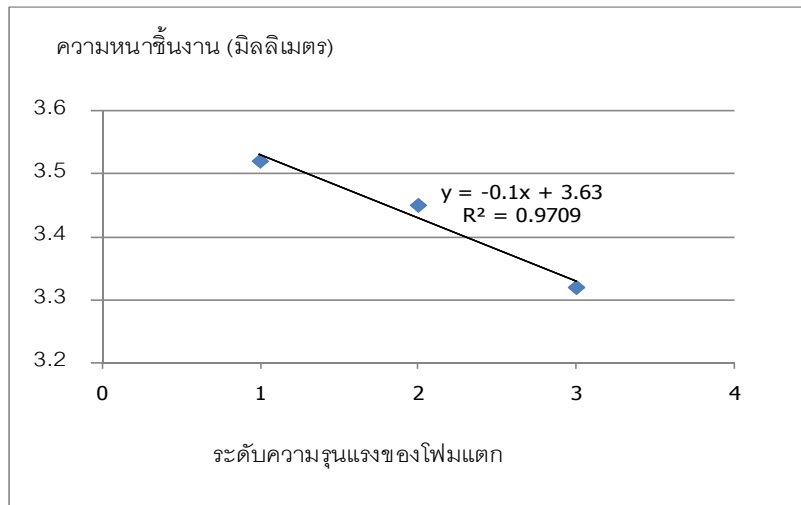
รูปที่ 5.5 แสดงระดับไฟมแทกกับความหนาชิ้นงานเฉลี่ยแบบ Scatter Diagram หลังปรับปรุง

จากผลตารางที่ 5.6 สามารถนำมากำหนดเป็นระดับการแตกของชิ้นงานไฟม กับความหนาชิ้นงานเฉลี่ยแต่ละระดับก่อนการทดลอง ตั้งแสดงในตารางที่ 5.6

ระดับการแตกของชิ้นงาน	จำนวนไฟมแทก (ชิ้น)	ความหนาชิ้นงานเฉลี่ย (มิลลิเมตร)
ระดับ 1	0-1	3.52
ระดับ 2	2	3.45
ระดับ 3	3	3.32

ตารางที่ 5.6 แสดงผลระดับไฟมแทกที่มีผลต่อความหนาชิ้นงานหลังปรับปรุง

จากตารางที่ 5.6 แสดงให้เห็นถึงระดับการแตกของชิ้นงานที่ลดลงหลังการปรับปรุง เมื่อความหนาชิ้นงานเฉลี่ยเพิ่มขึ้น จากก่อนการปรับปรุง จำนวนไฟมแทกในแต่ละระดับสามารถนำไปแสดงเป็นกราฟความสัมพันธ์ได้ดังรูปที่ 5.6

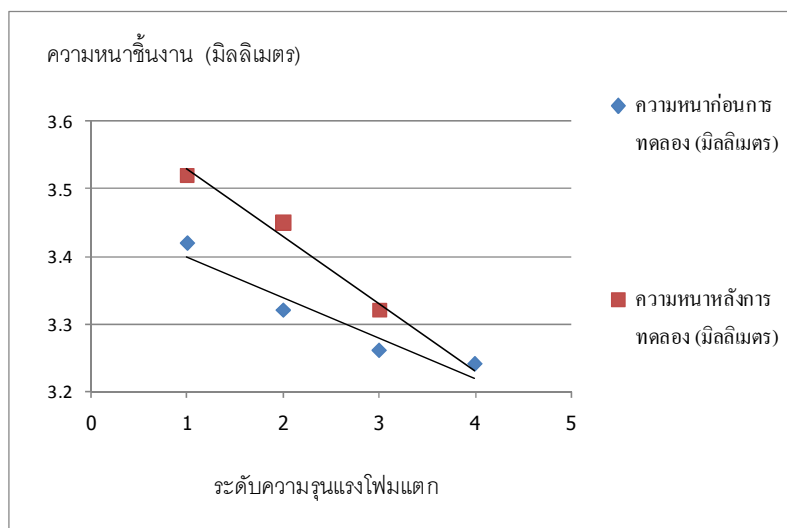


รูปที่ 5.6 แสดงความสัมพันธ์ความรุนแรงของฟิมแทกกับความหนาชื่นงานเฉลี่ยหลังปรับปูรุ่ง

จากการภาพความสัมพันธ์ความรุนแรงของฟิมแทกลดลง ความหนาชื่นงานเฉลี่ยจะเพิ่มขึ้น ทำให้ทราบแนวโน้มสำหรับการพัฒนาค่าเพื่อไปในทิศทางระยะห่างการอัดขึ้นรูปที่เพิ่มขึ้น

### 5.3.3 ผลการเปรียบเทียบระดับความรุนแรงฟิมแทกก่อนและหลังปรับปูรุ่ง

เมื่อนำมาเปรียบเทียบระดับความรุนแรงฟิมแทกก่อนและหลังปรับปูรุ่ง พบว่าแม้จะไม่มีระดับความรุนแรงไปในทิศทางความหนาชื่นงานเฉลี่ยที่ลดลง ทั้งก่อนและหลังปรับปูรุ่ง ดังแสดงในรูปที่ 5.7 ดังนั้นการศึกษาจะมุ่งเน้นการพัฒนาค่าเพื่อระยะห่างการอัดขึ้นรูปในทิศทางบวกก่อนเสมอ เพื่อย่างต่อการทดลอง



รูปที่ 5.7 แสดงผลการเปรียบเทียบระดับความรุนแรงฟิมแทกกับความหนาชื่นงานเฉลี่ย

## 5.4 ผลการกำหนดค่าเพื่อระยะห่างการอัดขึ้นรูปชิ้นงานผ้าหลังคา

### 5.4.1 ผลของความหนาของชิ้นงานเฉลี่ยก่อนปรับปูง

จากการทดลองและเก็บรวบรวมข้อมูลจากการระยะห่างการอัดขึ้นรูปชิ้นงานผ้าหลังคา โดยเกิดจากการสุ่มชิ้นงานที่เกิดข้อบกพร่องไฟฟ์แตกต่างจำนวน 50 กลุ่มชิ้นงานตัวอย่าง โดยวัดความหนาแต่ละกลุ่มชิ้นงานตัวอย่างกลุ่มละ 100 ชิ้นงาน และวิเคราะห์ข้อมูลด้วยโปรแกรม Minitab 15 แสดงผลความหนาของชิ้นงานผ้าหลังคาที่เกิดขึ้นดังนี้

- ระยะห่างการอัดรูปชิ้นงานที่เก็บบันทึกข้อมูลก่อนการปรับปูง

$$\text{ความหนาของชิ้นงาน} = \text{ระยะห่างการอัดขึ้นรูปชิ้นงาน}$$

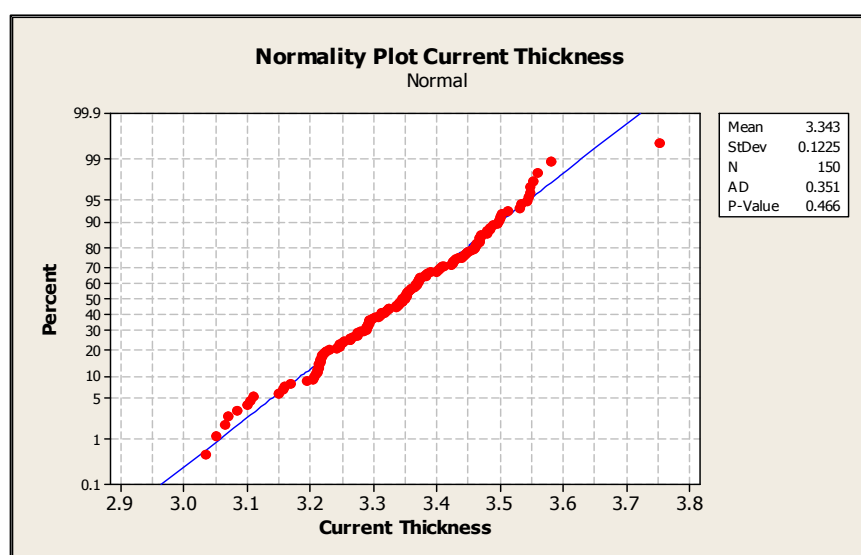
ความหนาชิ้นงานผ้าหลังคาโดยเฉลี่ย ( $\bar{\sigma}_{\text{Thickness}}$ )

มีค่าเท่ากับ 3.343 มิลลิเมตร

ค่าเบี่ยงเบนมาตรฐาน ( $\sigma_{\text{Thickness}}$ )

มีค่าเท่ากับ 0.1225 มิลลิเมตร

จากข้อมูลที่ศึกษานำมาใช้วิเคราะห์ค่าเฉลี่ย และค่าเบี่ยงเบนมาตรฐานได้ รวมมีการทดสอบความน่าเชื่อถือของข้อมูลเสียก่อนทุกครั้ง ก่อนนำไปใช้ในกระบวนการคิดคื่นๆ ไป ดังแสดงในรูปที่ 5.8



รูปที่ 5.8 กราฟแสดง Normal Probability Test

## พิจารณาการแจกแจงแบบปกติ

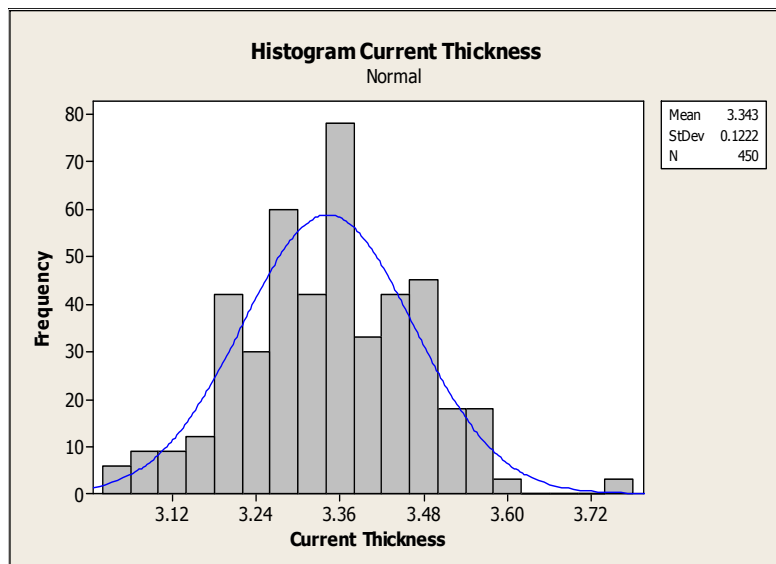
P-value ของค่าความหนาชิ้นงานก่อนการปรับปูรุ่มมีค่าเท่ากับ 0.486 ดังนั้นเมื่อนำมาเปรียบเทียบกับระดับนัยสำคัญ 0.05 P-value มีค่ามากกว่า  $\alpha$  สรุปได้ว่าลักษณะของข้อมูลมีการแจกแจงแบบปกติอย่างมีนัยสำคัญทางสถิติที่ระดับ 0.05 ข้อมูลดังกล่าวจึงมีความเหมาะสมสมน้ำหน้าใช้ทำแผนภูมิควบคุมและคำนวณความสามารถด้านศักยภาพของกระบวนการ

### สรุปผลการทดลอง

ค่าเฉลี่ยความหนาชิ้นงานผ้าหลังคาดเดิม เท่ากับ 3.343 มิลลิเมตร

ค่าเฉลี่ย ( $\pm 3\sigma_{Thickness}$ ) เท่ากับ  $\pm 0.3672$  มิลลิเมตร

ค่าส่วนเบี่ยงเบนมาตรฐาน เท่ากับ 0.1225 มิลลิเมตร



รูปที่ 5.9 แสดงแผนภูมิ Histogram ความหนาชิ้นงานผ้าหลังคาดก่อนปรับปูรุ่ง

จากแผนภูมิแบบ Histogram ลักษณะของกราฟจะมีทรงสูงๆต่ำๆสลับกันไปไม่แน่นอนคล้ายกับหีบมีซี่หัก ซึ่งกราฟลักษณะนี้อาจเกิดจากข้อมูลมีความแปรปรวน ในแต่ละความหนาชิ้นงาน ซึ่งการลดความแปรปรวนนี้ ทำได้จากการหาความสัมพันธ์ระหว่างการขัดขี้นรูปชิ้นงานกับของเสียไฟมเตกที่เหมาะสมหลังการปรับปูรุ่ง เพื่อทำให้กราฟแสดงในรูปที่ 5.7 มีผลความแปรปรวนลดลง

#### 5.4.2 ผลการสร้างความสัมพันธ์ระหว่างระยะห่างการอัดขึ้นรูปกับของเสียพิมแทก

จากข้อมูลเริ่มต้นหัวข้อที่ 5.1 ได้ทราบระยะห่างการอัดขึ้นรูปซึ่งเทียบเท่ากับความหนาชิ้นงานหลังจากการอัดขึ้นรูป (Mean) และทราบค่าเบี่ยงเบนมาตรฐานของความหนาชิ้นงานผ้าหลังค่า ( $\sigma_{\text{Thickness}}$ )

$$\begin{aligned} \text{จากสูตรค่าเฉลี่ยชิ้นงาน } \bar{x} &= \bar{X} + 3\sigma \quad \dots \dots \dots \text{ สมการที่ 1} \\ \text{ของ } \sigma_{\text{avg.}} \text{ จากข้อมูลก่อนการปรับปูรุ่ง } &= \bar{X} - 3\sigma \quad \dots \dots \dots \text{ สมการที่ 2} \end{aligned}$$

$$\begin{aligned} \text{เมื่อ } \sigma_{\text{avg.}} \text{ จากข้อมูลก่อนการปรับปูรุ่ง } &= 0.1225 \text{ มิลลิเมตร} \\ \bar{x} \quad \text{จากข้อมูลก่อนการปรับปูรุ่ง } &= 3.342 \text{ มิลลิเมตร} \end{aligned}$$

$$\begin{aligned} \text{ระยะห่างการอัดขึ้นรูปชิ้นงานกว้างสุด (FG.Max.)} &= 3.342 + 3(0.1225) \\ &= 3.342 + 0.3675 \\ &= 3.7095 \text{ มิลลิเมตร} \end{aligned}$$

$$\text{ระยะห่างการอัดขึ้นรูปชิ้นงานกลาง (FG.)} = 3.342 \text{ มิลลิเมตร}$$

$$\begin{aligned} \text{ระยะห่างการอัดขึ้นรูปชิ้นงานแคบสุด (FG.Min.)} &= 3.342 - 3(0.1225) \\ &= 3.342 - 0.3675 \\ &= 2.9745 \text{ มิลลิเมตร} \end{aligned}$$

#### 5.4.3 ผลแสดงสัดส่วนพิมแทกก่อนปรับปูรุ่ง

จากการรวมข้อมูลความหนาชิ้นงานก่อนการปรับปูรุ่ง เพื่อนำมาเปรียบเทียบกับความหนาชิ้นงานผ้าหลังคานหลังการปรับปูรุ่ง โดยการบันทึกค่าระยะห่างการอัดขึ้นรูป ดังข้อมูลแสดงในตารางที่ 5.7 ได้ผลลัพธ์แสดงสัดส่วนของเสียพิมแทกจากระยะห่างการอัดขึ้นรูปก่อนการปรับปูรุ่ง

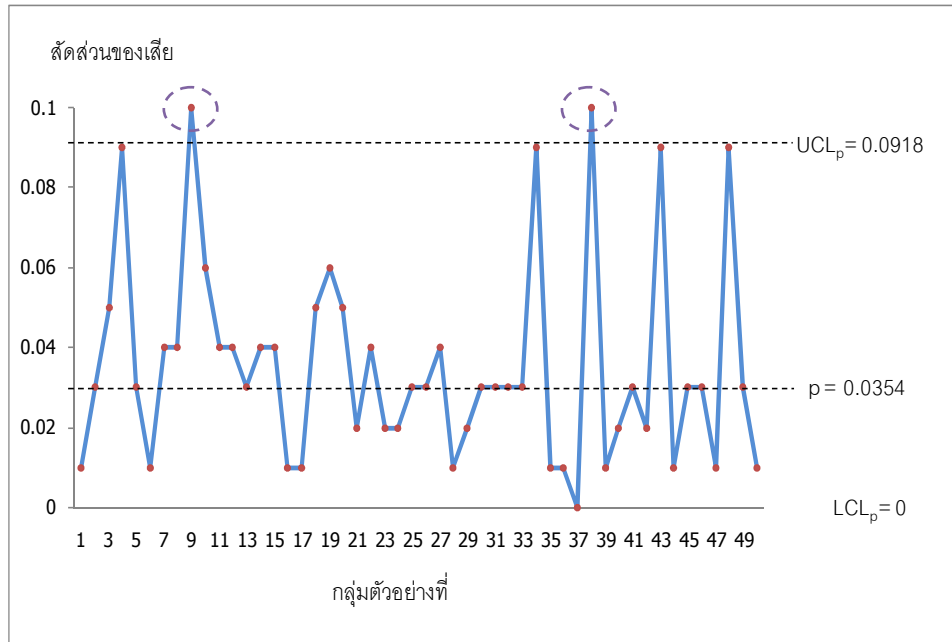
กัญม์ตัวอย่าง	ล็อต	จำนวนตัวอย่าง (ชิ้น)	จำนวนของเสียโฟมแตก (ชิ้น)	สัดส่วนของเสียโฟมแตก	ປປර්ඩ්මර්ของเสีย	PPM
1	11	100	1	0.0100	1.00	10000
2	15	100	3	0.0300	3.00	30000
3	17	100	5	0.0500	5.00	50000
4	2	100	9	0.0900	9.00	90000
5	11	100	3	0.0300	3.00	30000
6	4	100	1	0.0100	1.00	10000
7	10	100	4	0.0400	4.00	40000
8	18	100	4	0.0400	4.00	40000
9	19	100	10	0.1000	10.00	100000
10	22	100	6	0.0600	6.00	60000
11	3	100	4	0.0400	4.00	40000
12	7	100	4	0.0400	4.00	40000
13	16	100	3	0.0300	3.00	30000
14	20	100	4	0.0400	4.00	40000
15	2	100	4	0.0400	4.00	40000
16	8	100	1	0.0100	1.00	10000
17	1	100	1	0.0100	1.00	10000
18	6	100	5	0.0500	5.00	50000
19	7	100	6	0.0600	6.00	60000
20	16	100	5	0.0500	5.00	50000
21	1	100	2	0.0200	2.00	20000
22	3	100	4	0.0400	4.00	40000
23	4	100	2	0.0200	2.00	20000
24	5	100	2	0.0200	2.00	20000
25	7	100	3	0.0300	3.00	30000
26	1	100	3	0.0300	3.00	30000
27	9	100	4	0.0400	4.00	40000
28	10	100	1	0.0100	1.00	10000
29	15	100	2	0.0200	2.00	20000
30	2	100	3	0.0300	3.00	30000

ตารางที่ 5.7 แสดงผลสัดส่วนของเสียโฟมแตกก่อนปรับปูง

กตุ่นตัวอย่าง	ล็อต	จำนวนตัวอย่าง (ชิ้น)	จำนวนของเสียไฟมแทก (ชิ้น)	สัดส่วนของเสียไฟมแทก	เปอร์เซ็นต์ของเสีย	PPM
31	15	100	3	0.0300	3.00	30000
32	2	100	3	0.0300	3.00	30000
33	5	100	3	0.0300	3.00	30000
34	5	100	9	0.0900	9.00	90000
35	11	100	1	0.0100	1.00	10000
36	5	100	1	0.0100	1.00	10000
37	4	100	0	0.0000	0.00	0
38	20	100	10	0.1000	10.00	100000
39	15	100	1	0.0100	1.00	10000
40	14	100	2	0.0200	2.00	20000
41	1	100	3	0.0300	3.00	30000
42	2	100	2	0.0200	2.00	20000
43	7	100	9	0.0900	9.00	90000
44	18	100	1	0.0100	1.00	10000
45	18	100	3	0.0300	3.00	30000
46	3	100	3	0.0300	3.00	30000
47	1	100	1	0.0100	1.00	10000
48	12	100	9	0.0900	9.00	90000
49	12	100	3	0.0300	3.00	30000
50	15	100	1	0.0100	1.00	10000
รวม		5000	177	0.0354	3.54	35400

ตารางที่ 5.7 (ต่อ) แสดงผลสัดส่วนของเสียไฟมแทกก่อนปรับปูรุ่ง

ตารางที่ 5.7 ผลสัดส่วนของเสียไฟมแทกก่อนการปรับปูรุ่ง นำมาวิเคราะห์เพื่อควบคุมของเสียไม่ให้เกินกว่าขอบเขตที่กำหนด จากการคำนวณค่าโดยการคำนวณ ซึ่งได้ค่าขอบเขตที่ยอมรับได้ด้านบน ( $UCL_p$ ) เท่ากับ 0.092 และค่าขอบเขตที่ยอมรับได้ด้านล่าง ( $UCL_{p_l}$ ) เท่ากับ 0 โดยมีค่าเฉลี่ย ( $p$ ) เท่ากับ 0.0354 ดังแสดงในรูปที่ 5.10



รูปที่ 5.10 แสดงความผิดปกติของกระบวนการก่ออันปรับปูง

### 5.5 ผลการหาระยะห่างการอัดขึ้นรูปที่เหมาะสมกับงานจริง

จากการทดลองนำผลการเก็บข้อมูลกระบวนการผลิตมาวิเคราะห์โดยการคำนวณด้วยค่าเฉลี่ยแบบ Root Sum of Square (RSS) สามารถนำข้อมูลเหล่านี้มาคำนวณเป็นค่าระยะการอัดขึ้นรูปได้ ซึ่งทราบจากตารางการอัดขึ้นรูปชิ้นงานเกิดอยู่ในช่วงค่า 3.2 ถึง 3.8 มิลลิเมตร (โดยค่าระยะการอัดขึ้นรูป 3.2-3.8 มิลลิเมตร เป็นค่าเฉลี่ยที่ยอมรับได้ต่ำสุดและสูงสุดจากลูกค้า) ดังนั้นจึงทำการตั้งค่าระยะห่างการอัดขึ้นรูปชิ้นงานสมมติโดยมีการปรับขึ้นที่ละ 2 เปอร์เซ็นต์ เพื่อความสมดุลกับระยะการอัดขึ้นรูปเมื่อค่าสูงสุด 11 เปอร์เซ็นต์ และต่ำสุด -11 เปอร์เซ็นต์ ดังแสดงในตารางที่ 5.8

การเคลื่อนที่ของระยะห่างเฉลี่ย	ระยะห่างการอัดขึ้นรูปหน่วยเป็นมิลลิเมตร
3.342+11%(0.3675)	3.71
3.342+8%(0.2674)	3.61
3.342+6%(0.2)	3.54
3.342+4%(0.1337)	3.48
3.342+2%(0.0668)	3.41
3.342+0%(0)	3.34
3.342-2%(-0.0668)	3.28
3.342-4%(-0.1337)	3.21
3.342-6%(-0.2)	3.14
3.342-8%(-0.2674)	3.07
3.342-11%(-0.3675)	2.97

ตารางที่ 5.8 แสดงระยะห่างการอัดขึ้นรูปชิ้นงานผ้าหลังคางานที่ 5.7

จากตารางที่ 5.7 ผู้ดำเนินการวิจัยได้แสดงค่าสมมติที่เพิ่มขึ้นทีละ 2 เปอร์เซ็นต์ หรือประมาณ 0.06 มิลลิเมตรนั้น เนื่องจากการปรับเพิ่มค่า สามารถทำได้โดยการเสริมแผ่นเหล็กที่จัดเตรียมไว้ เช้าไปยึดติดบริเวณ Stopper ด้านล่างของแม่พิมพ์ด้วยสกรูหรือเชื่อมติดกับแม่พิมพ์ สำหรับการปรับตั้งความหนาแผ่นเหล็ก Shim ระยะห่างการอัดขึ้นรูปที่เหมาะสมเทียบกับปริมาณของเสียโฟมแตกที่พบในกระบวนการผลิต ดังแสดงในตารางที่ 5.9

ระยะการอัดขึ้นรูป(mm.)	จำนวนตัวอย่าง	จำนวนของเสียโพมแทก (ชิ้น)	สัดส่วนของเสีย	ของเสียที่ยอมรับได้	ของเสียทั้งงานโพมแทก (PPM)
3.71	5000	17	0.0034	20000	3400
3.61	5000	33	0.0066	20000	6600
3.54	5000	48	0.0096	20000	9600
3.48	5000	115	0.0230	20000	23000
3.41	5000	123	0.0246	20000	24600
3.34	5000	133	0.0266	20000	26600
3.28	5000	167	0.0334	20000	33400
3.21	5000	267	0.0534	20000	53400
3.15	-	-	-	-	-
3.07	-	-	-	-	-
2.97	-	-	-	-	-

ตารางที่ 5.9 แสดงการบันทึกระยะห่างการอัดขึ้นรูปในระยะต่างๆ กับ ของเสียโพมแทก

ระยะห่างการอัดขึ้นรูปที่ผู้วิจัยไม่นำมาศึกษานั้น คือระยะการอัดขึ้นรูปของชิ้นงานที่ค่า 2.97, 3.07 และ 3.15 มิลลิเมตร ตามลำดับ เนื่องจากเป็นค่าเพื่อที่เกินกว่าข้อกำหนดจากลูกค้า ซึ่งระบุไว้ในเอกสารทางวิศวกรรม โดยอ้างอิงค่าระยะห่างการอัดขึ้นรูป เท่ากับ  $3.5 \pm 0.3$  มิลลิเมตร ค่าความเพื่อระยะห่างการอัดขึ้นรูปที่สามารถควบคุมได้อยู่ที่อยู่นอกเหนือจากระยะห่างการอัดขึ้นรูปที่ 3.2 ถึง 3.8 มิลลิเมตร จะไม่นำมาพิจารณา โดยผู้วิจัยทำการวิเคราะห์ตามข้อมูลที่เก็บบันทึกแล้วนั้น พบร่วงระยะห่างการอัดขึ้นรูปที่แคบส่งผลทำให้เกิดของเสียจำนวนมาก แต่เมื่อเทียบกับช่วงระยะห่างการอัดขึ้นรูปที่กว้าง ซึ่งมีระยะห่างการอัดขึ้นรูปตั้งแต่ค่าเท่ากับ 3.21 ถึง 3.71 มิลลิเมตร ตามลำดับ จากข้อมูลระยะห่างการอัดขึ้นรูปที่กำหนดขึ้น เพื่อทำการทดลอง พบร่วงจำนวนของเสียไม่เกิน 20,000 PPM อยู่ที่ระยะห่างการอัดขึ้นรูปที่ค่า 3.54 ถึง 3.71 มิลลิเมตร แต่ระยะห่างการอัดขึ้นรูปหมายสมสุดที่จะนำมาพิจารณาค่าเพื่อการผลิตอยู่ที่ค่าระยะห่างการอัดขึ้นรูปที่ 3.54 มิลลิเมตร

หมายเหตุ: แสดงผลสัดส่วนของเสียในแต่ละระยะห่างการอัดขึ้นรูป ในภาคผนวก ง

### 5.5.1 ผลการคำนวณระยะห่างการอัดขึ้นรูป

$$\text{ระยะห่างการอัดขึ้นรูปกว้างที่สุด } (D_{\max}) = (((\text{ระยะห่างมากสุด}-\text{น้อยสุด}) \times (\text{ระดับของเสียงที่}\text{ยอมรับได้} - \text{สัดส่วนของเสียงของระยะห่างมากสุด})) / (\text{สัดส่วนของเสียงน้อยสุด}-\text{มากสุด}) + \text{ระยะห่างมากสุด}$$

$$\text{ระยะห่างการอัดขึ้นรูปแคบที่สุด } (D_{\min}) = (((\text{ระยะห่างมากสุด}-\text{น้อยสุด}) \times (\text{ระดับของเสียงที่}\text{ยอมรับได้} - \text{สัดส่วนของเสียงของระยะห่างมากสุด})) / (\text{สัดส่วนของเสียงน้อยสุด}-\text{มากสุด}) + \text{ระยะห่างน้อยสุด}$$

$$\text{ระยะห่างการอัดขึ้นรูปกลาง}(D_{\text{nominal}}) = (\text{ระยะห่างการอัดขึ้นรูปกว้างสุด}/\text{ระยะการอัดขึ้นรูปแคบสุด})/2$$

ระยะห่างการอัดขึ้นรูปที่กว้างสุด เท่ากับ (Maximum Compression molding) อยู่ในช่วงระยะห่างการอัดขึ้นรูปที่ 3.71 มิลลิเมตร สามารถคำนวณหาได้ดังนี้ ดังนั้นระดับของเสียงที่ยอมรับได้ (20,000 PPM)

$$\begin{aligned} \text{ระยะห่างการอัดขึ้นรูปกว้างที่สุด } (D_{\max}) &= [(3.71-3.61)*(20000-3400)]/(6600-3400) + 3.71 \\ &= 4.23 \text{ มิลลิเมตร} \end{aligned}$$

$$\begin{aligned} \text{ระยะห่างการอัดขึ้นรูปแคบที่สุด } (D_{\min}) &= [(3.28-3.21)*(20000-53400)]/(31000-53400) + 3.21 \\ &= 3.31 \text{ มิลลิเมตร} \end{aligned}$$

จากการคำนวณพบว่าระยะห่างการอัดขึ้นรูปกว้างสุดได้ค่าเพื่อกินระยะห่างการอัดขึ้นรูปจริงของถูกค่าจึงไม่นำมาพิจารณาเพื่อทำการศึกษา

ระยะห่างการอัดขึ้นรูปที่กว้างสุด เท่ากับ (Maximum Compression molding) อยู่ในช่วงระยะห่าง การอัดขึ้นรูปที่ 3.61 มิลลิเมตร สามารถคำนวณหาได้ดังนี้ โดยระดับของเสียงที่ยอมรับได้ที่ 20,000 PPM

$$\begin{aligned} \text{ระยะห่างการอัดขึ้นรูปกว้างที่สุด } (D_{\max}) &= [(3.61-3.54) * (20000-6600)] / (9400-6600) + 3.61 \\ &= 3.92 \text{ มิลลิเมตร} \end{aligned}$$

$$\begin{aligned} \text{ระยะห่างการอัดขึ้นรูปแคบที่สุด } (D_{\min}) &= [(3.28-3.21)*(20000-53400)]/(31000-53400)]+3.21 \\ &= 3.31 \text{ มิลลิเมตร} \end{aligned}$$

จากการคำนวณพบว่าระยะห่างการอัดขึ้นรูปกว้างสุดที่ค่า 3.61 มิลลิเมตรได้ค่าเพื่อเกินระยะห่าง การอัดขึ้นรูปจริงของลูกค้าจึงไม่นำมาพิจารณาเพื่อทำการศึกษา

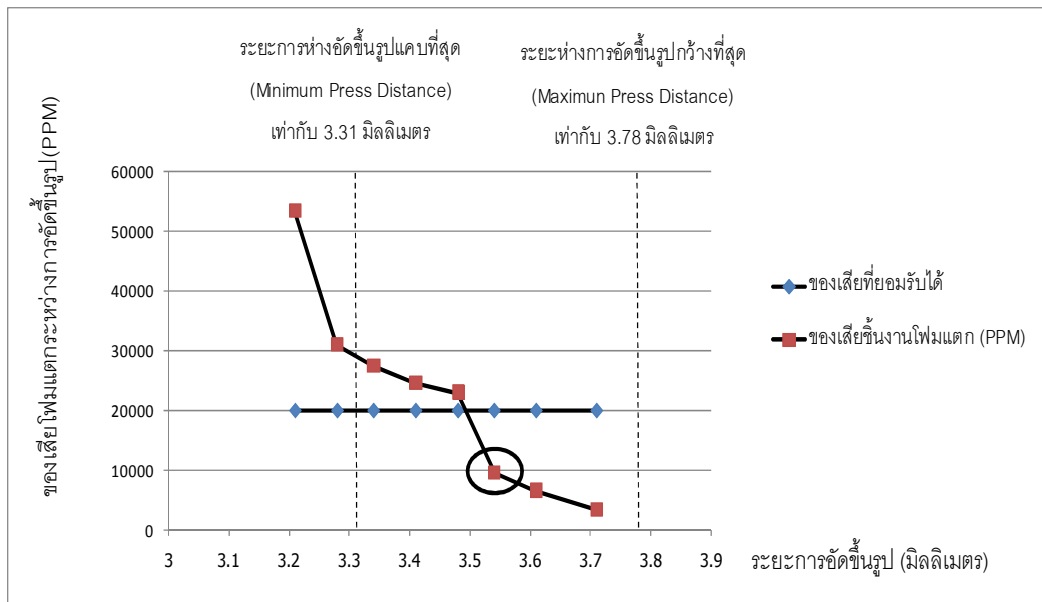
ระยะห่างการอัดขึ้นรูปที่กว้างสุด เท่ากับ (Maximum Compression molding) อยู่ในช่วงระยะห่าง การอัดขึ้นรูปที่ 3.54 มิลลิเมตร สามารถคำนวณหาได้ดังนี้ โดยแสดงระดับของเสียงที่ยอมรับได้ที่ 20,000 PPM

$$\begin{aligned} \text{ระยะห่างการอัดขึ้นรูปกว้างที่สุด } (D_{\max}) &= [(3.54-3.61)*(20000-9600)] / (6600-9600) + 3.54 \\ &= 3.78 \text{ มิลลิเมตร} \end{aligned}$$

$$\begin{aligned} \text{ระยะห่างการอัดขึ้นรูปแคบที่สุด } (D_{\min}) &= [(3.28-3.21)*(20000-53400)]/(31000-53400)]+3.21 \\ &= 3.31 \text{ มิลลิเมตร} \end{aligned}$$

$$\begin{aligned} \text{ระยะห่างการอัดขึ้นรูปกลาง}(D_{\text{nominal}}) &= (3.78+3.31)/2 \\ &= 3.545 \text{ มิลลิเมตร} \end{aligned}$$

จากการคำนวณพบว่าระยะห่างการอัดขึ้นรูปกว้างสุดที่ค่า 3.545 มิลลิเมตร จะมีระยะห่างการอัด ขึ้นรูปเหมาะสมที่สุด เมื่อเทียบกับของเสียงฟิมแตกที่ 20,000 ชั้นในล้านชั้น (PPM) ดังแสดงในรูปที่ 5.11



อุปที่ 5.11 แสดงความสัมพันธ์ระหว่างการอัดขึ้นรูปกับสัดส่วนของเสียพิมแทก

จากข้อมูลระยะห่างการอัดขึ้นรูปที่ผู้วิจัยไม่นำมาศึกษานั้น คือระยะห่างการอัดขึ้นรูปชิ้นงานที่ค่า 2.97, 3.07 และ 3.15 มิลลิเมตร ตามลำดับ เนื่องจากเป็นค่าเพื่อที่เกินกว่าข้อกำหนดจากลูกค้าที่กำหนดไว้ในเอกสารทางวิศวกรรม ข้างต้นค่าเท่ากับ  $3.5 \pm 0.3$  มิลลิเมตร ค่าเพื่อระยะห่างการอัดขึ้นรูปสามารถควบคุมไม่ให้อยู่นอกเหนือจากการอัดขึ้นรูปที่ 3.2 ถึง 3.8 มิลลิเมตร จะไม่นำมาพิจารณา โดยผู้วิจัยทำการวิเคราะห์ตามข้อมูลที่เก็บบันทึกแล้วนั้น พบว่าช่วงระยะห่างการอัดขึ้นรูปที่แคบ ทำให้เกิดของเสียพิมแทก แต่เมื่อเทียบกับช่วงระยะห่างการอัดขึ้นรูปที่กว้าง ซึ่งมีระยะห่างการอัดขึ้นรูปตั้งแต่ค่าเท่ากับ 3.31 ขึ้นไปจนถึง 3.78 มิลลิเมตร จากข้อมูลระยะห่างการอัดขึ้นรูปพบว่าจำนวนของเสียไม่เกิน 15,000 PPM ในกระบวนการผลิตผ้าหลังคา จะมีค่าระยะห่างการอัดขึ้นรูปอยู่ที่ 3.545 มิลลิเมตร

## 5.6 ผลการคำนวนหาระยะห่างการอัดขึ้นรูปโดยวิธีการแบบ RSS

$$\text{ค่าความแปรปรวน} (\sigma^2) = (\text{Tolerance}/3C_p)^2$$

เมื่อ  $C_p = 1$  สำหรับระยะห่างการอัดขึ้นรูปที่ยอมรับได้ที่  $\pm 3\sigma$

$$\begin{aligned} \sigma^2 &= [(3.545-3.31)/(3)]^2 \\ &= 0.055/9 \\ &= 0.006 \end{aligned}$$

การคำนวณค่าเพื่อระยะห่างการอัดขึ้นรูป

$$\begin{aligned}\sigma_{\text{thickness}} &= \sqrt{\sum(\text{Variance})} \\ &= \sqrt{0.006} \\ &= 0.077\end{aligned}$$

$$\begin{aligned}\text{ค่าเพื่อระยะห่างการอัดขึ้นรูป} &= \pm 3\sigma \\ &= \pm(3 * 0.077) \\ &= \pm 0.231 \text{ มิลลิเมตร}\end{aligned}$$

การปรับเพิ่มระยะห่างการอัดขึ้นรูปจากเดิมค่ากลางเท่ากับ 3.5 มิลลิเมตร เป็น 3.545 มิลลิเมตร จะได้ค่าเพื่อระยะห่างการอัดขึ้นรูปเดิมเท่ากับ  $\pm 0.5$  มิลลิเมตร เป็นระยะห่างการอัดขึ้นรูปใหม่ เท่ากับ  $\pm 0.231$  มิลลิเมตร ทำให้เกิดสัดส่วนของเสีย เท่ากับ 9,600 ชิ้นในล้านชิ้น ในระดับสัดส่วนของเสียที่ยอมรับได้ที่ 20,000 PPM ดังนั้นผลของการชิ้นงานที่นำมาพิจารณา หลังจากการปรับปรุงระยะห่างการอัดขึ้นรูปชิ้นงานที่ 3.545 มิลลิเมตร แสดงข้อมูลความหนาชิ้นงานเฉลี่ยในตารางที่ 5.10

กลุ่มตัวอย่างที่	จำนวนชิ้นงาน (ชิ้น)	ความหนาชิ้นงานเฉลี่ย(มม.)	ของเสียพมแตก (ชิ้น)
1	100	3.55	1
2	100	3.56	1
3	100	3.71	0
4	100	3.56	0
5	100	3.52	1
6	100	3.39	2
7	100	3.68	0
8	100	3.56	1
9	100	3.47	2
10	100	3.52	1
11	100	3.45	2
12	100	3.59	0
13	100	3.57	0
14	100	3.53	1
15	100	3.52	1
16	100	3.54	1
17	100	3.56	0
18	100	3.52	1
19	100	3.53	1
20	100	3.55	1
21	100	3.52	1
22	100	3.55	0
23	100	3.43	2
24	100	3.56	0
25	100	3.42	2
26	100	3.57	0
27	100	3.56	0
28	100	3.47	2
29	100	3.32	3
30	100	3.71	0

ตารางที่ 5.10 แสดงผลข้อมูลความหนาชิ้นงานหลังปรับปรุง

กลุ่มตัวอย่างที่	จำนวนชิ้นงาน (ชิ้น)	ความหนาชิ้นงานเฉลี่ย(มม.)	ของเสียพลาสติก (ชิ้น)
31	100	3.45	2
32	100	3.45	2
33	100	3.54	1
34	100	3.32	3
35	100	3.50	1
36	100	3.49	1
37	100	3.56	0
38	100	3.48	2
39	100	3.60	0
40	100	3.60	0
41	100	3.64	0
42	100	3.56	1
43	100	3.55	1
44	100	3.49	2
45	100	3.72	0
46	100	3.48	2
47	100	3.32	2
48	100	3.58	0
49	100	3.52	1
50	100	3.52	0
Total	5000	3.53	48

### ตารางที่ 5.10 (ต่อ) แสดงผลข้อมูลความหนาชิ้นงานหลังปรับปรุง

ผลข้อมูลหลังการปรับปรุงที่ระบุห่างการอัดชิ้นรูปชิ้นงาน 3.54 มิลลิเมตร ได้ค่าความหนาชิ้นงานเฉลี่ยเพิ่มขึ้นจากเดิม 3.34 เป็น 3.53 มิลลิเมตร แสดงให้เห็นว่าการศึกษาความหนาชิ้นงานเฉลี่ยจะสัมพันธ์กับปัจจัยที่กำหนดขึ้น โดยพบว่าความหนาที่เพิ่มขึ้นส่งผลต่อสัดส่วนของเสียพลาสติกที่ลดลง

### 5.6.1 ผลแสดงสัดส่วนของเสียโพมแทกหลังปรับปูง

สำหรับข้อมูลค่าเบี่ยงเบนมาตรฐานจากเดิม 0.1225 เหลือ 0.086 แสดงให้เห็นว่าการควบคุมตัวแปรอื่นๆ ที่เกี่ยวข้องให้คงที่ เช่น ความดันเครื่องจักร ระยะการสักหrovของแม่พิมพ์ และระยะเวลาการอัดขึ้นรูป สำหรับการปรับเพิ่มระยะห่างการอัดขึ้นรูปขึ้น โดยไม่ใช้มีการเลื่อนไปจากค่าเฉลี่ยเดิมของลูกค้ามากเกินไป ทำให้สัดส่วนของเสียในกระบวนการผลิตหลังการปรับปูงลดลงดังแสดงในตารางที่ 5.11

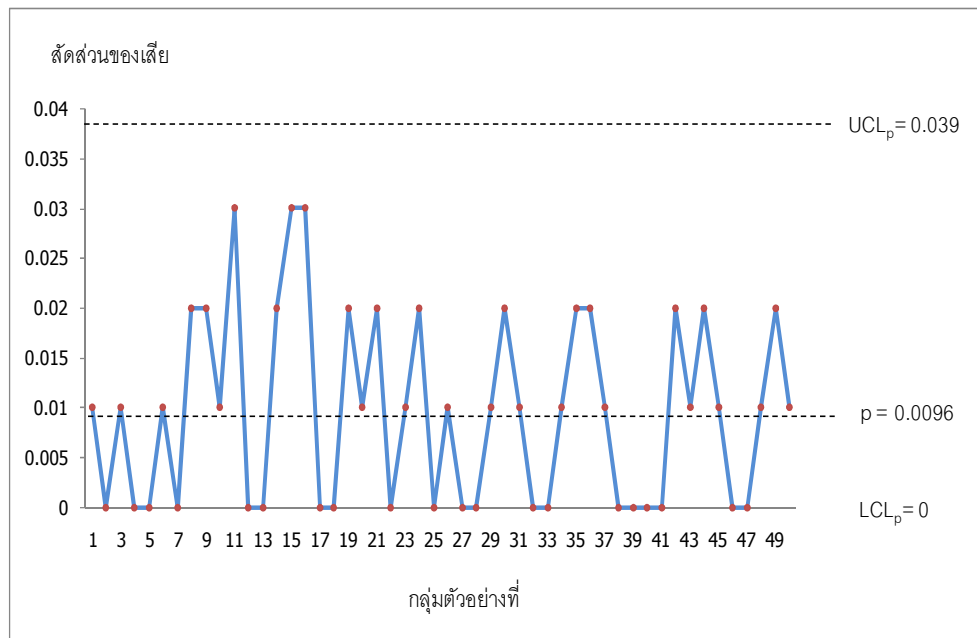
กลุ่มตัวอย่าง	ล็อต	จำนวนตัวอย่าง (n)	จำนวนของเสีย (n)	สัดส่วนของเสีย	เปอร์เซ็นต์ของเสีย	PPM
1	11	100	1	0.0100	1.00	10000
2	15	100	0	0.0000	0.00	0
3	17	100	1	0.0100	1.00	10000
4	2	100	0	0.0000	0.00	0
5	11	100	0	0.0000	0.00	0
6	4	100	1	0.0100	1.00	10000
7	10	100	0	0.0000	0.00	0
8	18	100	2	0.0200	2.00	20000
9	19	100	2	0.0200	2.00	20000
10	22	100	1	0.0100	1.00	10000
11	3	100	3	0.0300	3.00	30000
12	7	100	0	0.0000	0.00	0
13	16	100	0	0.0000	0.00	0
14	20	100	2	0.0200	2.00	20000
15	2	100	3	0.0300	3.00	30000
16	8	100	3	0.0300	3.00	30000
17	1	100	0	0.0000	0.00	0
18	6	100	0	0.0000	0.00	0
19	7	100	2	0.0200	2.00	20000
20	16	100	1	0.0100	1.00	10000

ตารางที่ 5.11 แสดงผลสัดส่วนของเสียโพมแทกหลังปรับปูง

กลุ่มตัวอย่าง	ลือต	จำนวนตัวอย่าง (ก)	จำนวนของเสีย (ก)	สัดส่วนของเสีย	ปรอท์ชันต์ของเสีย	PPM
21	1	100	2	0.0200	2.00	20000
22	3	100	0	0.0000	0.00	0
23	4	100	1	0.0100	1.00	10000
24	5	100	2	0.0200	2.00	20000
25	7	100	0	0.0000	0.00	0
26	1	100	1	0.0100	1.00	10000
27	9	100	0	0.0000	0.00	0
28	10	100	0	0.0000	0.00	0
29	15	100	1	0.0100	1.00	10000
30	2	100	2	0.0200	2.00	20000
31	15	100	1	0.0100	1.00	10000
32	2	100	0	0.0000	0.00	0
33	5	100	0	0.0000	0.00	0
34	5	100	1	0.0100	1.00	10000
35	11	100	2	0.0200	2.00	20000
36	5	100	2	0.0200	2.00	20000
37	4	100	1	0.0100	1.00	10000
38	20	100	0	0.0000	0.00	0
39	15	100	0	0.0000	0.00	0
40	14	100	0	0.0000	0.00	0
41	1	100	0	0.0000	0.00	0
42	2	100	2	0.0200	2.00	20000
43	7	100	1	0.0100	1.00	10000
44	18	100	2	0.0200	2.00	20000
45	18	100	1	0.0100	1.00	10000
46	3	100	0	0.0000	0.00	0
47	1	100	0	0.0000	0.00	0
48	12	100	1	0.0100	1.00	10000
49	12	100	2	0.0200	2.00	20000
50	15	100	1	0.0100	1.00	10000
รวม		5000	48	0.0096	0.96	9600

ตารางที่ 5.11 (ต่อ) แสดงสัดส่วนของเสียโพเมแตกหลังปรับปรุง

ผลลัพธ์สัดส่วนของเสียงงานไฟมแตกหลังการปรับปูง นำมาวิเคราะห์เพื่อควบคุมของเสียงไม่ให้เกินกว่าขอบเขตที่กำหนด จากการคำนวณค่าโดยการคำนวณ ซึ่งได้ค่าขอบเขตที่ยอมรับได้ด้านบน ( $UCL_p$ ) เท่ากับ 0.039 และค่าขอบเขตที่ยอมรับได้ด้านล่าง ( $LCL_p$ ) เท่ากับ 0 โดยมีค่าเฉลี่ย ( $p$ ) เท่ากับ 0.0096 ดังแสดงในรูปที่ 5.12



รูปที่ 5.12 กราฟแสดงสัดส่วนของเสียงหลังปรับปูง

จากราฟเห็นว่าสัดส่วนของเสียงไม่ตกลอยู่นอกเส้นควบคุม แสดงให้เห็นว่ากระบวนการผลิตยังคงปกติ ไม่พบสิ่งผิดปกติภายในกระบวนการ

### 5.7 ผลการประยุกต์ใช้วิธีการวิเคราะห์ค่าเพื่อแบบ Dymanic Root Sum of Squares

การประยุกต์ระยะห่างการอัดขึ้นรูปชิ้นงานด้วยวิธีแบบ DRSS แสดงค่าระยะห่างการอัดขึ้นรูปที่ใกล้เคียงกันกับวิธีแบบ Root Sum Squares แต่การนำแต่ละวิธีมาประยุกต์ต้องขึ้นอยู่กับความถันเด็ และข้อมูลที่เพียงพอต่อการวิเคราะห์ โดยแสดงรายละเอียดวิธีการคำนวณ ดังนี้

สมการ Dynamic Root Sum of Squares ของระยะห่างการอัดขึ้นรูป สมการแสดงด้านล่างนี้

$$\text{ค่าความแปรปรวน } (\sigma^2) = (\text{Tolerance}/3C_{pk})^2$$

เมื่อ  $C_{pk} = 1.5$  สำหรับระยะห่างการอัดขึ้นรูปที่ยอมรับได้ที่  $\pm 4.5\sigma$

$$\begin{aligned}\sigma^2 &= [(3.542-3.31)^2/(4.5)^2] \\ &= 0.054/20.25 \\ &= 0.0027\end{aligned}$$

การคำนวณค่าเพื่อระยะห่างการอัดขึ้นรูป

$$\begin{aligned}\sigma_{\text{thickness}} &= \sqrt{\sum(\text{Variance})} \\ &= \sqrt{0.0027} \\ &= 0.052\end{aligned}$$

$$\begin{aligned}\text{ค่าเพื่อระยะห่างการอัดขึ้นรูป} &= \pm 3\sigma \\ &= \pm (3 * 0.052) \\ &= \pm 0.155 \text{ มิลลิเมตร}\end{aligned}$$

จากการคำนวณค่าเพื่อแบบวิธี Dynamic Root Sum of Squares พบว่าค่าเพื่อการสามารถนำไปปฏิบัติกับระยะห่างการอัดขึ้นรูปผ้าหลังคา โดยนำไปปฏิบัติในค่าบวกมากกว่า เนื่องจาก การทดลองวิเคราะห์โดยรวมค่าเพื่อการด้านบวก จะทำให้เกิดของเสียงน้อยกว่า ค่าเพื่อการด้านลบ

## 5.8 สรุปผลการเปรียบเทียบระยะห่างการอัดขึ้นรูปชิ้นงานก่อนและหลังการปรับปรุง

### 5.8.1 ผลการปรับปรุงความสามารถด้านศักยภาพของกระบวนการผลิตผ้าหลังคา

จากการศึกษาความสามารถของกระบวนการการอัดขึ้นรูปชิ้นงานผ้าหลังคา (Process capability) หรืออีกนัยหนึ่งเป็นการศึกษาอัตราส่วนระหว่างความความผันแปรโดยสาเหตุธรรมชาติของกระบวนการกับช่วงความกว้างของ Specification ผลการศึกษาแสดงในตารางที่ 5.4 โดยพบว่าหลังการปรับปรุง ค่าความหนาชิ้นงานเฉลี่ยกระบวนการมีค่าสูงขึ้นโดยขยายทางด้านค่าเบ้าหมายมากขึ้นจากเดิม 3.34 เป็น 3.53 ซึ่งแสดงว่ากระบวนการเข้าใกล้ค่าเบ้าหมายหรือค่ากลางของเกณฑ์มาตรฐานกำหนด (3.5) มากขึ้น และค่า S.D. นั้นมีค่าลดลงจากเดิม S.D. เพิ่อกับ 0.113 เป็น 0.087 ซึ่งหมายถึงข้อมูลมีความเบี่ยงเบนน้อยลงกว่าตอนก่อนปรับปรุง

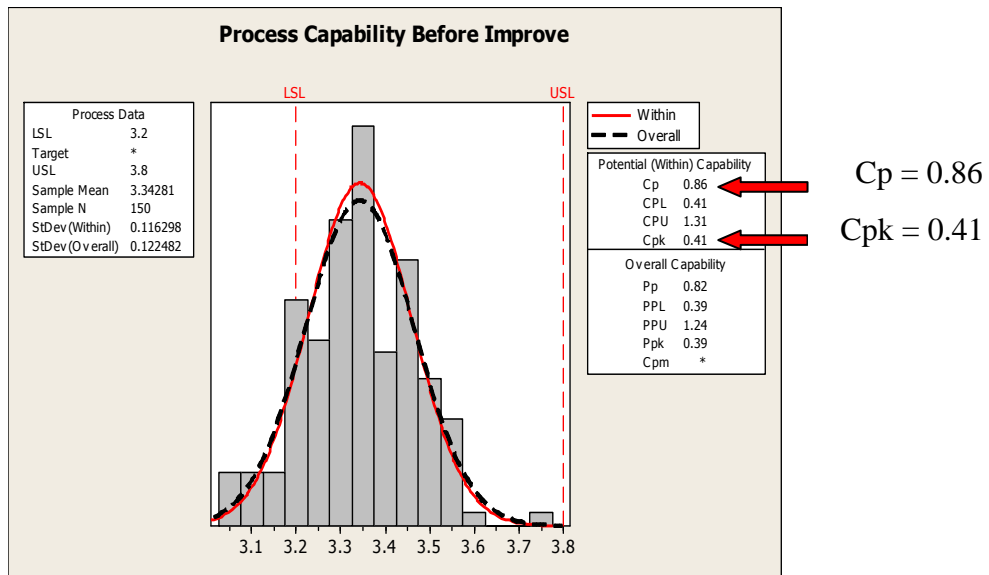
นอกเหนือจากนี้หลังจากการปรับปรุงกระบวนการและภารกิจหน้าที่มาตรฐานการทำงาน ค่า Cp สูงขึ้นจากเดิม 0.41 เป็น 1.18 แสดงถึงกระบวนการทดลองจะสามารถอัดขั้นรุปมีความสามารถที่จะให้ค่าการทดลองสอดคล้องตามข้อกำหนดของมาตรฐาน (3.2-3.8) มากขึ้น หรือ ค่าความสามารถของกระบวนการสูงขึ้น เนื่องจากค่า S.D.ลดลง

แต่อย่างไรก็ตามหลังปรับปรุงพบว่า Cp กับ Cpk ยังมีค่าไม่เท่ากันเนื่องจาก ค่าเฉลี่ยของกระบวนการยังไม่ตรงกับค่าเป้าหมายหรือค่ากลางของเกณฑ์มาตรฐานกำหนด (3.5) ดังนั้นหากจะทำการปรับปรุงต่อไปจำเป็นต้อง shift กระบวนการทางด้านค่าเป้าหมายหรือค่ากลางของเกณฑ์มาตรฐานกำหนดและลดค่าความผันแปรหรือค่าเบี่ยงเบนมาตรฐาน ( $\sigma$ ) ของกระบวนการจากการทดสอบลง ปรับปรุงโดยแสดงผลสรุปดังตารางที่ 5.12

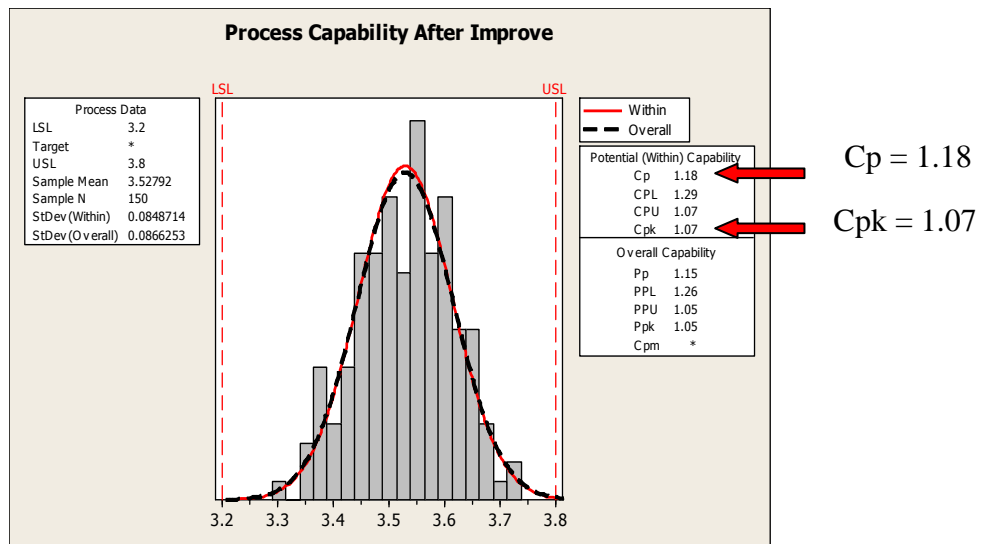
ชื่อค่า	ก่อนทำการปรับปรุง	หลังทำการปรับปรุง
n	5000	5000
$\bar{X}$	3.34	3.53
S.D. within	0.1225	0.086
Cp	0.86	1.18
Cpk	0.41	1.07

ตารางที่ 5.12 แสดงผลการเบรี่ยบเทียบเทียบชื่อค่าความสามารถกระบวนการก่อนและหลังการปรับปรุง

จากตารางที่ 5.12 นำผลการวิเคราะห์ชื่อค่าและประมาณผลการศึกษาความสามารถของกระบวนการด้วย Minitab 15 ก่อนและหลัง แสดงในรูปที่ 5.13 และ 5.14



รูปที่ 5.13 แสดงความสามารถของกระบวนการผลิตก่อนปรับปรุง



รูปที่ 5.14 แสดงความสามารถของกระบวนการผลิตหลังปรับปรุง

### 5.8.2 สรุปผลค่าเพื่อระยะห่างการอัดขึ้นรูปผ้าหลังคา

ข้อมูลทั้งหมดสามารถนำมากำหนดค่าเพื่อระยะห่างการอัดขึ้นรูปผ้าหลังคาเพื่อนำไปประยุกต์ใช้เป็นหลักการพื้นฐานสำหรับศึกษาภัยแล้งผลิตภัณฑ์ผ้าหลังครุ่นอื่นๆ ดังแสดงการเปรียบเทียบก่อนและหลังในตารางที่ 5.13

ระยะการอัดขึ้นรูปเดิม			ระยะการอัดขึ้นรูปใหม่		
ขนาดกลาง	ค่าเพื่อบน	ค่าเพื่อล่าง	ขนาดกลาง	ค่าเพื่อบน	ค่าเพื่อล่าง
มิลลิเมตร	มิลลิเมตร	มิลลิเมตร	มิลลิเมตร	มิลลิเมตร	มิลลิเมตร
3.5	0.3	0.3	3.545	0.231	0.231

ตารางที่ 5.13 แสดงผลสรุปค่าเพื่อระยะห่างการอัดขึ้นรูปก่อนและหลังปรับปรุง

## บทที่ 6

### บทวิจารณ์และสรุปผลการวิจัย

วิทยานิพนธ์ฉบับนี้ วัตถุประสงค์เพื่อพัฒนาระบบที่ห้ามผิดพลาดขึ้นรูปชิ้นงานฝ้าหลังคาให้เหมาะสมสุด และลดปริมาณของเสียงไฟฟ้าแต่ละชิ้นงานฝ้าหลังคาโดยใช้พื้นฐานการคำนวนทางสถิติด้วยหลักการวิเคราะห์ค่าเพื่อแบบ RSS มาใช้สำหรับการพิจารณา

#### 6.1 บทวิจารณ์

จากการวิจัยในครั้งนี้ อาจมีผลการวิจัยบางส่วนที่ไม่ตรงกับแนวคิดและทฤษฎีซึ่งเป็นผลมาจากการสาเหตุต่างๆ ดังนี้

1. ปัจจัยที่เป็นสาเหตุของเสียงไฟฟ้าแต่ละชิ้นที่ห้ามผิดพลาด ได้มาจากกระบวนการระดมความคิดของแต่ละส่วนงานในโรงงานตัวอย่าง ถือเป็นข้อมูลลักษณะนามธรรม ซึ่งอาจเกิดความผิดพลาดขึ้นได้ เนื่องจากมีปัจจัยอื่นที่เป็นสาเหตุแต่ไม่ได้ทำการควบคุม ดังนั้นปัจจัยค่าเพื่ออาจไม่ได้เป็นตัวแปรเพียงตัวเดียวในการระบบที่ห้ามผิดพลาดขึ้นรูปที่เหมาะสม อาจเกิดจากปัจจัยอื่นๆ เช่น ดีไซด์ของแม่พิมพ์ วัตถุดิบสำหรับใช้ผลิตฝ้าหลังคา เป็นต้น

2. การระบบที่ห้ามผิดพลาดของเสียงไฟฟ้าแต่ละชิ้นที่ห้ามผิดพลาด สามารถใช้สมการเชิงสถิติแบบ RSS ดังแสดงในตารางที่ 5.5 มาจากแบ่งช่วงการทดลองของระบบที่ห้ามผิดพลาดขึ้นรูปที่ 2 เปอร์เซนต์ และจำนวนตัวอย่างต่อหนึ่ง ระยะห่างการห้ามผิดพลาดที่ 50 กลุ่มๆ ละ 100 ชิ้น ทำให้ลักษณะเส้นกราฟจากการทดลองจึงเป็นชันลงเรื่อยๆ ตามปริมาณของเสียง ดังแสดงไว้ในรูปที่ 5.9 กล่าวถึงลักษณะการทดลองจริง ถ้าในกระบวนการมีค่าเฉลี่ยนของไปจากค่าเป้าหมายในทางบวก เกิดของเสียงที่หลุดออกจาก Specification ของลูกค้าเป็นจำนวนมากมาก แต่ในการทดลองกับกระบวนการผลิตฝ้าหลังคาพบว่าค่าที่หลุดออกไปคือ ค่าความหนาชิ้นงานที่เกินกว่า 3.8 มิลลิเมตร ซึ่งจากขอบเขตการวิจัยนำมาศึกษาเพียงไฟฟ้าแต่ละชิ้น สำหรับกรณีนี้ทางโรงงานตัวอย่าง สามารถนำชิ้นงานฝ้าหลังcame ห้ามผิดพลาดขึ้นรูปช้าเพื่อให้ได้ความหนาตามต้องการ

3. ผลลัพธ์ของเสียงที่ได้จากการปรับปรุงโดยการเสริมแผ่นเหล็ก ยังคงเกิดความแปรปรวนอยู่ เนื่องด้วยการยึดติดแผ่นเหล็กด้วยสกรูนั้น อาจส่งผลต่อการเคลื่อนที่ของแผ่น Shim ได้ หลังมีการใช้งานไปเป็นระยะเวลานานๆ คือเกิดการสึกหรอบริเวณแผ่น Shim และ Stopper ด้านล่าง ซึ่งเกิดความคลาดเคลื่อนจากระยะห่างการห้ามผิดพลาดขึ้นรูปจริงไป ทำให้ชิ้นงานมีค่าความหนาลดลง

4. ผลลัพธ์ของเสียงไฟฟ้าแบบเด็กส่วนหนึ่งอาจเกิดขึ้นเพื่อการลดปัญหาอย่างถาวรได้นั้น ควรมีการวิเคราะห์ในส่วนของการออกแบบแบบแม่พิมพ์ จะสามารถช่วยลดของบกพร่องการแตกของไฟฟ้า บริเวณนี้ได้

5. เครื่องมือและอุปกรณ์ที่นำมาปฏิบัติงานจริง ซึ่งถูกกำหนดค่าเพื่อและขนาดไว้แล้ว มีเพียง 5 ชุด ถือว่าเป็นจำนวนค่อนข้างน้อย เนื่องจากมีข้อกำหนดด้านค่าใช้จ่ายในการสั่งทำ ทำให้ผลลัพธ์ของเสียงที่ได้อาจไม่ตรงกับความเป็นจริง เมื่อทำ Hariผลิตภัณฑ์มาก (Mass Production) เพราะการกระจายของข้อมูลต่างๆและค่าเฉลี่ยมีความไม่คงที่แน่นอน

6. จำนวนตัวอย่างในการทดลองโดยใช้เครื่องมือและอุปกรณ์ที่ถูกจัดเตรียมมา มีปริมาณน้อย เพียง 50 ล็อตฯลฯ 100 ชิ้นเท่านั้น อันเนื่องมาจากระยะเวลาในการวิจัยมีจำกัด เนื่องแต่ละครั้งต้องมีการออกเอกสารขอการทดลองผลิตจากโรงงานตัวอย่างก่อนทุกครั้ง และทำการทดลองเพียงสายการผลิตเดียว ดังนั้นหากทำการทดลองโดยใช้จำนวนตัวอย่างในปริมาณที่มากกว่านี้ จะทำให้ผลการทดลองมีความถูกต้องและแม่นยำมากยิ่งขึ้น

7. งานวิจัยนี้ได้มีการเก็บข้อมูลของเสียงไฟฟ้าแบบเด็ก และนำมาศึกษาเพื่อปรับปรุงระยะห่างการอัดขึ้นรูปให้เหมาะสมสุด นั้นมีค่าเพื่อระยะห่างการอัดขึ้นรูปที่ควบคุมไว้เดิม คือต้องการลดความแปรปรวนที่จะเกิดขึ้น จึงได้มีควบคุมปัจจัยอื่นๆให้ได้ด้วย เช่น ความดันอัดของเครื่องจักร ระยะการสึกหรอบริเวณสต็อก เปอร์ความมีการเสริมด้วยแผ่นเหล็กรองเพื่อเป็นมาตรฐานก่อนทำการผลิตดังนี้

1. ความดันของเครื่องจักรที่อัดขึ้นรูปชิ้นงาน อยู่ในช่วงความคุณภาพ 125±5 บาร์ ตามข้อมูลระยะห่างการอัดขึ้นรูปที่เหมาะสมจะสัมพันธ์กับความดันที่ 121 บาร์

2. ระยะการสึกหรอของสต็อกเปอร์คราวเริ่มดำเนินการปรับปรุงหรือเปลี่ยนรัสดูใหม่ ตั้งแต่จำนวนระยะการอัดขึ้นรูปสะสม 4,000 ครั้งขึ้นไป (ถ้ามีการเสริมด้วยแผ่นเหล็กรองตั้งแต่เริ่มดำเนินการผลิต)

3. ระยะห่างการอัดขึ้นรูปที่เหมาะสมอยู่ที่ค่าเพื่อคลัง เท่ากับ 3.545 มิลลิเมตร จากการศึกษาแนวโน้มการผลิตความมีความหนาชิ้นงานเฉลี่ยสูงขึ้น ดังนั้นเพื่อให้ลดข้อบกพร่องไฟฟ้าแบบเด็ก ควรกำหนดค่าเพื่อการผลิตไปในทิศทางบวก (ค่าเฉลี่ยชิ้นงานสูงขึ้น) แต่ไม่ควรเกินขอบเขตบนสุดที่กำหนดไว้ คือ 3.77 มิลลิเมตร

การปรับ Condition ตามข้อกำหนดต่างๆ อาจต้องใช้สูญเสียเวลาในการติดตั้ง และเพิ่มต้นทุนในการทดลองเบื้องต้นเพิ่มขึ้น (Pre Trial)

## 6.2 สรุปผลโครงการงานวิจัย

1. การพัฒนาค่าเพื่อระยะห่างการอัดขึ้นรูปสำหรับชิ้นงานผ้าหลังคา เริ่มจากการทดลองระยะห่างการอัดขึ้นรูปต่างๆ จากการทดลองจริง ซึ่งสามารถหาระยะห่างการอัดขึ้นรูปที่เหมาะสมมีค่ากลางเท่ากับ 3.545 มิลลิเมตร มีค่าผิวไฟฟ้าเท่ากับ  $\pm 0.231$  มิลลิเมตร การปรับเพิ่มระยะห่างการอัดขึ้นรูปตามที่กล่าวไว้นั้น ได้ความหนาชิ้นงานเฉลี่ยหลังจากผ่านกระบวนการการอัดขึ้นรูปจากเดิมเท่ากับ 3.34 เป็น 3.53 มิลลิเมตร สามารถลดของเสียจากไฟฟ้าลงได้ 72.88 %

2. การทดลองจากการปรับปรุงแม่พิมพ์โดยการเสริมแผ่นเหล็กบริเวณสต็อปเปอร์ด้านล่าง (Shim Thickness) เพื่อลดความแปรปรวนจากการสึกหรอของแม่พิมพ์ ซึ่งเป็นสาเหตุหนึ่งที่ทำให้เกิดของเสียไฟฟ้า แต่การปรับปรุงกระบวนการรัดด้วยรูปแบบนี้ สามารถลดความแปรปรวนโดยการอัดขึ้นรูปสะสมชิ้นงานผ้าหลังคาจากเดิม 2,000 ครั้ง/50 ล็อตการผลิต เป็น 4,000 ครั้ง/50 ล็อตการผลิต

3. ความสามารถกระบวนการผลิต คือ ดัชนีวัดความสามารถของกระบวนการพัฒนาขึ้นจากปัจจุบัน ซึ่งมีการทดลองแสดงให้เห็นว่าค่า Cpk ของกระบวนการผลิตจากเดิม  $1.5\sigma$  เป็น  $3\sigma$

## 6.3 ข้อเสนอแนะ

1. สำหรับกระบวนการผลิตระยะห่างการอัดขึ้นรูปจริง มีหลายปัจจัยที่เกี่ยวข้องกับของเสียไฟฟ้า นอกจากเนื้อจากปัจจัยค่าเพื่อระยะห่างการอัดขึ้นรูปที่เป็นหัวข้อศึกษาหลัก ส่วนปัจจัยอื่นๆ เช่น ความดันของเครื่องจักร ระยะการสึกหรอของเครื่องจักร และระยะห่างการอัดขึ้นรูป เป็นต้น ปัจจัยที่สามารถควบคุมได้ จึงควรมีการควบคุมปัจจัยให้คงที่ตามมาตรฐานกำหนดทุกครั้ง

2. งานวิจัยนี้เน้นการกำหนดค่าเพื่อระยะห่างการอัดขึ้นรูปโดยการปรับปรุงอุปกรณ์ และเครื่องมือ วัด ซึ่งข้อมูลที่บันทึกได้มาจากกระบวนการทดลองปฏิบัติงานจริง แล้วนำค่าที่ได้ไปประมวลผลเพื่อนำไปกำหนดค่าเพื่อต่อไป จึงเป็นการไม่สะดวกเมื่อนำไปใช้งานจริงในกระบวนการหรือกับรุ่นอื่นๆ ควรทำโปรแกรมขึ้นมาช่วยเพื่อให้มีประสิทธิภาพมากยิ่งขึ้น

3. การขยายผลไปกับผลิตภัณฑ์รุ่นอื่นๆ ที่มีรูปร่างแม่พิมพ์ และขนาดของชิ้นงานที่แตกต่างกัน ความมีการเก็บเป็นประวัติให้ตรวจสอบถึงแนวโน้มของเสียที่จะเกิดขึ้นในอนาคตกับขนาดหรือรูปร่างแม่พิมพ์ ที่เปลี่ยนแปลงไป

4. ระยะห่างการอัดขึ้นรูปที่เกินกว่าระดับที่ยอมรับได้ เกิดขึ้นมาจากการปั๊มค่าเพื่อของอุปกรณ์ที่ใช้ สำหรับปรับแต่งแม่พิมพ์ สำหรับการปฏิบัติผลิตงานจริง จึงควรมีการตรวจสอบระยะห่างการอัดขึ้นรูป ก่อนทำการผลิตทุกครั้งที่มีการอัดขึ้นรูป

5. การดำเนินงานวิจัยนี้จะมุ่งพิจารณาในขอบเขตของเสียฟองแตกเท่านั้น จะไม่ได้นำข้อมูลเรื่อง ของเสียที่เกิดจากความหนาชิ้นงานไม่ได้ตามมาตรฐานมาใช้ในพิจารณาเพื่อหาระยะห่างการอัดขึ้นรูปที่เหมาะสม เพื่อทำให้งานวิจัยนี้มีประสิทธิภาพมากขึ้น ควรมีการเพิ่มเติมข้อมูลในส่วนนี้เพื่อทำให้งานวิจัยนี้มี ความสมบูรณ์ยิ่งขึ้น

#### 6.4 ข้อจำกัดของงานวิจัย

1. การพิจารณาความดันการอัดขึ้นรูปและระยะการสีกหรอชิ้นงานไม่ได้นำมาใช้ในการคำนวณค่า เพื่อระยะห่างการอัดขึ้นรูป แต่เพื่อเป็นการศึกษาแนวทางในการพัฒนาสำหรับนำไปกำหนดระยะห่างการ อัดขึ้นรูปเท่านั้น

2. การปรับความดันอัดเพิ่มมากขึ้นมีผลต่อกลางหนาชิ้นงานอย่างเดียวเท่านั้น โดยไม่เกี่ยวข้องกับ อุณหภูมิเครื่องจักร ระยะเวลาการอัดขึ้นรูป ระยะการสีกหรอ และระยะห่างการอัดขึ้นรูป เนื่องจากมีการ กำหนดค่าคงที่ไว้ก่อนการทดลองทุกครั้ง ดังนี้

- อุณหภูมิที่ใช้สำหรับการทดลอง ควบคุมเท่ากับ  $135 \pm 5^{\circ}\text{C}$
- ระยะเวลาที่ใช้สำหรับการทดลอง ควบคุมเท่ากับ  $35 \pm 5$  วินาที
- ระยะการสีกหรอที่ใช้สำหรับการทดลอง ควบคุมเท่ากับ  $0.02$  มิลลิเมตรต่อครั้งการ บำรุงรักษา
- ระยะห่างการอัดขึ้นรูปที่ใช้สำหรับ ควบคุมเท่ากับ  $3.5 \pm 0.3$  มิลลิเมตร

3. การกำหนดระยะเวลาการสักหรอมีผลต่อความหนาชิ้นงานอย่างเดียวเท่านั้น โดยไม่เกี่ยวข้องกับ อุณหภูมิเครื่องจักร ระยะเวลาการอัดขึ้นรูป ความดันเครื่องจักร และระยะห่างการอัดขึ้นรูป เนื่องจากมีการ กำหนดค่าคงที่ไว้ก่อนการทดลองทุกครั้ง ดังนี้

- อุณหภูมิที่ใช้สำหรับการทดลอง ควบคุมเท่ากับ  $135 \pm 5^{\circ}\text{C}$
- ระยะเวลาที่ใช้สำหรับการทดลอง ควบคุมเท่ากับ  $35 \pm 5$  วินาที
- ความดันเครื่องจักรที่ใช้สำหรับการทดลอง ควบคุมเท่ากับ  $125 \pm 5$  บาร์
- ระยะห่างการอัดขึ้นรูปที่ใช้สำหรับ ควบคุมเท่ากับ  $3.5 \pm 0.3$  มิลลิเมตร

## รายการอ้างอิง

### ภาษาไทย

กิตติศักดิ์ พloypanichereep. สถิติงานวิศวกรรม เล่ม 1. พิมพ์ครั้งที่ 3. กรุงเทพมหานคร: สมาคมส่งเสริมเทคโนโลยี (ไทย-ญี่ปุ่น), 2545.

กิตติศักดิ์ พloypanichereep. สถิติงานวิศวกรรม เล่ม 2. พิมพ์ครั้งที่ 2. กรุงเทพมหานคร: สมาคมส่งเสริมเทคโนโลยี (ไทย-ญี่ปุ่น), 2545.

พพัฒน์ เนาวัตน์กุลชัย. การจัดสรรค่าเพื่อและขนาดสำหรับเครื่องมือในกระบวนการเชื่อมติดของชิ้นงานแผ่นหัวอ่านเขียน. วิทยานิพนธ์ปริญญามหาบัณฑิต. ภาควิชาวิศวกรรมอุตสาหการ บัณฑิตวิทยาลัย จุฬาลงกรณ์มหาวิทยาลัย, 2545.

รณชัย ศิโรเวสกุล. การจัดสรรค่าเพื่อเหมาะสมที่สุดสำหรับการประกอบ เพลาและเครื่องสูบน้ำมัน รถยนต์. วิทยานิพนธ์ปริญญามหาบัณฑิต. ภาควิชาวิศวกรรมอุตสาหการ บัณฑิตวิทยาลัย จุฬาลงกรณ์มหาวิทยาลัย, 2541.

วันรัตน์ จันทกิจ. 17 คู่มือแก้ไข Problem Solving Device. พิมพ์ครั้งที่ 4. กรุงเทพมหานคร: สถาบันเพิ่มผลผลิตแห่งชาติ, 2547.

วันรัตน์ จันทกิจ. 17 คู่มือแก้ไข Problem Solving Device. พิมพ์ครั้งที่ 5. กรุงเทพมหานคร: สถาบันเพิ่มผลผลิตแห่งชาติ, 2549.

ศิริจันทร์ ทองประเสริฐ และ จันทร์ จันทร์. สถิติสำหรับงานวิศวกรรม. พิมพ์ครั้งที่ 2. กรุงเทพมหานคร: สำนักพิมพ์แห่งจุฬาลงกรณ์มหาวิทยาลัย, 2545.

### ภาษาอังกฤษ

Doty, L.A. Statistical Process Control. 1<sup>st</sup> ed. pp 50-53. United States of America: Industrial Press, 1990.

Douglas, C. Montgomery. Introduction to Statistic Quality Control. 4<sup>th</sup> ed. pp 350-369. Singapore: John Wiley & Son, 2001.

Fowlkes, W.Y. and Creveling, C.M. Engineering Methods for Robust Product Design Using Taguchi Method in Technology and Product Development. 1<sup>st</sup> ed. pp 75-83. Singapore: Addison-Wesley Publishing, 1995.

Groover, M.P. Fundamental of Modern Manufacturing: Material, Process and System. Student ed. pp 263-272. Singapore: John Wiley & Son, 2007.

Messina, W.S. Statistic Quality Control for Manufacturing Managers. 1<sup>st</sup> ed. pp 87-93. Singapore:  
John Wiley&Sons, 1991.

Walpole, M.Y. Probability & Statistics for Engineers&Scientists. 7<sup>th</sup> ed. United States of America:  
Prentice Hall, 2002.

ภาคผนวก

**ภาคผนวก ก**  
**ค่าผลการทดสอบความสัมพันธ์แต่ละปัจจัยกับความหนาชี้นงาน**

ตารางที่ ก.1 ตารางแสดงความสัมพันธ์ระหว่างความดีงามเครื่องจักรกับความหนาชี้นงาน

ตารางที่ ก.2 ตารางแสดงค่าความสัมพันธ์ระหว่างจำนวนครั้งสะสมกับความหนาชี้นงาน

ตารางที่ ก.3 ตารางแสดงค่าระดับการแตกของชี้นงานไฟมกับความหนาชี้นงาน (ก่อนปรับปูง)

ตารางที่ ก.4 ตารางแสดงค่าระดับการแตกของชี้นงานไฟมกับความหนาชี้นงาน (หลังปรับปูง)

ตารางที่ ก.1 ตารางแสดงความสัมพันธ์ระหว่างความดันเครื่องจักรกับความหนาชี้นงาน

ความดัน กลุ่มตัวอย่าง \ ความดัน	120	121	122	123	124	125	126	127	128	129	130
1	3.54	3.54	3.53	3.53	3.54	3.53	3.53	3.51	3.52	3.51	3.52
2	3.54	3.53	3.55	3.53	3.53	3.54	3.53	3.52	3.52	3.51	3.50
3	3.54	3.53	3.55	3.53	3.53	3.53	3.53	3.52	3.52	3.51	3.51
4	3.55	3.54	3.54	3.54	3.53	3.53	3.53	3.51	3.52	3.51	3.52
5	3.55	3.54	3.55	3.52	3.53	3.53	3.53	3.52	3.52	3.49	3.51
6	3.55	3.55	3.54	3.53	3.53	3.54	3.53	3.52	3.51	3.51	3.51
7	3.54	3.54	3.53	3.52	3.53	3.53	3.53	3.52	3.52	3.52	3.51
8	3.54	3.54	3.55	3.53	3.53	3.52	3.53	3.52	3.52	3.51	3.51
9	3.53	3.54	3.53	3.53	3.53	3.53	3.54	3.52	3.52	3.51	3.51
10	3.55	3.53	3.54	3.53	3.54	3.53	3.53	3.53	3.51	3.51	3.52
11	3.54	3.54	3.54	3.53	3.52	3.53	3.53	3.53	3.53	3.50	3.51
12	3.55	3.54	3.54	3.53	3.54	3.54	3.53	3.52	3.52	3.51	3.51
13	3.55	3.54	3.53	3.53	3.53	3.52	3.53	3.53	3.52	3.51	3.51
14	3.54	3.53	3.53	3.53	3.52	3.53	3.53	3.52	3.53	3.51	3.52
15	3.54	3.53	3.55	3.53	3.53	3.53	3.53	3.52	3.52	3.51	3.50

ตารางที่ ก.1(ต่อ) ตารางแสดงค่าความสัมพันธ์ระหว่างความดันเครื่องจักรกับความหนาชี้นงาน

ความดัน กลุ่มตัวอย่าง \ ความดัน	120	121	122	123	124	125	126	127	128	129	130
16	3.55	3.54	3.55	3.54	3.53	3.53	3.53	3.51	3.52	3.51	3.51
17	3.54	3.53	3.54	3.53	3.54	3.53	3.53	3.52	3.53	3.51	3.52
18	3.54	3.54	3.55	3.53	3.53	3.53	3.53	3.52	3.52	3.50	3.52
19	3.54	3.53	3.53	3.53	3.52	3.54	3.52	3.53	3.52	3.51	3.51
20	3.54	3.54	3.53	3.53	3.53	3.52	3.54	3.52	3.53	3.51	3.51
21	3.54	3.54	3.54	3.53	3.53	3.54	3.54	3.51	3.52	3.50	3.51
22	3.54	3.53	3.54	3.53	3.53	3.52	3.52	3.52	3.52	3.51	3.52
23	3.54	3.54	3.54	3.52	3.53	3.53	3.53	3.52	3.51	3.51	3.51
24	3.54	3.54	3.54	3.53	3.53	3.53	3.53	3.52	3.52	3.51	3.50
25	3.54	3.53	3.54	3.53	3.54	3.53	3.53	3.52	3.51	3.52	3.51
26	3.54	3.53	3.54	3.53	3.53	3.53	3.53	3.52	3.51	3.51	3.50
27	3.53	3.54	3.55	3.54	3.53	3.53	3.53	3.51	3.52	3.51	3.50
28	3.54	3.55	3.54	3.53	3.53	3.53	3.53	3.53	3.54	3.52	3.51
29	3.54	3.54	3.53	3.52	3.54	3.52	3.53	3.53	3.51	3.52	3.52
30	3.54	3.54	3.54	3.53	3.52	3.53	3.53	3.52	3.51	3.51	3.50
ค่าเฉลี่ย	3.54	3.54	3.54	3.53	3.53	3.53	3.53	3.53	3.52	3.51	3.51

ตารางที่ ก.2 ตารางแสดงค่าความสัมพันธ์ระหว่างจำนวนครั้งสะสูมกับความหนาชี้นงาน

จำนวนครั้งสะสูม กลุ่มตัวอย่างที่	500	1000	1500	2000	2500	3000	3500	4000	4500	5000
1	3.60	3.55	3.54	3.54	3.53	3.54	3.53	3.52	3.51	3.51
2	3.59	3.56	3.55	3.53	3.55	3.54	3.54	3.52	3.51	3.50
3	3.60	3.56	3.55	3.54	3.53	3.53	3.53	3.52	3.51	3.51
4	3.61	3.56	3.56	3.55	3.54	3.55	3.53	3.52	3.51	3.52
5	3.60	3.57	3.55	3.54	3.55	3.54	3.55	3.52	3.50	3.52
6	3.59	3.57	3.56	3.54	3.55	3.53	3.54	3.52	3.50	3.50
7	3.60	3.58	3.56	3.54	3.54	3.54	3.55	3.51	3.50	3.51
8	3.60	3.57	3.55	3.54	3.53	3.54	3.54	3.51	3.51	3.51
9	3.60	3.56	3.55	3.55	3.53	3.54	3.54	3.52	3.51	3.50
10	3.59	3.56	3.54	3.54	3.55	3.54	3.53	3.52	3.51	3.51
11	3.60	3.56	3.54	3.54	3.53	3.54	3.54	3.52	3.50	3.50
12	3.60	3.55	3.55	3.54	3.54	3.53	3.53	3.51	3.51	3.51
13	3.60	3.57	3.55	3.54	3.54	3.54	3.55	3.52	3.52	3.51
14	3.60	3.56	3.55	3.55	3.55	3.54	3.54	3.51	3.52	3.51
15	3.60	3.56	3.55	3.54	3.55	3.54	3.55	3.52	3.51	3.51

ตารางที่ ก.2 (ต่อ) ตารางแสดงค่าความสมพันธ์ระหว่างจำนวนครั้งสะสนมกับความหนาชี้นงาน

จำนวนครั้งสะสนม กลุ่มตัวอย่างที่	500	1000	1500	2000	2500	3000	3500	4000	4500	5000
16	3.60	3.55	3.54	3.55	3.54	3.54	3.55	3.52	3.51	3.51
17	3.60	3.56	3.56	3.54	3.54	3.53	3.53	3.52	3.52	3.51
18	3.60	3.55	3.55	3.54	3.54	3.54	3.53	3.51	3.51	3.52
19	3.60	3.57	3.55	3.54	3.54	3.54	3.55	3.52	3.51	3.51
20	3.60	3.57	3.55	3.55	3.54	3.53	3.54	3.52	3.51	3.51
21	3.60	3.56	3.54	3.54	3.55	3.54	3.54	3.52	3.51	3.51
22	3.60	3.55	3.55	3.54	3.54	3.53	3.54	3.51	3.52	3.52
23	3.60	3.56	3.55	3.54	3.54	3.54	3.54	3.51	3.51	3.50
24	3.61	3.56	3.56	3.54	3.54	3.54	3.55	3.52	3.51	3.52
25	3.60	3.56	3.55	3.55	3.55	3.54	3.53	3.51	3.51	3.51
26	3.60	3.57	3.55	3.54	3.54	3.54	3.54	3.52	3.51	3.51
27	3.60	3.56	3.55	3.54	3.55	3.54	3.54	3.51	3.51	3.51
28	3.60	3.56	3.55	3.54	3.54	3.53	3.53	3.52	3.50	3.50
29	3.60	3.56	3.55	3.54	3.54	3.53	3.53	3.53	3.50	3.50
30	3.60	3.56	3.55	3.54	3.55	3.54	3.54	3.52	3.51	3.50
รวม	3.60	3.56	3.55	3.54	3.54	3.54	3.54	3.52	3.51	3.51

ตารางที่ ก.3 ตารางแสดงค่าระดับการแตกของชิ้นงานไฟมกับความหนาชิ้นงานก่อนปรับปูรุ่ง

กอุ่มตัวอย่างที่	สีอชม	ครั้งที่ 1	ครั้งที่ 2	ครั้งที่ 3	ความหนาเฉลี่ย	ชิ้นงานแตก
1	11	3.56	3.46	3.67	3.56	1
2	15	3.22	3.44	3.29	3.32	3
3	17	3.05	3.29	3.27	3.21	5
4	2	3.47	3.03	3.25	3.25	9
5	11	3.35	3.24	3.41	3.33	3
6	4	3.45	3.40	3.42	3.42	1
7	10	3.07	3.37	3.46	3.30	4
8	18	3.07	3.35	3.35	3.26	4
9	19	3.27	3.22	3.34	3.28	6
10	22	3.29	3.08	3.34	3.24	10
11	3	3.30	3.44	3.21	3.32	4
12	7	3.26	3.41	3.25	3.31	4
13	16	3.48	3.37	3.32	3.39	3
14	20	3.37	3.21	3.43	3.34	4
15	2	3.40	3.34	3.22	3.32	4
16	8	3.53	3.50	3.29	3.44	1
17	1	3.34	3.48	3.51	3.44	1
18	6	3.29	3.15	3.31	3.25	5
19	7	3.22	3.44	3.31	3.32	6
20	16	3.11	3.15	3.20	3.16	5
21	1	3.53	3.22	3.50	3.42	2
22	3	3.35	3.25	3.47	3.36	4
23	4	3.32	3.37	3.29	3.33	2
24	5	3.35	3.29	3.29	3.31	2
25	7	3.38	3.48	3.28	3.38	3
26	1	3.55	3.21	3.17	3.31	3
27	9	3.35	3.32	3.32	3.33	4
28	10	3.54	3.56	3.59	3.56	1
29	15	3.21	3.54	3.50	3.42	2
30	2	3.34	3.19	3.48	3.34	3
31	15	3.22	3.46	3.30	3.33	3
32	2	3.35	3.29	3.36	3.33	3
33	5	3.28	3.37	3.26	3.30	3
34	5	3.03	3.04	3.10	3.06	9
35	11	3.35	3.37	3.49	3.40	1
36	5	3.43	3.45	3.47	3.45	1
37	4	3.46	3.97	3.75	3.73	0
38	20	3.01	3.06	3.03	3.03	10
39	15	3.43	3.41	3.36	3.40	1
40	14	3.25	3.35	3.47	3.35	2
41	1	3.27	3.21	3.16	3.22	3
42	2	3.38	3.58	3.21	3.39	2
43	7	3.50	3.22	3.11	3.27	9
44	18	3.43	3.35	3.55	3.44	1
45	18	3.26	3.39	3.42	3.36	3
46	3	3.21	3.46	3.36	3.35	3
47	1	3.32	3.38	3.40	3.37	1
48	12	3.06	3.05	3.11	3.07	9
49	12	3.37	3.39	3.36	3.37	3
50	15	3.47	3.55	3.74	3.59	1
Total					3.34	177

ตารางที่ ก.4 ตารางแสดงระดับการเตเกกของชื่นงานพิมกับความหนาชื่นงานหลังปรับปูง

กลุ่มตัวอย่างที่	สีครีม	ครั้งที่ 1	ครั้งที่ 2	ครั้งที่ 3	ความหนาเฉลี่ย	ชื่นงานแตก
1	11	3.58	3.50	3.57	3.55	1
2	15	3.54	3.52	3.63	3.56	1
3	17	3.81	3.59	3.73	3.71	0
4	2	3.60	3.58	3.50	3.56	0
5	11	3.64	3.56	3.36	3.52	1
6	4	3.37	3.45	3.36	3.39	1
7	10	3.72	3.57	3.74	3.68	0
8	18	3.61	3.47	3.60	3.56	1
9	19	3.44	3.46	3.52	3.47	2
10	22	3.55	3.37	3.63	3.52	1
11	3	3.41	3.45	3.49	3.45	2
12	7	3.65	3.46	3.64	3.59	0
13	16	3.54	3.68	3.50	3.57	0
14	20	3.63	3.42	3.53	3.53	1
15	2	3.49	3.56	3.51	3.52	2
16	8	3.55	3.60	3.46	3.54	1
17	1	3.51	3.65	3.52	3.56	0
18	6	3.44	3.56	3.56	3.52	1
19	7	3.62	3.43	3.55	3.53	1
20	16	3.49	3.65	3.51	3.55	1
21	1	3.43	3.56	3.58	3.52	1
22	3	3.60	3.46	3.58	3.55	0
23	4	3.41	3.50	3.37	3.43	2
24	5	3.51	3.51	3.67	3.56	0
25	7	3.46	3.39	3.41	3.42	2
26	1	3.65	3.61	3.44	3.57	0
27	9	3.60	3.60	3.49	3.56	0
28	10	3.50	3.52	3.41	3.47	2
29	15	3.35	3.22	3.39	3.32	3
30	2	3.85	3.67	3.61	3.71	0
32	2	3.37	3.39	3.59	3.45	2
33	5	3.29	3.49	3.57	3.45	2
34	5	3.47	3.69	3.46	3.54	1
35	11	3.29	3.34	3.32	3.32	3
36	5	3.42	3.53	3.56	3.50	1
37	4	3.62	3.48	3.38	3.49	1
38	20	3.53	3.54	3.61	3.56	0
39	15	3.34	3.62	3.48	3.48	2
40	14	3.65	3.57	3.59	3.60	0
41	1	3.66	3.60	3.55	3.60	0
42	2	3.65	3.61	3.66	3.64	0
43	7	3.59	3.55	3.54	3.56	1
44	18	3.65	3.47	3.51	3.55	1
45	18	3.56	3.46	3.45	3.49	2
46	3	3.78	3.76	3.63	3.72	0
47	1	3.42	3.45	3.58	3.48	2
48	12	3.21	3.37	3.39	3.32	2
49	12	3.55	3.60	3.58	3.58	0
50	15	3.51	3.59	3.47	3.52	1
Total					3.53	48

**ภาคผนวก ข**  
**รูปแบบตารางแสดงการบันทึกผลของเสียงฟิล์มแตง**

ตารางที่ ข.1 ตารางแสดงรูปแบบการบันทึกของเสียงฟิล์มแตงในต่อละกลุ่มตัวอย่าง

### ตารางที่ ข.1 ตารางแสดงใบบันทึกผลการตรวจสอบในกระบวนการผลิต

ชื่อเอกสาร	ใบบันทึกผลการตรวจสอบในระหว่างกระบวนการผลิต		
Doc. Name	ขั้นตอนการผลิตอัดขี้นรูป	ชื่อผลิตภัณฑ์	Headlining
รุ่นผลิต	A	Revision No.	2
วันที่ออกใช้	10/01/2547	จำนวนผลิต	100
Lot ผลิต	2	วันที่ผลิต	30/8/51
Part No.	8A61-40221-AGW	หมายเหตุ	เวลาในการอัดขี้นรูป 35 วินาที Step 2

ลักษณะข้อบกพร่อง

A ชิ้นงานมีจีบ หรือรอยขับย่น	L วางแผนฯ	
B ชิ้นงานขุ่นและปูดมนุ	M ชิ้นงานสกปรก, เปื้อนหรืออยู่ด่างเปียด	
C ชิ้นงานอ่อนนิ่ม	N ชิ้นงานเป็นคลื่น	
D ชิ้นงานมีรอยเบี้ยดค้าง หรือรอยสกปรก	O ผ้ามีรอยเดี้ยหิน	ลักษณะการบันทึก
E ชิ้นงานเป็นลายเส้นที่เห็น	P ไฟฟ้าไม่ได้ขนาด	0 ผ่าน
F ชิ้นงานมีภาวะถูกเมี้ยด	Q กระดาษไม่ได้ขนาด	X ไม่ผ่าน
G ผ้าและกระดาษหลุดล่อนอกจากนอร์ด	R ผ้าไม่ได้ขนาด	X <sub>0</sub> ซ่อมผ่าน
H ไฟฟ้าบริเวณขอบชิ้นงานเว้าแหว่ง หรือแตกหัก	S ภาวะถูกผ้า	
I รู Locator ไม่ตรงตำแหน่ง Center	T ไม่ได้เสริมไฟเบอร์ซิท	
J ชิ้นงานต้องมีตำแหน่งที่ N/G.	U กระดาษเกิดรอยขาด	ตำแหน่งของข้อบกพร่อง
K กระดาษผิดด้าน		

การตรวจสอบสภาพผ่าตามแม่พิมพ์ก่อนการผลิตและเมื่อพบสัญลักษณ์

รายการ	ผล				
1 ชุด Guide & Bush อยู่ในสภาพพร้อมใช้งาน	//	1	2	3	4
2 ตัวเขียงผ้าไม่ชำรุด		5	6	7	8
3 ผ้า Mold ด้าน Upper & Lower		9	10	11	12
4 สารูปชุด Mold ทั้ง Upper & Lower		13	14	15	16
5 ตัว Stopper อยู่ในสภาพพร้อมใช้งาน					
6 ไม่มีรัสคุรื่นอยู่บนผ้า Mold					

ลำดับ ผลการตรวจสอบ ข้อบกพร่อง ตำแหน่ง ลำดับ ผลการตรวจสอบ ข้อบกพร่อง ตำแหน่ง

ลำดับ	ผลการตรวจสอบ	ข้อบกพร่อง	ตำแหน่ง	ลำดับ	ผลการตรวจสอบ	ข้อบกพร่อง	ตำแหน่ง
1	OK	-		8	OK	-	
2	OK	-		9	OK	-	
3	OK	-		10	OK	-	
4	OK	-		11	N/G	H	1,4
5	OK	-		12	N/G	H	1,4
6	OK	-		13	N/G	H	1,4
7	OK	-		14	OK	-	
8	OK	-		15	OK	-	

ตารางที่ ข.1 (ต่อ) ตารางแสดงใบบันทึกผลการตรวจสอบในกระบวนการผลิต

ชื่อเอกสาร Doc. Name	ใบบันทึกผลการตรวจสอบในระหว่างกระบวนการผลิต							
	ขั้นตอนการผลิตอัคชีนรูป		ชื่อผลิตภัณฑ์		Headlining			
ลำดับ	ผลการตรวจสอบ	ข้อมูลพิร่อง	ตำแหน่ง	ลำดับ	ผลการตรวจสอบ	ข้อมูลพิร่อง	ตำแหน่ง	
14	OK	-		48	OK	-		
15	OK	-		49	OK	-		
16	OK	-		50	OK	-		
17	OK	-		51	OK	-		
18	OK	-		52	OK	-		
19	OK	-		53	OK	-		
20	OK	-		54	OK	-		
21	OK	-		55	N/G	H	1,4	
22	OK	-		56	OK	-		
23	OK	-		57	OK	-		
24	OK	-		58	N/G	H	1,4	
25	OK	-		59	N/G	H	1,4	
26	OK	-		60	N/G	H	1,4	
27	OK	-		61	N/G	H	1,4	
28	OK	-		62	N/G	H	1,4	
29	OK	-		63	OK	-		
30	OK	-		64	OK	-		
31	OK	-		65	OK	-		
32	OK	-		66	OK	-		
33	OK	-		67	OK	-		
34	OK	-		68	OK	-		
35	N/G	F	6	69	OK	-		
36	N/G	F	6	70	OK	-		
37	OK	-		71	OK	-		
38	OK	-		72	OK	-		
39	OK	-		73	OK	-		
40	OK	-		74	OK	-		
41	OK	H	1,4	75	OK	-		
42	OK	H	1,4	76	OK	-		
43	OK	H	1,4	77	OK	-		
44	OK	-		78	OK	-		
45	OK	-		79	OK	-		
46	OK	-		80	OK	-		
47	N/G	C	5,9	81	OK	-		

ตารางที่ ข.1 (ต่อ) ตารางแสดงใบบันทึกผลการตรวจสอบในกระบวนการผลิต

ชื่อเอกสาร		ใบบันทึกผลการตรวจสอบในระหว่างกระบวนการผลิต		
Doc. Name		ขั้นตอนการผลิตอัดขึ้นรูป	ชื่อผลิตภัณฑ์	Headlining
ลำดับ	ผลการตรวจสอบ	ข้อบกพร่อง	ตำแหน่ง	
82	OK	-		
83	N/G	H	1,4	
84	N/G	H	1,5	
85	OK	-		
86	OK	-		
87	OK	-		
88	OK	-		
89	OK	-		
90	OK	H	1,4	
91	OK	H	1,4	
92	OK	H	1,4	
93	OK			
94	OK	H	1,4	
95	OK	H	1,5	
96	OK	-		
97	OK	-		
98	OK	-		
99	OK	-		
100	OK	-		

จำนวนตรวจสอบทั้งหมด	100
จำนวนขึ้นงานบกพร่อง	17
เปอร์เซ็นต์บกพร่อง	

ผู้ปฏิบัติงาน

- 1 ศิมแท้ว
- 2 ไพบูล
- 3 พงษ์สวัสดิ์

**ภาคผนวก ค**  
**ตารางแสดงสัดส่วนของเสียงไฟมแตกในแต่ละระยะห่างการอัดขึ้นรูป**

ตารางที่ ค.1 ตารางแสดงสัดส่วนของเสียงไฟมแตกในระดับ 3.71

ตารางที่ ค.2 ตารางแสดงสัดส่วนของเสียงไฟมแตกในระดับ 3.61

ตารางที่ ค.3 ตารางแสดงสัดส่วนของเสียงไฟมแตกในระดับ 3.48

ตารางที่ ค.4 ตารางแสดงสัดส่วนของเสียงไฟมแตกในระดับ 3.41

ตารางที่ ค.5 ตารางแสดงสัดส่วนของเสียงไฟมแตกในระดับ 3.21-3.34

ตารางที่ ค.1 ตารางแสดงข้อบกพร่องของเสียงไฟฟ้าในระดับ 3.71 มิลลิเมตร

กกลุ่มตัวอย่าง	สีอtot	จำนวนตัวอย่าง (ชิ้น)	จำนวนของเสียงไฟฟ้า (ชิ้น)	สัดส่วนของเสียงไฟฟ้า	PPM
1	11	100	0	0	0
2	15	100	0	0	0
3	17	100	1	0.01	10000
4	2	100	0	0	0
5	11	100	0	0	0
6	4	100	1	0.01	10000
7	10	100	0	0	0
8	18	100	0	0	0
9	19	100	2	0.02	20000
10	22	100	1	0.01	10000
11	3	100	0	0	0
12	7	100	0	0	0
13	16	100	0	0	0
14	20	100	1	0.01	10000
15	2	100	0	0	0
16	8	100	0	0	0
17	1	100	0	0	0
18	6	100	0	0	0
19	7	100	1	0.01	10000
20	16	100	1	0.01	10000
21	1	100	0	0	0
22	3	100	0	0	0
23	4	100	1	0.01	10000
24	5	100	0	0	0
25	7	100	0	0	0
26	1	100	1	0.01	10000
27	9	100	0	0	0
28	10	100	0	0	0
29	15	100	1	0.01	10000
30	2	100	0	0	0
31	15	100	1	0.01	10000
32	2	100	0	0	0
33	5	100	0	0	0
34	5	100	1	0.01	10000
35	11	100	0	0	0
36	5	100	0	0	0
37	4	100	1	0.01	10000
38	20	100	0	0	0
39	15	100	0	0	0
40	14	100	0	0	0
41	1	100	0	0	0
42	2	100	0	0	0
43	7	100	1	0.01	10000
44	18	100	0	0	0
45	18	100	1	0.01	10000
46	3	100	0	0	0
47	1	100	0	0	0
48	12	100	1	0.01	10000
49	12	100	0	0	0
50	15	100	0	0	0
รวม		5000	17	0.0034	3400

ตารางที่ ค.2 ตารางแสดงข้อบกพร่องของเสียโพมแทกในระดับ 3.61 มิลลิเมตร

กลุ่มตัวอย่าง	สีอtot	จำนวนตัวอย่าง (ชิ้น)	จำนวนของเสียโพมแทก (ชิ้น)	สัดส่วนของเสียโพมแทก	PPM
1	13	100	0	0	0
2	16	100	0	0	0
3	3	100	1	0.01	10000
4	2	100	0	0	0
5	14	100	0	0	0
6	4	100	1	0.01	10000
7	10	100	0	0	0
8	18	100	1	0.01	10000
9	19	100	2	0.02	20000
10	22	100	1	0.01	10000
11	24	100	1	0.01	10000
12	7	100	0	0	0
13	16	100	0	0	0
14	20	100	2	0.02	20000
15	2	100	2	0.02	20000
16	8	100	2	0.02	20000
17	1	100	0	0	0
18	10	100	0	0	0
19	9	100	1	0.01	10000
20	16	100	1	0.01	10000
21	2	100	1	0.01	10000
22	3	100	0	0	0
23	4	100	1	0.01	10000
24	5	100	2	0.02	20000
25	7	100	0	0	0
26	1	100	1	0.01	10000
27	9	100	1	0.01	10000
28	10	100	0	0	0
29	15	100	1	0.01	10000
30	2	100	0	0	0
31	15	100	1	0.01	10000
32	2	100	0	0	0
33	4	100	0	0	0
34	5	100	1	0.01	10000
35	11	100	1	0.01	10000
36	5	100	2	0.02	20000
37	4	100	1	0.01	10000
38	18	100	0	0	0
39	5	100	0	0	0
40	14	100	0	0	0
41	1	100	0	0	0
42	2	100	2	0.02	20000
43	7	100	1	0.01	10000
44	18	100	1	0.01	10000
45	18	100	0	0	0
46	3	100	0	0	0
47	1	100	0	0	0
48	5	100	0	0	0
49	8	100	1	0.01	10000
50	10	100	0	0	0
รวม		5000	33	0.0066	6600

ตารางที่ ค.3 ตารางแสดงข้อบกพร่องของเสียพิมพ์แตกในระดับ 3.48 มิลลิเมตร

กลุ่มตัวอย่าง	ลักษณะ	จำนวนตัวอย่าง (ชิ้น)	จำนวนของเสียพิมพ์แตก (ชิ้น)	สัดส่วนของเสียพิมพ์แตก	PPM
1	15	100	1	0.01	10000
2	13	100	2	0.02	20000
3	17	100	2	0.02	20000
4	2	100	4	0.04	40000
5	7	100	3	0.03	30000
6	4	100	1	0.01	10000
7	8	100	3	0.03	30000
8	9	100	3	0.03	30000
9	16	100	5	0.05	50000
10	22	100	4	0.04	40000
11	3	100	3	0.03	30000
12	7	100	3	0.03	30000
13	16	100	3	0.03	30000
14	20	100	2	0.02	20000
15	2	100	2	0.02	20000
16	8	100	1	0.01	10000
17	1	100	1	0.01	10000
18	6	100	5	0.05	50000
19	7	100	3	0.03	30000
20	16	100	3	0.03	30000
21	1	100	2	0.02	20000
22	3	100	4	0.04	40000
23	4	100	2	0.02	20000
24	5	100	2	0.02	20000
25	11	100	2	0.02	20000
26	15	100	2	0.02	20000
27	17	100	2	0.02	20000
28	2	100	1	0.01	10000
29	11	100	2	0.02	20000
30	4	100	2	0.02	20000
31	10	100	2	0.02	20000
32	18	100	1	0.01	10000
33	19	100	1	0.01	10000
34	22	100	5	0.05	50000
35	3	100	1	0.01	10000
36	5	100	1	0.01	10000
37	4	100	1	0.01	10000
38	20	100	7	0.07	70000
39	15	100	1	0.01	10000
40	14	100	2	0.02	20000
41	1	100	3	0.03	30000
42	2	100	1	0.01	10000
43	7	100	2	0.02	20000
44	1	100	1	0.01	10000
45	2	100	2	0.02	20000
46	3	100	1	0.01	10000
47	1	100	1	0.01	10000
48	2	100	5	0.05	50000
49	12	100	1	0.01	10000
50	15	100	1	0.01	10000
รวม		5000	115	0.023	23000

ตารางที่ ค.4 ตารางแสดงข้อบกพร่องของเสียงไฟมแทกในระดับ 3.41 มิลลิเมตร

กลุ่มตัวอย่าง	ลักษณะ	จำนวนตัวอย่าง (ชิ้น)	จำนวนของเสียงไฟมแทก (ชิ้น)	สัดส่วนของเสียงไฟมแทก	PPM
1	7	100	3	0.03	30000
2	5	100	3	0.03	30000
3	11	100	2	0.02	20000
4	17	100	4	0.04	40000
5	11	100	3	0.03	30000
6	5	100	1	0.01	10000
7	10	100	3	0.03	30000
8	18	100	3	0.03	30000
9	19	100	7	0.07	70000
10	22	100	4	0.04	40000
11	3	100	3	0.03	30000
12	7	100	2	0.02	20000
13	16	100	2	0.02	20000
14	20	100	3	0.03	30000
15	5	100	2	0.02	20000
16	8	100	3	0.03	30000
17	33	100	1	0.01	10000
18	6	100	5	0.05	50000
19	7	100	3	0.03	30000
20	16	100	3	0.03	30000
21	5	100	2	0.02	20000
22	3	100	4	0.04	40000
23	4	100	2	0.02	20000
24	5	100	2	0.02	20000
25	7	100	2	0.02	20000
26	1	100	2	0.02	20000
27	9	100	2	0.02	20000
28	10	100	1	0.01	10000
29	15	100	2	0.02	20000
30	2	100	2	0.02	20000
31	15	100	3	0.03	30000
32	2	100	1	0.01	10000
33	5	100	1	0.01	10000
34	5	100	5	0.05	50000
35	11	100	2	0.02	20000
36	5	100	3	0.03	30000
37	4	100	1	0.01	10000
38	20	100	5	0.05	50000
39	15	100	1	0.01	10000
40	14	100	2	0.02	20000
41	2	100	3	0.03	30000
42	3	100	1	0.01	10000
43	5	100	2	0.02	20000
44	13	100	1	0.01	10000
45	18	100	1	0.01	10000
46	9	100	2	0.02	20000
47	1	100	1	0.01	10000
48	17	100	5	0.05	50000
49	12	100	1	0.01	10000
50	15	100	1	0.01	10000
รวม		5000	123	0.0246	24600

ตารางที่ ค.5 ตารางแสดงข้อบกพร่องของเสียโพมแทกในระดับ 3.21-3.34 มิลลิเมตร

ระยะห่างการอัดขึ้นรูปที่ 3.21 มิลลิเมตร

ทดลอง n = 3 กลุ่มตัวอย่าง

กลุ่มตัวอย่าง	ล็อต	จำนวนตัวอย่าง (ชิ้น)	จำนวนของเสียโพมแทก (ชิ้น)	สัดส่วนของเสียโพมแทก	PPM
1	5	100	4	0.04	40000
2	11	100	6	0.06	60000
3	15	100	6	0.06	60000
รวม		300	16	0.16	160000

ระยะห่างการอัดขึ้นรูปที่ 3.28 มิลลิเมตร

ทดลอง n = 4 กลุ่มตัวอย่าง

กลุ่มตัวอย่าง	ล็อต	จำนวนตัวอย่าง (ชิ้น)	จำนวนของเสียโพมแทก (ชิ้น)	สัดส่วนของเสียโพมแทก	PPM
1	5	100	3	0.03	30000
2	11	100	2	0.02	20000
3	15	100	3	0.03	30000
4	2	100	4	0.04	40000
รวม		400	12	0.12	120000

ระยะห่างการอัดขึ้นรูปที่ 3.34 มิลลิเมตร

ทดลอง n = 4 กลุ่มตัวอย่าง

กลุ่มตัวอย่าง	ล็อต	จำนวนตัวอย่าง (ชิ้น)	จำนวนของเสียโพมแทก (ชิ้น)	สัดส่วนของเสียโพมแทก	PPM
1	5	100	2	0.02	20000
2	11	100	2	0.02	20000
3	15	100	3	0.03	30000
4	2	100	3	0.03	30000
รวม		400	10	0.1	100000

วิธีการคำนวณเพื่อเทียบเท่าหาของเสียโฟมแตกของกราฟทดลอง เนื่องจากการเก็บข้อมูลก่อนการทดลองทราบว่าจะห่างกราฟขึ้นรูปที่แคบส่งผลต่อของเสียโฟมแตกที่สูงขึ้น ดำเนินการทดลองเพื่อพิสูจน์ถึงข้อมูลเหล่านั้น

$$\text{ของเสียโฟมแตกเทียบเท่า} = \frac{(\text{จำนวนของเสียโฟมแตกจริง} \times \text{จำนวนชิ้นงานตัวอย่างทั้งหมด})}{\text{จำนวนชิ้นงานตัวอย่าง}}$$

ระยะห่างกราฟขึ้นรูปที่ 3.21 มิลลิเมตร

$$\text{ของเสียโฟมแตกเทียบเท่า} = \frac{(16 \times 5000)}{300} = 267 \text{ ชิ้น}$$

ระยะห่างกราฟขึ้นรูปที่ 3.28 มิลลิเมตร

$$\text{ของเสียโฟมแตกเทียบเท่า} = \frac{(12 \times 5000)}{400} = 150 \text{ ชิ้น}$$

ระยะห่างกราฟขึ้นรูปที่ 3.34 มิลลิเมตร

$$\text{ของเสียโฟมแตกเทียบเท่า} = \frac{(10 \times 5000)}{400} = 125 \text{ ชิ้น}$$

## ประวัติผู้เขียนวิทยานิพนธ์

นายภาณุวัฒน์ อันันตรัฐพันธ์ เกิดเมื่อวันที่ 9 มีนาคม พ.ศ. 2525 ที่จังหวัดราชบุรี สำเร็จการศึกษาปริญญาวิศวกรรมศาสตรบัณฑิต ภาควิชาวิศวกรรมอุตสาหการ คณะวิศวกรรมศาสตร์ จامعةมหาวิทยาลัยเทคโนโลยีพระจอมเกล้าพระนครเหนือ เมื่อปี พ.ศ. 2547 และได้เข้ารับการศึกษาปริญญาวิศวกรรมศาสตรมหาบัณฑิต ภาควิชาวิศวกรรมอุตสาหการ คณะวิศวกรรมศาสตร์ จุฬาลงกรณ์มหาวิทยาลัย ในปี พ.ศ. 2549